

300613

16
29



UNIVERSIDAD LA SALLE

ESCUELA DE QUIMICA
INCORPORADA A LA U.N.A.M.

OBTENCION DE ECUACIONES DE ESTADO PARA
GASES PUROS POR EL METODO DE GENERACION
DE SUPERFICIES

TESIS PROFESIONAL
QUE PARA OBTENER EL TITULO DE:
INGENIERO QUIMICO
P R E S E N T A :
MARIA GABRIELA NIETO CHAVEZ

FALLA DE ORIGEN



Universidad Nacional
Autónoma de México



UNAM – Dirección General de Bibliotecas
Tesis Digitales
Restricciones de uso

DERECHOS RESERVADOS ©
PROHIBIDA SU REPRODUCCIÓN TOTAL O PARCIAL

Todo el material contenido en esta tesis esta protegido por la Ley Federal del Derecho de Autor (LFDA) de los Estados Unidos Mexicanos (México).

El uso de imágenes, fragmentos de videos, y demás material que sea objeto de protección de los derechos de autor, será exclusivamente para fines educativos e informativos y deberá citar la fuente donde la obtuvo mencionando el autor o autores. Cualquier uso distinto como el lucro, reproducción, edición o modificación, será perseguido y sancionado por el respectivo titular de los Derechos de Autor.

INDICE

I	GENERALIDADES	1
---	---------------------	---

INTRODUCCION

A	PROPIEDADES GENERALES DE UNA SUSTANCIA PURA Y DIAGRAMAS P-V-T.....	3
B	PROYECCIONES DEL DIAGRAMA P-V-T EN DOS PLANOS	4

CAPITULO I

EVOLUCION DE LAS ECUACIONES DE ESTADO

1.1	ECUACIONES PARA EL COMPORTAMIENTO IDEAL	6
1.2	ECUACIONES PARA GASES REALES	12
1.3	LEY DE ESTADOS CORRESPONDIENTES	18
1.4	CORRELACION DE PITZER	19
1.5	MODIFICACIONES A LA ECUACION DE VAN DER WAALS	20
1.5.1	Modificaciones con un parametro dependiente de la Temperatura	29
1.5.2	Modificaciones con ambos parámetros dependientes de la temperatura	25
1.5.3	Modificaciones en el término de atracción	26
1.5.4	Modificaciones en el término de repulsión	28
1.5.5	Teoria de cadenas de rotorec cúbicos	30

CAPITULO II

PLANTEAMIENTOS GENERALES SOBRE EL METODO DE GENERACION DE SUPERFICIES

2.1	PRINCIPIOS BASICOS	33
2.1.1	Campos escalares y funciones escalares de variable vectorial	39
2.2	SUPERFICIES	34
2.2.1	Superficies Suaves	35
2.3	METODO DE GENERACION DE SUPERFICIES	36
2.4	CARACTERISTICAS DE UNA ECUACION DE SUPERFICIE	38
2.4.1	Intersección con los ejes	38
2.4.2	Trazas sobre planos Coordenados	38
2.4.3	Simetria con respecto a los ejes , planos coordenados y el origen	38
2.4.4	Secciones por planos paralelos a los planos coordenados	40
2.4.5	Extensión	40
2.5	CURVAS DE NIVEL	42
2.6	SUPERFICIES CUADRICAS	42
2.6.1	Superficies Cuádricas con centro	43
2.6.2	Superficies Cuádricas sin centro	46

CAPITULO III

APLICACION DEL METODO A LA GENERACION DE UNA ECUACION DE ESTADO

3.1	PROCEDIMIENTO PARA LA APLICACION DEL METODO	49
3.1.1	Estimación de los coeficientes del modelo	53
3.1.2	Forma de seleccionar una relacion funcional	53
3.2	METODO DE MINIMOS CUADRADOS	55
3.2.1	Teorema de GAUSS-MARKOV	57
3.3	REGRESION CURVILINEA	58
3.4	REGRESION MULTIPLE	60
3.5	SELECCION DEL MODELO DE AJUSTE PARA LAS ECUACIONES DIRECTRICES DE LA ECUACION DE ESTADO	69
3.6	ALGORITMO DE LA ECUACION DE ESTADO GENERADA	75

CAPITULO IV

RESULTADOS GENERALIZACION Y CONCLUSIONES

4.1	ESTIMACION DE LAS CONDICIONES EXTREMO	78
4.1.1	Análisis de los intervalos de presión	82
4.2	GENERALIZACION DE LA ECUACION DESARROLLADA	87
4.2.1	Superficie y algoritmo para el Nitrógeno	87
4.2.2	Superficie y algoritmo para el Etileno	97
4.2.3	Superficie y algoritmo para el CO ₂	104

4.3	CONCLUSIONES	110
------------	---------------------------	------------

APENDICES

A.A	DATOS PVT PARA METANO	122
A.B	DATOS PVT PARA NITROGENO	127
A.C	DATOS PVT PARA ETILENO	133
A.D	DATOS PVT PARA CO₂	138
	BIBLIOGRAFIA	148

I. GENERALIDADES

Una ecuación de estado es una relación entre dos o más variables que definen el comportamiento de una sustancia pura o mezcla uniforme.

Generalmente estas relaciones se expresan en función de las variables Presión (P), Temperatura (T) y Volumen (V); se pueden emplear para distintos estados de agregación tales como sólidos, líquidos o gases dando así una representación bastante amplia del comportamiento de las sustancias.

El origen de una ecuación de estado puede tener diferentes caminos, como es el caso de un desarrollo teórico basado en la mecánica estadística o en la teoría cinemática considerando las fuerzas intermoleculares, o bien seguir un proceso empírico observando las variaciones que presentan las variables fundamentales al establecer nuevas relaciones matemáticas como es el caso de la modificación de la ecuación de estado de Van der Waals elevando a diferentes potencias la temperatura, este último procedimiento ha sido muy utilizado para un amplio rango de densidades o bien en la predicción del comportamiento de sustancias no muy comunes.

capítulo I

Dentro de los distintos tipos de ecuaciones de estado podemos encontrar algunas cortas y simples que resultan útiles solo en unos pequeños intervalos a bajas densidades, mientras que resultan necesarias otras con un mayor grado de complejidad para poder reproducir altas y bajas densidades. En la mayor parte de los casos las ecuaciones que dan altas precisiones involucran gran número de parámetros los cuales dependen en su mayoría de los intervalos de densidades y en un menor grado de las temperaturas.

Las ecuaciones de estado resultan fundamentales para el desarrollo de procesos químicos ya que mediante la predicción de equilibrios es posible representar el comportamiento de los sistemas involucrados en los procesos.

I. INTRODUCCION

A) PROPIEDADES GENERALES DE UNA SUSTANCIA PURA Y LOS DIAGRAMAS P-V-T

Si se representan en un sistema de ejes la presión (P), el volumen (V) y la temperatura (T) de una sustancia pura se obtiene una representación tridimensional de sus fases y de la coexistencia entre ellas. A partir de esta representación se pueden obtener las correspondientes proyecciones bidimensionales manteniendo una de las propiedades constante.

En un diagrama P-V-T todo estado de equilibrio se muestra como un punto sobre la superficie, mientras que un proceso quasiestático vale como una superficie ya que este pasa por estados de equilibrio.

Las regiones que se identifican en dicho diagrama son las siguientes :

a) aquellas en las que coexisten dos fases

S + V		S es sólido
L + V	en donde	L es líquido
S + L		V es vapor

b) y las que existen como una sola fase

S L V

El punto triple aparece como una línea en donde P y T se encuentran fijas, pero el volumen específico puede variar dependiendo de la proporción de cada área, en estas condiciones coexisten las tres fases.

El punto crítico corresponde a condiciones únicas de presión, temperatura y volumen en las que la fase líquida y vapor de dicha sustancia son idénticas; a estas condiciones se les conoce como propiedades críticas; dicho punto se localiza en la cúspide de la campana que representa la región L - V y en él coinciden las líneas de líquido saturado y vapor saturado.

B) PROYECCIONES DEL DIAGRAMA P-V-T EN DOS PLANOS

En las proyecciones P - T ; P - V ; V - T se pueden observar las características que presenta la sustancia al variar la tercera propiedad.

En la proyección P - T las líneas líquido saturado y vapor saturado así como la de sólido saturado y vapor saturado, coinciden y se confunden en una sola línea que cambia ligeramente de pendiente en el punto triple y que termina en el punto crítico.

La línea de equilibrio triple da lugar a un punto. La región S + L da lugar a una línea que parte del punto triple y posee una pendiente mayor que las anteriores.

En el diagrama P-V para una substancia pura el punto crítico esta representado por un punto de inflexion matemática

$$\left[\frac{\partial^2 P}{\partial V^2} \right] = 0 \quad \left[\frac{\partial P}{\partial V} \right] = 0$$

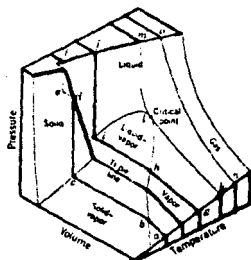


FIG. I.1 SUPERFICIE P-V-T

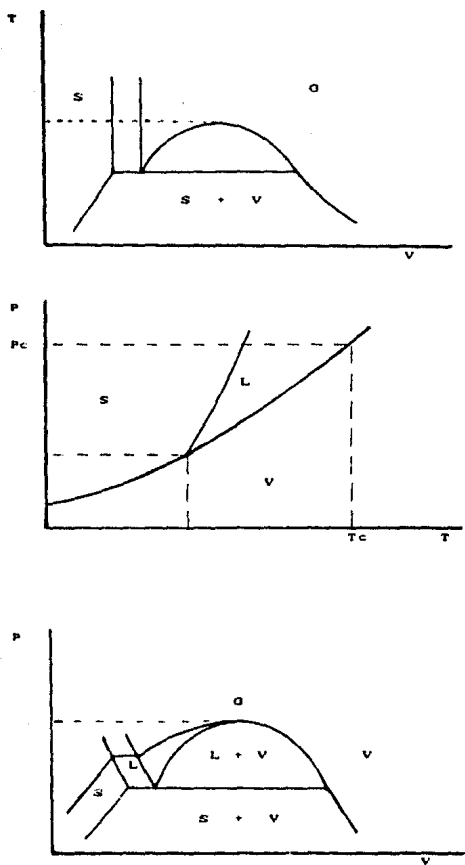


FIG. I. 2 PROYECCIONES DEL DIAGRAMA P-V-T EN DOS FASES

CAPITULO I

EVOLUCION DE LAS ECUACIONES DE ESTADO

1.1 ECUACIONES PARA EL COMPORTAMIENTO IDEAL

Las primeras mediciones cuantitativas del comportamiento de los gases fueron realizadas por R. Boyle en 1662 estableciendo relación con el volumen y la presión manteniendo la temperatura constante, que en forma matemática se expresa de la siguiente manera

$$P V = f (T)$$

El volumen que ocupa un gas es inversamente proporcional a la presión que actúa sobre él

$$V \propto \frac{1}{P} \qquad V = \frac{C}{P}$$

La idea que se tenía entonces acerca de la estructura de los gases era como de materia finamente dividida, con dimensiones prácticamente puntuales, Los conceptos electrostáticos aun no se desarrollaban, y fue hasta 1803 cuando Dalton revivió la teoría atómica.

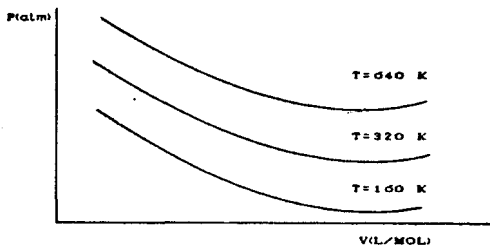


FIG. 1.1 LEY DE BOYLE

En 1810, J. Charles y J. Gay Lussac, encontraron otra ecuación de estado aplicable bajo la condición de presión constante, estableciendo que el volumen de un gas es directamente proporcional a la temperatura

$$V_t = V_0 + (1 + \alpha) T$$

donde α es función de la presión

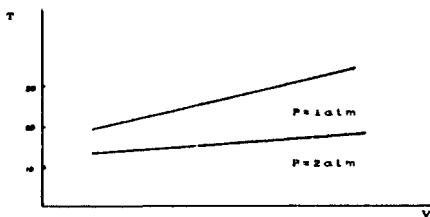


FIG. 1.2 LEY DE CHARLES

Cuando la presión es muy baja $P \rightarrow 0$ $\alpha \rightarrow 1 / 273,15$

$$V_t = V_0 + (T + T / 273,15)$$

V_t = volumen a la temperatura deseada
 V_0 = volumen a la temperatura de 0°C
 α = coeficiente de expansión térmica $f(P)$

capítulo I

$$V_t = C_2 T$$

V_t = volumen a la temperatura T
 C_2 = constante de proporcionalidad
 T = temperatura del gas en una escala llamada del gas ideal.

En 1811 Avogadro estableció el principio de que "volúmenes iguales de diferentes gases en las mismas condiciones de presión y temperatura deberían contener el mismo número de moléculas, que en condiciones normales es de 6.02217×10^{23} moléculas/mol.

Bajo condiciones normales de presión y temperatura constantes :

$$V \propto n \quad V = C_3 n$$

C_3 = constante de proporcionalidad
 n = número de moles del gas

De lo anterior se puede concluir que :

$$V = V(P, T, n)$$

de donde :

$$dV = \left[\frac{\partial V}{\partial P} \right]_{T,n} dP + \left[\frac{\partial V}{\partial T} \right]_{P,n} dT + \left[\frac{\partial V}{\partial n} \right]_{T,P} dn$$

Estas derivadas parciales se evalúan a partir de las leyes de Boyle, Charles y Avogadro :

n , T y n constantes :

$$V = \frac{C_1}{P} \quad \left[\frac{\partial V}{\partial P} \right]_{T,n} = -\frac{C_1}{P^2}$$

A P y n constantes :

$$V = C_2 T \quad \left[\frac{\partial V}{\partial P} \right]_{P,n} = C_2$$

A T y P constantes :

$$V = C_3 n \quad \left[\frac{\partial V}{\partial n} \right]_{P,T} = C_3$$

$$dV = - \frac{C_1}{P^2} dP + C_2 dT + C_3 dn$$

$$C_1 = PV \quad C_2 = \frac{V}{T} \quad C_3 = \frac{V}{n}$$

por lo que :

$$dV = - \frac{V}{P} dP + \frac{V}{T} dT + \frac{V}{n} dn$$

dividiendo entre V

$$\frac{dV}{V} = - \frac{dP}{P} + \frac{dT}{T} + \frac{dn}{n}$$

integrando :

$$\ln V = - \ln P + \ln T + \ln n + \ln R$$

$$V = \frac{n R T}{P} \quad \dots\dots\dots(e.1)$$

Esta es la ecuación de los gases ideales.

Partiendo de datos experimentales se determinó que a 0°C y 1 atm, el volumen ocupado por un mol de gas es aproximadamente 22.4 l

$$R = \frac{P V}{n T} = \frac{(1 \text{ atm})(22.4 \text{ l})}{(1 \text{ mol})(273.15 \text{ K})} = 0.082 \text{ lt.atm / mol K}$$

R es conocida como la constante universal de los gases

Para establecer la ecuación de los gases ideales (e.1) se tomaron las siguientes consideraciones :

- Se asume que el volumen es finito y que existen gran número de moléculas, todas ellas idénticas y esféricas
- No hay fuerzas de interacción
- Todos los choques son elásticos esto significa que no hay perdidas de energía cinética ni potencial
- Las moléculas se distribuyen uniformemente
- Las direcciones de viaje son igualmente probables
- la fracción de moléculas viajando a velocidad permanece constante en el equilibrio

1.2 ECUACIONES PARA GASES REALES

Uno de los primeros intentos para mejorar la ecuación de los gases ideales fue realizado por G.A.Hirnen 1863, (1) quien propuso una ecuación de estado para representar el comportamiento tanto de gases como de líquidos.

La relación matemática es de la forma :

$$(P + \Pi) (v - b) = R T$$

en donde :

V = volumen molar
b = volumen de las moléculas
 Π = referida a la presión interna, representa las fuerzas de atracción entre moléculas.

En 1869 Andrews (2), publicó su trabajo experimental respecto al comportamiento volumétrico del CO₂ en el cual fue definida la

temperatura crítica y se dio una explicación sobre la continuidad de los estado líquido y gaseoso de la materia basado en estudios de las isoterms.

En 1873 J.D.Van der Waals (VdW), propuso una ecuación de estado cúbica en el volumen basada en la existencia del punto crítico, y en la desaparición de cualquier distinción entre líquido y gas en la temperatura crítica; así como los estudios de los efectos de la capilaridad de Laplace referidos a la presión molecular "K" (3) que es una medida de la atracción molecular.

Ya que las fuerzas eléctrica y magnética reaccionan a distancias sensibles, supuso que deberían existir otras que reaccionaran a pequeñas distancias y tuvieran por resultado una serie de fenómenos en el comportamiento de la materia.

En el resultado de Laplace para el cálculo de la presión efectiva en el límite de la superficie del líquido

$$P = K + \frac{H}{2} \left(\frac{1}{R_1} + \frac{1}{R_2} \right) \dots\dots(e.2)$$

Van der Waals encontró que estimando K y H se podría estimar directamente el rango de las fuerzas intermoleculares (4).

En esa misma época Clausius comenzó con las ideas de que la materia esta formada por moléculas que se encuentran en equilibrio y que las distancias invariantes entre dichas moléculas se deben a las fuerzas de atracción. También realizó un análisis de las condiciones bajo las cuales un gas puede esperarse se comporte como ideal, postulando que:

* El volumen intermolecular puede ser despreciable comparando con el volumen que ocupa el gas.

capítulo I

* El tiempo de una colisión entre moléculas es despreciable respecto al tiempo de colisiones sucesivas.

* Enfatizó la idea de que las fuerzas de atracción intermolecular que mantienen unido al líquido son las mismas que actúan en el gas cuando sus moléculas se acercan lo suficiente para producir una colisión.

Estas ideas fueron retomadas por VDW refiriéndose a la acción de estas fuerzas en un gas cuando se encontraba en un volumen muy reducido y más aún, cuando se encontraba bajo compresión máxima, lo que representaba una gran similitud entre el gas comprimido y el líquido.

Clasificando las fuerzas intermoleculares en dos tipos y de acuerdo a la ley de Coulomb expresó la fuerza repulsiva como :

$$F_r = K_r \cdot r^{-13}$$

F_r = fuerza repulsiva
 r = distancia intermolecular
 K_r = constante

y la fuerza atractiva como :

$$F_A = K_A \cdot r^{-7}$$

F_A = fuerza atractiva
 r = distancia intermolecular
 K_A = constante

El volumen excluido es otro factor considerado por VDW que se refiere al volumen que las moléculas ocupan en virtud de sus dimensiones, en base al siguiente razonamiento :

Considerando a las moléculas como esferas rígidas tenemos que los centros moleculares no pueden acercarse a menor distancia que dos veces su radio, el volumen excluido es el de una esfera de radio igual al diámetro molecular. Para un par de esferas se tiene

$$V_{exc} = \frac{\pi}{6} (2d)^3 = \frac{4}{3} \pi d^3$$

para una sola de ellas :

$$\hat{V}_{exc} = \frac{2}{3} \pi d^3$$

por mol de gas sera :

$$\bar{V}_{exc} = \frac{2}{3} N \pi d^3$$

siendo N el numero de Avogadro

este valor es conocido como constante "b" de VDW

La ecuacion de gases ideales (e.l) establece que :

$$V = \frac{n R T}{P} \quad \text{Si } T \rightarrow 0 \text{ y/o } P \rightarrow \alpha, V \rightarrow 0$$

en donde α es un valor infinito

Lo cual no corresponde al comportamiento real ya que el gas se licuara primero y despues se solidificará ; por lo cual el volumen tenderá a un valor aproximadamente constante, correspondiente a la fase condensada, por ello una mejor aproximación es :

$$V = \frac{n R T}{P} + n b$$

cuyo límite cuando $T \rightarrow 0$ y/o $P \rightarrow \alpha$ es : $V = n b$

Con respecto a las fuerzas atractivas de interacción molecular que se manifiestan a distancias relativamente grandes, propuso que dichas fuerzas, son directamente proporcionales a las concentraciones moleculares en los volúmenes V_1 y V_2 , es decir :

$$F \propto C_1 C_2$$

$$F \propto C^2$$

$$F \propto \frac{n^2}{V^2} \quad ; \quad F = \frac{a \cdot n^2}{V^2}$$

$$\text{Como } P = \frac{F}{A}$$

$$P_n = \frac{a \cdot n^2}{A \cdot V^2} \quad P_n = \frac{a n^2}{V^2}$$

P_n es una presión no ejercida debida a las fuerzas de interacción molecular, por lo que la presión del gas esta dada por:

$$P = \frac{n R T}{V - b} + \frac{a n^2}{V^2} \quad \begin{array}{l} a \text{ y } b = \text{constante} \\ V = \text{vol. total} \end{array}$$

$$P = \frac{R T}{v - b} + \frac{a}{v^2} \quad v = \text{vol. molar}$$

Conocida como la ecuación de Van der Waals (VDW)(e.3)

De acuerdo a las propiedades del punto crítico y a las propiedades reducidas se tienen las siguientes expresiones:

$$P_r = \frac{P}{P_c} \quad v_r = \frac{v}{v_c} \quad T_r = \frac{T}{T_c}$$

Las cuales sustituidas en la ecuación de VDW hacen que tome la siguiente forma:

$$\left[P_r P_c + \frac{a}{v_r^2 v_c^2} \right] (v_r v_c - b) = R T_r T_c \quad \dots(e.4)$$

Ahora bien analizando el diagrama T vs. V

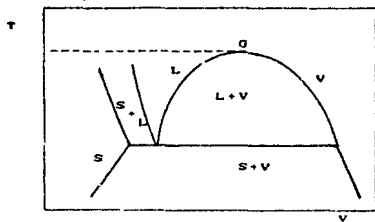


FIG. 1.3 DIAGRAMA T-V

La isobara crítica presenta un punto de inflexión en el punto crítico y su pendiente en ese punto es cero.

$$\left[\frac{\partial T}{\partial v} \right]_{\text{punto crítico}} = 0 \qquad \left[\frac{\partial^2 T}{\partial v^2} \right]_{\text{punto crítico}} = 0$$

despejando a T de la ecuación de VDW :

$$T = \frac{Pv}{R} - \frac{Pb}{R} + \frac{a}{vR} - \frac{ab}{Rv^2}$$

obteniendo las derivadas de T respecto a V :

$$\left[\frac{\partial T}{\partial v} \right] = \frac{P}{R} - \frac{a}{v^2 R} + \frac{2ab}{v^3 R}$$

$$\left[\frac{\partial^2 T}{\partial v^2} \right] = \frac{2a}{v^3 R} - \frac{6ab}{v^4 R}$$

evaluando en el punto crítico :

$$\frac{P_c}{R} - \frac{a}{v_c^2 R} + \frac{2ab}{v_c^3 R} = 0 \qquad \frac{2a}{v_c^3 R} - \frac{6ab}{v_c^4 R} = 0$$

Resolviendo simultáneamente :

$$a = 3 P_c v_c^2$$

$$b = v_c / 3$$

o bien :

$$a = \frac{27 R^2 T_c^2}{64 P_c}$$

$$b = \frac{R T_c}{8 P_c}$$

Obteniendo así los valores para a y b a partir de las condiciones en el punto crítico.

1.3 LEY DE ESTADOS CORRESPONDIENTES

Empleando variables reducidas en la ecuación (e.4) no resulta representativo para los comportamientos de todos los gases reales, esta ecuación puede generalizarse para los distintos comportamientos de todos los gases reales únicamente con dos de las propiedades reducidas dadas donde automáticamente se determinara la tercera de ellas.

Cuando se tienen gases distintos a las mismas condiciones de temperatura y presión reducida se dice que se encuentran en estados correspondientes (5) . La ley de estados correspondientes establece que todos los fluidos en estados correspondientes tendrán el mismo volumen reducido.

El factor de compresibilidad Z es una expresión de la desviación al comportamiento ideal de un gas . Esta desviación se puede expresar en términos reducidos.

$$Z = \frac{P V}{R T}$$

$$Z = \frac{P_r V_r P_c V_c}{R T_r T_c}$$

$$Z = Z_c \frac{P_r V_r}{R T_r} \dots(e.5)$$

Considerando que el volumen reducido V_r es una función universal de P_r y T_r la ecuación (e.5) indica que el factor de compresibilidad también es una función universal de P_r y T_r para todos los gases que tengan las mismas compresibilidades críticas.

La mayoría de los gases poseen compresibilidades críticas entre : $0.2 \leq z_c \leq 0.31$

En la figura 1.5 se muestran curvas experimentales para factores de compresibilidad en función de la presión y la temperatura reducidas. Este principio tiene gran aplicación para correlacionar datos P-V-T mediante una curva sencilla.

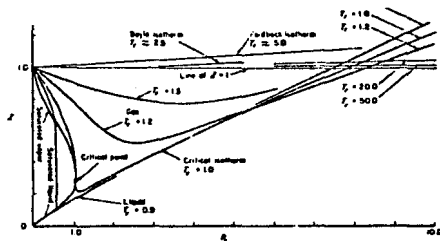


FIG. 1.4 factores de compresibilidad para $T_r z_c$

1.4 CORRELACION DE PITZER

Considerando que las interacciones moleculares se reflejan en el comportamiento PVT ; Pitzer (6) introdujo un parámetro para la corrección de dicho efecto : el factor ascéntrico; el cual definió como :

$$\omega = \log P_{\text{sat}} \Big]_{T_r = 0.7} - \log P_{\text{sat}} \Big]_{T_r = 0.7}$$

$$\omega = -1.0 - \log P_{\text{sat}} \left. \vphantom{\log P_{\text{sat}}} \right\} \tau_r = 0.7$$

Con este factor Pitzer propuso el cálculo de Z en la forma siguiente :

$$Z = Z_0 + \omega Z_1 + \dots$$

La cual resulta muy precisa a bajas temperaturas y altas presiones.

En la tabla 1.2 se muestran distintos parámetros reducidos así como factores de compresibilidad y ascéntrico.

COMPUESTO	Tc (K)	Pc (atm)	Vc (cm ³ /mol)	Zc	ω
metano	190.6	45.4	99.0	0.288	0.007
etano	305.4	48.2	148.0	0.285	0.091
propano	369.8	41.9	203.0	0.281	0.145
benzeno	562.1	48.3	259.0	0.271	0.184
oxígeno	154.6	49.8	73.4	0.288	0.021
agua	647.1	217.6	56.0	0.230	0.348

TABLA 1.2 PARÁMETROS REDUCIDOS PARA SUSTANCIAS COMUNES

1.5 MODIFICACIONES A LA ECUACION DE VAN DER WAALS

En 1880 Clausius (7) modificó la ecuación de VDW introduciendo una tercera constante. También postuló la existencia de agrupaciones moleculares temporales, formadas por colisiones a bajas temperaturas, que se rompían al elevarse la temperatura. En estos grupos las fuerzas de atracción son más grandes que si las moléculas estuvieran separadas en el gas por lo que el término a/v^2 de VDW resultaba pequeño para incluir estas fuerzas a bajas

temperaturas. Su ecuación se expresa como:

$$\left(P + \frac{a}{T(v+c)^2} \right) (v-b) = RT \dots\dots\dots(e.6)$$

donde :

$$a = v_c - \frac{R T_c}{4 P_c} \quad b = \frac{3RT_c}{8P_c} - v_c \quad c = \frac{27R^2 T_c^3}{64 P_c}$$

Al igual que VDW la ecuación predice valores aceptables para el estado gaseoso, no siendo así en la región del líquido. Aunque esta ecuación logra mejores resultados para las regiones líquidas a presiones elevadas.

En 1889 Berthelot (8) presentó una modificación a la ecs. de VDW introduciendo la temperatura en el término de atracción :

$$\left(P + \frac{a}{T v^2} \right) (v - b) = RT \dots\dots\dots(e.7)$$

$$a = \frac{4R^2 T_c^2}{P_c v_c^2} \quad b = \frac{R T_c}{P_c v_c}$$

Esta ecuación no proporciona tan buena aproximación a los datos experimentales como la ecuación (e.4).

En el mismo año Dieterici (9) propuso una ecuación exponencial con dos constantes de la forma:

$$P = \frac{R T}{v-b} e^{-\left(\frac{a}{RTv} \right)} \dots\dots\dots(e.8)$$

cuyas constantes son :

$$a = \frac{4R^2 T_c^2}{P_c e^2} \qquad b = \frac{R T_c}{P_c e^2}$$

Su desventaja es que no resulta aplicable al cálculo de propiedades de los líquidos y comparandola con la ecuación de VDW, resulta menos cercana a los datos experimentales en altas y bajas presiones.

A partir de la ecuación de VDW, Redlich y Kwong (10) desarrollaron una modificación en la cual se cambiaba el término atractivo, mientras que el repulsivo se mantiene en la misma forma que en la ecuación de VDW de esta forma presenta mayores aplicaciones que VDW en los fluidos gaseosos y permanece inaplicable al estado líquido

Su expresión es la siguiente

$$P = \frac{R T}{v-b} - \frac{a / T^{0.5}}{v(v+b)} \qquad \dots\dots\dots(e.9)$$

sus constantes son :

$$a = 0.4278 \frac{R^2 T_c^{2.5}}{P_c} \qquad b = 0.0867 \frac{R T_c}{P_c}$$

Esta ecuación es de naturaleza mas bien empírica pero proporciona resultados satisfactorios sobre la temperatura crítica para cualquier presión .

Debido a su simplicidad y aproximación en amplios rangos de presión y temperatura, así como su aplicación al estado líquido y gaseoso; ha servido como punto de partida para muchos investigadores asumiendo diferentes leyes de dependencia respecto

a la temperatura tratando de que las nuevas modificaciones puedan ser aplicadas a ambos estados físicos, compuestos polares, no polares, así como la descripción del equilibrio de fases con un mínimo de parámetros.

Las modificaciones a la ecuación de Redlich-Kwong se pueden clasificar en la siguiente forma:

- a) Modificaciones con un parámetro dependiente de la temperatura
- b) Modificaciones con los dos parámetros dependientes de la temperatura
- c) Modificaciones en el término de atracción
- d) modificaciones en el término de repulsión

A continuación se describirán algunas ecuaciones correspondientes a cada clasificación:

1.5.1 Modificaciones con un parámetro dependiente de la temperatura

En 1964 Wilson propone el parámetro a como función de la temperatura con lo que se mejora la predicción de las presiones de vapor para compuestos puros.

$$P = \frac{RT}{v-b} - \frac{a \alpha}{v(v+b)} \quad \dots\dots\dots(e.10)$$

Recomendando que α sea una función lineal de T_r

$$\alpha = T_r (1 + m (T_r^{-1} - 1))$$

ω = factor ascéntrico

$$m = 1.57 + 1.62 \omega$$

Esta ecuación ganó popularidad hasta el surgimiento de la de Soave (11) .

En 1972 Soave propuso la siguiente ecuación generalizada para α

$$\alpha = T_r (1 + m (1 - T_r^{0.5}))^2$$

$$m = 0.48 + 1.574 \omega - 0.176 \omega^2$$

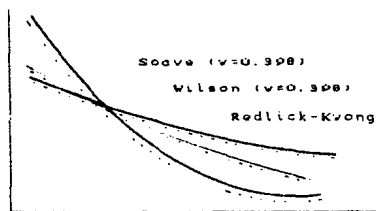


FIG. 1.4 α vs. Temperatura reducida

La ecuación de Soave tiene de gran aplicación para equilibrios L-V a presiones elevadas .

En la figura se ilustra la dependencia del parámetro α con la temperatura.

Para compuestos polares $\alpha(T)$ o bien $\alpha(T_r)$ en forma más general requiere de dos coeficientes adaptables.

$$\alpha (T_r) = 1 + m (1 - T_r) + n (1 / T_r) + n (1 / T_r - 1)$$

.....(e.11)

en donde m , n son constantes empíricas derivadas de presiones de vapor experimentales.

Mediante las constantes críticas T_c , P_c , y m , n queda definido completamente el comportamiento P-V-T para compuestos puros.

$$a = \frac{27}{64} \frac{\alpha P_r}{T_r^2}$$

$$b = \frac{1}{8} \frac{P_r}{T_r}$$

1.5.2 Modificación con los dos parámetros dependientes de la temperatura

Joffe & Zudkevitch (1970) proponen (a , b) $f(t)$ que establece la dependencia de la temperatura de estos dos parámetros determinada simultáneamente por la densidad del líquido y forzando a que la fugacidad del líquido y el vapor sean iguales a las presiones de vapor de los componentes puros.

Recientemente han sido desarrolladas otras modificaciones a Redlick-Kwong dentro de esta clasificación con 2 parámetros dependientes de la temperatura y tres parámetros en total; una de ellas es la de Helens (1980) que involucra la presión de vapor y la densidad del líquido y la otra fue desarrollada por Kubic (1982) quien trabajó con la presión de vapor y el segundo coeficiente virial

1.5.3 Modificaciones en el término de atracción

La más importante de ellas y que sólo cuenta con dos parámetros es la ecuación de Peng-Robinson desarrollada en 1976 (12).

$$P = \frac{RT}{v - b} - \frac{a \alpha}{v(v+b)+b(v-b)} \quad \dots(e.12)$$

La adición de $b(v-b)$ resulta de la predicción de la densidad del líquido sin considerar a b como una función de la temperatura la ecuación (e.12) utiliza α donde "m" esta dada por :

$$m = 0.37464 + 1.54226 \omega - 0.26992 \omega^2$$

Esta ecuación resulta similar a la de Soave para los equilibrios L-V pero es mejor para el cálculo de las densidades líquidas. Sin embargo para el cálculo de la densidades del vapor es preciso aumentar un tercer parámetro.

Schmidt-Wenzel y Harmens-Knapp (13) usan valores de Z_c ajustados muy similares. Heyen considera 3 opciones para Z_c : experimental, ajustable o función de ω

EOS (Eq.)	Zc
Van Der Waals (1)	0.375
Redlich-Kwong (2)	0.333..
Peng-Robinson (8)	0.3074..
	$\omega : 0$ 0.333 0.5
Schmidt-Wenzel (10)	Zc : 0.333 0.3074 0.296
Harmens-Knapp (11)	Zc : 0.321 0.299 0.291
Heyen (12)	exp. ajust. f(ω)

TABLA 1.3

También se desarrollaron algunas modificaciones a partir de la ecuación de Clausius

Martin en 1979 interesado en los cálculos de propiedades del vapor propone :

$$a(T) = a \text{Tr}^{-D}$$

Y más recientemente Soave (1984) utiliza la ecuación de Clausius con el fin de mejorar la predicción de las densidades del líquido.

Varias de las modificaciones a Clausius usan valores de Zc ajustables como es el caso de Kubic (1982).

$$Zc = 0.857 Zc (\text{exp}) + 0.0826$$

Todas las modificaciones en el término de atracción presentan un menor acercamiento a la predicción de B (Segundo coeficiente virial) comparada con la ecuación original de Redlich-Kwong.

EFECTO DE LA MODIFICACION DEL TERMINO DE ATRACCION EN B		
	$\frac{B_{PC}}{B_{TC}}$	a Tc ($=\Omega b - \Omega a$)
	$\omega = 0$	$\omega = 0.8$
B CORRELACION VDW	-0.3367	-0.3549
REDLICH-KWONG	-0.297	-0.297
FENG-ROBINSON	-0.3408	-0.3408
SCHMIDT-WENZEL	-0.3794	-0.3794
HEYEN	-0.3408	-0.4705
	(Zc = .33)	(Zc = .25)
CLAUSIUS	-0.3985	-0.4219
	(Zc = .33)	(Zc = .25)

TABLA 1.4

En la tabla 1.4 se muestran los valores de B a Tc para distintas ecuaciones en donde B con dos parámetros no depende de ω ; B con 3 parámetros es bastante malo especialmente a $\omega = 0.5$. Sin embargo también se muestra que para Heyen y Clausius el usar Zc ajustando es mejor que el experimental para la predicción de B.

1.5.4 Modificaciones al término de repulsión

Hasta ahora las modificaciones precedentes sólo contemplan variaciones al término de atracción manteniendo el término repulsivo en su forma original; corresponde ahora la presentación de las modificaciones al término repulsivo de la ecs. de VDW.

En las dos últimas décadas el interés se ha incrementado por las modificaciones al término repulsivo. Si consideramos una

esfera rígida de un fluido, no habra término de atracción de la ecuación de VDW y la ecuación se representará por :

$$P_{hs} = \frac{RT}{V} \left[\frac{1}{1 - \frac{b}{V}} \right] \dots\dots\dots(e.13)$$

Resulta mejor que la ecuaciones del gas ideal ,sin embargo para la mecánica estadística la representación de la esfera rígida (e.13) muestra una aproximación lejana.

Thiele (1963) desarrolló la primera ecuación de la forma de esfera rígida en forma exitosa :

$$P_{hs} = \frac{RT}{V} \frac{1-n^3}{(1-n)^4} = \frac{RT}{V} \frac{1+n+n^2}{(1-n)^3} \dots(e.14)$$

donde: $n = b / 4V$

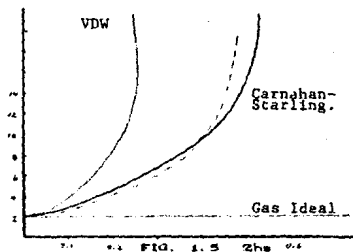
Carnahan y Starling (1969-1972) mejoraron la expresión de Thiele adicionando el término $(1-n)^3$

$$P_{hs} = \frac{RT}{V} \frac{1+n+n^2-n^3}{(1-n)^3} \dots\dots(e.15)$$

En la siguiente figura 1.5 se grafica Z_{hs} para un gas ideal, VDW y Carnahan-Starling, se puede apreciar como existe una notable diferencia entre estas dos últimas, pero siendo más interesante aún el hecho de que al aumentarle el término de atracción a la ecs. (e.15) está no presenta mejoras significativas en cuanto a la reproducción del comportamiento real.

Muchos otros investigadores han propuesto más desarrollos para el modelo de esfera rígida, tratando de mantener la forma de ecuación cúbica, algunas de ellas mantienen el mismo término

repulsivo y otras introducen nuevos términos como es el caso de la teoría de cadenas de rotores cubicos



1.5.5 Teoría de CADENAS DE ROTORES CUBICOS (CCOR)

Esta Teoría de reciente desarrollo (1985), que al igual que la ecuación Van der Waals o Redlich Kwong, expresa la presión como la diferencia entre las presiones repulsiva y de atracción (14).

A diferencia de las ecuaciones previas, la ecuación CCOR expresa la presión repulsiva como resultado de la dinámica molecular de esferas rígidas y la contribución rotacional de las moléculas poliatómicas.

Para fluidos no polares esta ecuación es una forma generalizada del tipo de la ecuación de estados correspondientes; para los fluidos polares se especifican valores constantes.

CAPITULO II

**PLANTEAMIENTOS GENERALES SOBRE EL METODO DE
GENERACION DE SUPERFICIES.**

Capítulo II

Este capítulo tiene por objeto mostrar en forma general los principios fundamentales del Método de Generación de superficies que posteriormente serán aplicados al desarrollo de una Ecuación de Estado.

2.1 PRINCIPIOS BASICOS

2.1.1 CAMPOS ESCALARES Y FUNCIONES ESCALARES DE VARIABLE VECTORIAL

Los problemas que se presentan en la realidad, en la mayoría de los casos resultan difíciles para poder ser idealizados matemáticamente como funciones de una sola variable independiente ya que por lo general son varias variables independientes las que resultan involucradas. Por ejemplo la temperatura de un lugar puede variar de acuerdo a la posición de cada punto por lo que :

$$T = F (x, y, z)$$

donde T es función del punto (x, y, z).

Las expresiones en que la variable dependiente lo es de más de una variable independiente, se denominan "Funciones escalares de varias variables independientes o funciones reales de variable vectorial".

Al conjunto ordenado de valores de las variables independientes, se denomina "dominio de la función" y al conjunto de valores que toma la variable dependiente se le denomina "recorrido de la función".

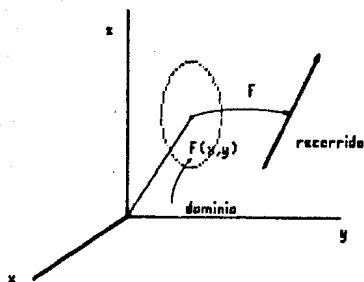


FIGURA 2.1 DOMINIO Y RECORRIDO DE UNA FUNCIÓN

2.2 SUPERFICIES

La representación geométrica de una función definida en un dominio bidimensional y cuyo escalar asociado puede representarse como una altura; es el conjunto de puntos (x,y,z) en el espacio tridimensional y relacionados por la regla de la correspondencia.

$$Z = f (x, y) \quad \dots\dots\dots(2.1)$$

A dicho conjunto de puntos se le denomina superficie.

$$F (x, y, z) = 0 \quad \dots\dots\dots(2.2)$$

$$x = f_1 (x, y)$$

$$y = f_2 (x, z)$$

Esta ecuación deberá ser tal que al despejar al menos una de las variables se obtenga un campo escalar.

$$S = \{ (x, y, z) / F(x, y, z) = 0 \} \dots\dots\dots(2.3)$$

2.2.1 SUPERFICIES SUAVES

Considerando a D como una región en el plano E_2 y cuyos puntos son $P(x, y)$, suponiendo que f es una función escalar continua definida en D

$$z = f(P) \dots\dots\dots(2.4)$$

El rango de f vendrá a ser una superficie S

Las superficies suaves son aquellas que cumplen con las siguientes condiciones :

1) D es una región cerrada, acotada, simplemente conexa, cuya frontera es seccionalmente suave.

2) Para todo P que pertenezca a D se tiene un plano tangente único.

Para definir un punto perteneciente a una superficie, su elección dependerá únicamente de dos de sus coordenadas ya que la tercera queda determinada por la misma superficie. Este análisis

confirma las dos formas de presentar la ecuación de superficie (ec. 2.1,2.2). En conclusión se dice que un punto, cualquiera de una superficie tiene dos grados de libertad.

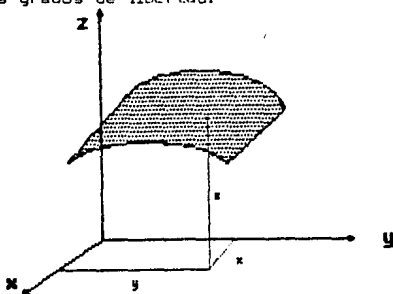


FIGURA 2.2 SUPERFICIE Y SUS COORDENADAS

2.3 METODO DE GENERACION DE SUPERFICIES

Este método considera al conjunto de todas las posiciones que toma una curva que se desplaza y deforma según leyes determinadas.

En primer término se sitúa a la superficie en un sistema de ejes coordenados, como se muestra en la figura 2.4.

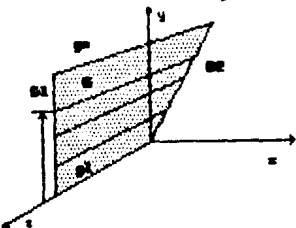


FIGURA 2.3 PARAMETROS DE UNA SUPERFICIE

Se consideran los extremos de la superficie D1 y D2 como guías y se indican como g^1, g^2, \dots, g^n a las posiciones que va tomando el filo de superficie denominado G.

Como G siempre esta sobre el plano horizontal sus ecuaciones se pueden expresar como las de una recta

$$G \begin{cases} y = \alpha x + \beta \\ z = \gamma \end{cases}$$

Para fijar las posiciones de G se deben determinar los valores de los parámetros α, β y γ

Las ecuaciones que determinan los valores de los parámetros se les denomina "Ecuaciones de condición" y para establecerlas es necesario considerar a las ecuaciones de los extremos o guías ya que G, las debe intersectar.

La ecuación que genera la superficie (G) se le denomina generatriz, el conjunto de todas las posiciones que adopta la generatriz es la ecuación de la superficie buscada. También se requiere de ecuaciones de condición, cada una de ellas sirven de guía para el apoyo de la generatriz y se les llama directrices.

Al combinar las ecuaciones de la generatriz con las de las directrices se obtienen "n-1" ecuaciones de condición.

Entre las ecuaciones de condición y las de la generatriz se eliminan los n parámetros lo que da como resultado la ecuación de la superficie.

2.4 CARACTERISTICAS DE UNA ECUACION DE SUPERFICIE

Una vez conocida la ecuación de la superficie es preciso efectuar la descripción de la ecuación de superficie ; a partir de un análisis de sus características fundamentales que son las siguientes:

2.4.1 INTERSECCION CON LOS EJES COORDENADOS

A los puntos de intersección de la superficie con los ejes de referencia, los denominaremos intersecciones "x","y","z".

Dada la ecuación de la superficie, se obtiene la intersección "x" haciendo $y = z = 0$ en la ecuación y resolviendo para "x". En forma análoga se procede para las intersecciones "y" , "z".

2.4.2 TRAZAS SOBRE PLANOS COORDENADOS

Se les denomina de esta forma a las curvas de intersección entre la superficie dada y cada uno de los planos coordenados.

Para obtener la traza sobre el plano xy se sustituye $z=0$ en la ecuación dada. En forma similar se procede para hallar las trazas sobre xz y yz .

2.4.3 SIMETRIA CON RESPECTO A LOS PLANOS COORDENADOS, EJES COORDENADOS Y EL ORIGEN

Se dice que dos puntos son simétricos respecto a un plano, si el plano bisecta perpendicularmente el segmento de recta que une

dichos puntos. Una superficie es simétrica respecto a un plano, si cada punto de la superficie tiene sobre la misma superficie un punto simétrico respecto a dicho plano.

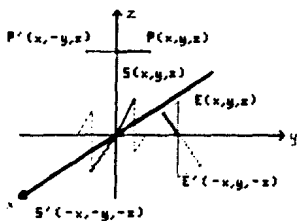


FIGURA 2.4 SIMETRÍA

En la figura anterior los puntos P y P' son simétricos respecto al plano xz si, y solo si tienen las mismas coordenadas x, z y la coordenada y es de signo contrario a la del punto.

Si la superficie $F(x, y, z) = 0$ es simétrica con respecto al plano xz, entonces los puntos $P_1(x_0, y_0, z_0)$ y $P_2(x_0, -y_0, z_0)$ deben estar sobre la superficie y por consiguiente:

$$F(x_0, y_0, z_0) = F(x_0, -y_0, z_0) = 0$$

Por otra parte si se cumple que:

$$F(x, y, z) = F(x, -y, -z) = 0$$

La superficie será simétrica respecto al eje z, si, y solo si al sustituir "x" por "-x" y "y" por "-y" en la ecuación esta no se altera.

Una superficie es simétrica respecto a un punto, si cada punto de la superficie tiene un punto que permanece simétrico respecto al primer punto.

El punto simétrico de $S(x, y, z)$ respecto al origen, es el $S'(-x, -y, -z)$ porque el punto medio de SS' es el origen $(0, 0, 0)$.

Por lo que una superficie es simétrica respecto al origen si al sustituir "x" por $(-x)$, "y" por $(-y)$ y "z" por $(-z)$ en la ecuación correspondiente esta no se altera.

2.4.4 SECCIONES POR PLANOS PARALELOS A LOS PLANOS COORDENADOS

Para conocer la superficie que se estudia, resulta útil identificar que curvas resultan al intersectar la superficie con planos paralelos a los planos coordenados.

Las secciones con planos paralelos al plano XY se obtienen sustituyendo en la ecuación de superficie :

$$Z = k$$

Para las secciones paralelas a XZ se sustituye

$$Y = k$$

Y para las secciones paralelas a YZ

$$X = k$$

2.4.5. EXTENSIÓN

Es un concepto que nos permite investigar la amplitud de la superficie en dirección de los ejes coordenados o bien determina en qué región del espacio tiene representación real la superficie en estudio.

A continuación se resumen las características de una superficie a manera de cuadro sinóptico :

I N T E R S E C C I O N E S	}	E J E S	{	X	Y = Z = 0	
				Y	X = Z = 0	
				Z	Y = X = 0	
		P L A N O S	{	XY	Z = 0	
				XZ	Y = 0	
				YZ	X = 0	
S I M E T R I A	}	E J E S	{	X	F (X , -Y , -Z)	
				Y	F (-X , Y , -Z)	
				Z	F (-X , -Y , Z)	
		P L A N O S	{	XY	F (X , Y , -Z)	
				XZ	F (X , -Y , Z)	
				YZ	F (-X , Y , Z)	
		O R I G E N			F (-X , -Y , -Z)	
		S E C C I O N E S		P L A N A S	E X T E N S I O N E S	
P L A N O S	{	XY	Z = k	{	X	X = f (Y, Z)
		XZ	Y = k	{	Y	Y = g (X, Z)
		YZ	X = k	{	Z	Z = h (X, Y)

TABLA 2.3

2.5. CURVAS DE NIVEL

Cuando una ecuación de superficie adopta una forma funcional $Z=f(x,y)$ en el plano paralelo a xy que corta a la superficie a una altura "C", definirá la curva de intersección.

$$f(x, y) = C$$

$$Z = C$$

Cada curva que se obtiene al dar valores a "C" recibe el nombre de "Curva de nivel" ya que los puntos que una se encuentran a un mismo nivel o cota. Si las curvas de nivel se trazan a intervalos constantes a dichos intervalos se les denomina equidistantes.

Por existir relación funcional, dos curvas de niveles distintos no pueden intersectarse.

Cuando una función tiene 3 variables independientes

$$U = f(x, y, z)$$

no hay curvas de nivel. Al hacer $U = CTE$ se tiene la ecuación de una superficie, a la que se llama "superficie de nivel".

A la ecuación :

$$f(x_1, x_2, \dots, x_n) = cte.$$

se le llama "hipersuperficie de nivel"

2.6 SUPERFICIES CUÁDRICAS

Resulta conveniente poder reconocer las superficies más usuales por inspección o análisis de la ecuación.

La ecuación cuadrática general en tres variables se representa

de la siguiente forma :

$$Ax^2 + By^2 + Cz^2 + Dxy + Eyz + Fxz + Gx + Hy + Iz + J = 0 \quad (2.5)$$

Cualquier superficie cuya ecuación tenga la forma anterior se le denomina superficie cuadrática, si se realizan operaciones de traslación o rotación la ecuación (2.5) puede transformarse en cualesquiera de las formas siguientes :

$$Kx^2 + Ly^2 + Mz^2 = N \quad N \geq 0 \quad \dots (2.6)$$

$$Kx^2 + Ly^2 = Pz \quad P > 0 \quad \dots (2.7)$$

2.6.1 SUPERFICIES CUADRICAS CON CENTRO

Son aquellas cuyo centro de simetría coincide con el de origen , en este tipo de superficies se presentan las siguientes variantes:

a) $N = 0$

b) $N > 0$

para a) se tienen los siguientes casos:

a.1) Dos de los coeficientes K L M son nulos por ejemplo :

Si $K = L = 0$ entonces $Mz^2 = 0$ donde $z = 0$

a.2) Uno cualquiera de los coeficientes K L M es nulo por ejemplo

Si $M = 0$ entonces $Kx^2 + Ly^2 = 0$

cuya solución real es $x = 0$ $y = 0$ que representa al eje z

a.3) K L M son diferentes de cero pero con el mismo signo

$$Kx^2 + Ly^2 + Mz^2 = 0$$

representa al origen ya que sólo se satisface en $x = y = z = 0$

a.4) K L M son diferentes de cero , pero dos de ellos con el mismo signo entonces :

$$Kx^2 + Ly^2 = Mz^2$$

Que es la ecuación de un cono elíptico fig. 2.6

b.1) Dos de los coeficientes K L M son nulos, por ejemplo

$$\begin{aligned} K = L = 0 \quad M > 0 \\ Kx + Ly + Mz &= N \quad N \geq 0 \\ Kx^2 + Ly^2 &= Pz \quad P > 0 \end{aligned}$$

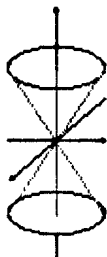


FIGURA 2.5 CONO ELIPTICO

b.2) Uno de los coeficientes M L K es nulo por ejemplo $M=0$ su expresión es : $Kx + Ly = N$ que equivale a un cilindro con generatriz paralela al eje z.

b.3) K L M mayores de cero ; si dos coeficientes son iguales y mayores que el tercero se tendrá una elipsoide de revolución

achatado , y si $K = L < 0$ el elipsoide será alargado , cuando los tres coeficientes tienen el mismo valor la ecuación representa una esfera.

b.4 dos de los coeficientes K,L,M son positivos y el otro negativo que en forma canónica resulta :

$$\frac{x}{a^2} + \frac{y}{b^2} - \frac{z}{c^2} = 1$$

lo que equivale a un hiperboloide en hoja o manto.

b.5 uno de los coeficientes K,L,M es positivo y los otros dos son negativos la ecuación tiene la forma:

$$\frac{x}{a^2} - \frac{y}{b^2} - \frac{z}{c^2} = 1$$

las otras dos superficies difieren en las posiciones con respecto a los ejes coordenados . Determinando sus intercepciones y sus trazas se encuentra su representación gráfica como se muestra en la fig. 2.7

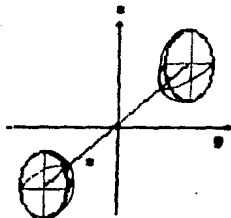


FIGURA 2.7 HIPERBOLOIDE DE HOJAS

2.6.2 SUPERFICIES CUADRICAS SIN CENTRO

Son aquellas que no tienen centro de simetría. Como ya se indicó su ecuación es de la forma:

$$Kx^2 + Ly^2 + = Pz \quad , \quad (P > 0)$$

Dependiendo de los valores de K y L se presentan los siguientes casos :

I) $K = L = 0$ entonces :

$Pz = 0$ de donde $z = 0$ que representa al plano xz

II) Uno de los coeficientes es nulo por ejemplo : $K = 0$

$Ly^2 = Pz$ que es un cilindro parabólico cuyo plano de simetría es xz, Si $L > 0$ se abre hacia arriba y si $L < 0$ se abre hacia abajo

III) Si K y L tienen el mismo signo, se obtiene una superficie que recibe el nombre de Paraboloides Elíptico.

Una de sus ecuaciones en forma canónica es :

$$\frac{x^2}{a^2} + \frac{y^2}{b^2} = z$$

Que representa una parábola con vértice en el origen y eje real sobre el eje z. Si K y L > 0 el paraboloides elíptico se abre hacia arriba fig. 2.8 y si K,L < 0 se abre hacia abajo.

IV) Si K y L tienen signo contrario; la superficie que se presenta en este caso se le denomina paraboloides hiperbólico. Tiene por generatriz a una hipérbola que se desplaza paralelamente a sí

misma, apoyándose, en forma no simultanea en dos parabolos directrices.fig. 2.9

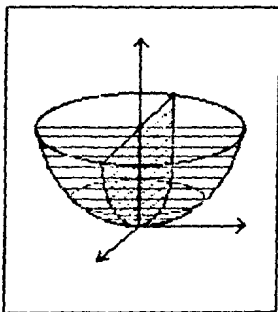


FIGURA 2.8 PARABOLOIDE ELIPTICO

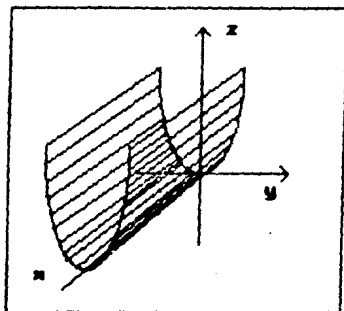


FIGURA 2.9 PARABOLOIDE HIPERBOLICO

CAPITULO III

APLICACION DEL METODO A LA GENERACION DE UNA ECUACION DE ESTADO

En el capítulo anterior se presentaron los principios fundamentales en que se basa el método de Generación de Superficies, que ahora serán aplicados junto con los métodos de ajuste para seleccionar las ecuaciones de condición, así como de las regiones en que hay mayor acercamiento a los ajustes. La superficie P V T utilizada para el presente estudio corresponde a los datos experimentales del metano obtenido de la referencia (15). Posteriormente se analizarán otras sustancias puras.

3.1 PROCEDIMIENTO PARA LA APLICACION DEL METODO

Para el análisis de la superficie P V T conviene generar una representación gráfica de ésta a partir sus datos experimentales (apendice A) como se muestra en la figura 3.1, lo que permitirá tener una idea más clara de la geometría que presenta la superficie, así como de los tipos de curvas que servirán como generatrices y directrices.

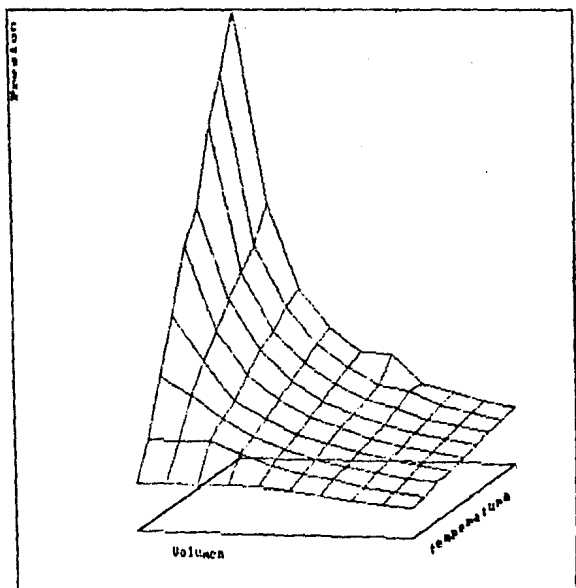


FIG. 3.1 SUPERFICIE PVT PARA EL METANO

La figura 3.1 representa una superficie que puede ser generada de las dos formas siguientes :

A) Considerando a las isotermas como generatrices y a las isobaras extremo como directrices , FIG. 3.2a

B) Considerando a las isobaras como generatrices y a las isotermas extremo como directrices, FIG. 3.2b

En el segundo caso se tiene la facilidad de tener una superficie reglada (esto es que la superficie sea generada por una recta) Por facilidad se enfocará el desarrollo a este segundo caso.

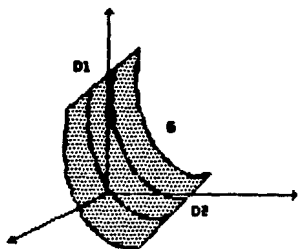


FIG. 3.2a ISOTERMA GENERATRIZ

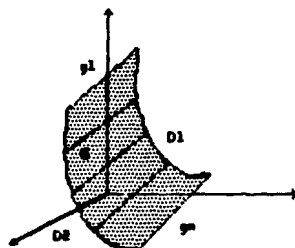


FIG. 3.2b ISOBARA GENERATRIZ

La forma de la ecuación generatriz sera :

$$G \begin{cases} V = f(T) \\ P = \gamma \end{cases}$$

Mientras que las ecuaciones de condición o directrices son :

$$D_1 \begin{cases} V = f(P) \\ T = \text{cte.} \end{cases} \quad D_2 \begin{cases} V = f(P) \\ T = \text{cte.} \end{cases}$$

Estas ecuaciones se determinan en base a las condiciones extremo es decir D_1 con la isoterma menor y D_2 con la isoterma mayor siempre y cuando continuen con la tendencia general de la superficie. La forma de encontrar las condiciones extremo se analizará en el siguiente capítulo .

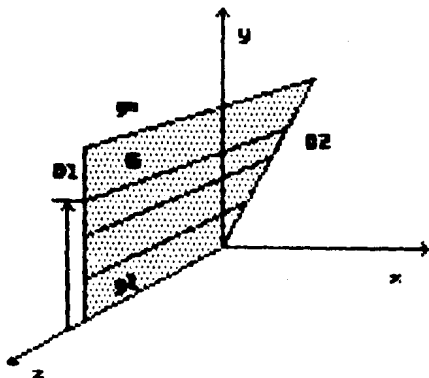


Fig 3.3 PARAMETROS EN UNA SUPERFICIE

Una vez que han sido seleccionadas como directrices D_1 y D_2 las isotermas extremo ,se debe definir un modelo de ajuste para sus ecuaciones correspondientes .En el presente caso se han seleccionado las isotermas como modelo . Conviene analizar algunos conceptos generales sobre el método de mínimos cuadrados.

3.1.1 ESTIMACION DE LOS COEFICIENTES DEL MODELO

A continuación se mencionan los tipos de ajuste más comunes así como sus expresiones matemáticas :

- Modelo lineal con dos coeficientes y una variable independiente :

$$Y = \alpha + \beta x$$

- Modelo lineal de 1 variable dependiente y n variables independientes :

$$Y = \beta_0 + \beta_1 X_1 + \beta_2 X_2 + \dots + \beta_n X_n$$

- Las variables independientes no lineales :

$$Y = \beta_0 + \beta_1 X_1 + \beta_2 X_2^2 + \dots + \beta_n X_n^n$$

- Lineal en β no lineal en X :

$$Y = \beta_0 + \beta_1 X_1 + \beta_2 \ln X_2 + \beta_3 X_1 X_2$$

- Lineal en X no lineal en β :

$$Y = \beta_0 + \beta_1 \beta_2 X_1 + \beta_1 X_2 + \beta_2 X_3$$

- No lineal en X y β :

$$Y = e^{\beta_1 X_1} + e^{\beta_2 X_2}$$

3.1.2 FORMA DE SELECCION DE UNA RELACION FUNCIONAL

Una de las principales dificultades reside en la selección adecuada de un modelo de ajuste por lo cual se analizará la forma de realizar una estimación previa del tipo de ajuste.

Quando se trata de un modelo donde existen dos variables y entre ellas puede establecerse una relación funcional y además si los datos experimentales representados en una gráfica se aproximan a una línea recta, puede considerarse un modelo lineal del tipo :

$$Y = a + b X$$

pero si dicha gráfica resulta una curva, conviene realizar una transformación de las coordenadas con objeto de obtener una línea recta de la forma :

$$Y = a + b X$$

En donde Y y X son las nuevas coordenadas para la linealización de la curva.

En la tabla 3.1 se muestran algunas de las posibles transformaciones para obtener dicha forma lineal.

EQUACION	COORDENADAS		EQUACION DE LA LINEA RECTA
	X	Y	
$\frac{1}{y} = \alpha + \beta x$	y	$\frac{1}{x}$	$\frac{1}{y} = \alpha + \beta x$
$y = \alpha + \beta \cdot x$	$\frac{1}{x}$	y	$y = \alpha + \beta \cdot x$
$\frac{x}{y} = \alpha + \beta x$	x	$\frac{x}{y}$	$\frac{x}{y} = \alpha + \beta x$
$\frac{1}{y} = \alpha \cdot x + \beta$	$\frac{1}{x}$	$\frac{1}{y}$	$\frac{1}{y} = \beta + \alpha \cdot x$
$y = \frac{x}{\alpha + \beta x} + \gamma$	x	$\frac{x - x_1}{y - y_1}$	$\frac{x - x_1}{y - y_1} = \alpha + \beta x_1 + \frac{\beta}{\alpha} (\alpha + \beta x_1)$
$y = \alpha x^\beta$	LOG X	LOG Y	LOG y = LOG $\alpha + \beta$ LOG X
$y = \alpha x^\beta + \gamma$	LOG X	LOG (y - γ)	LOG (y - γ) = LOG $\alpha + \beta$ LOG X
$y = \alpha \beta^x$	x	LOG y	LOG y = LOG $\alpha + x$ LOG β

TABLA 3.1 TRANSFORMACIONES A LA FORMA LINEAL

En las transformaciones aparece un error en la estimación de la variable dependiente.

$$Y = y + \epsilon$$

Por lo que después de la transformación deberá considerarse el error ϵ en la variable transformada para aumentar la precisión.

Por ejemplo si el modelo es :

$$Y = a X^b$$

La variable dependiente observada será :

$$Y = a X^b + \epsilon$$

3.2 METODO DE MINIMOS CUADRADOS

Ya que el objetivo es determinar los coeficientes a y b tales que el error en la estimación sea lo menor posible, se podría considerar que :

$$\sum_{i=1}^n e_i = 0$$

Sin embargo esta suma puede hacerse igual o muy cercana a cero para muchas selecciones de líneas inadecuadas ya que los errores positivos y negativos se cancelan de manera que se debe elegir a y b de modo que :

$$\sum_{i=1}^n (Y_i - \hat{Y}_i)^2 \quad \text{donde } \hat{Y}_i = a + b X_i \quad \text{y } \hat{Y}_i = Y \text{ estimada}$$
$$\sum_{i=1}^n (Y_i - (a + b X_i))^2 \quad \text{sea mínimo}$$

Lo que equivale a minimizar la suma de los cuadrados de las distancias verticales a partir de los puntos respecto a la recta de regresión ,como se muestra en la fig. 3.4

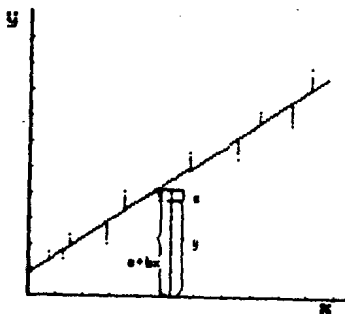


FIG 3.4 CRITERIO PARA EL USO DE MINIMOS CUADRADOS

Una condición necesaria para que exista un mínimo relativo es la anulación de las derivadas parciales del error respecto a a y b por lo que se tiene :

$$2 \sum_{i=1}^n (Y_i - (a + b X_i)) (-1) = 0$$

$$2 \sum_{i=1}^n (Y_i - (a + b X_i)) (-X_i) = 0$$

Escribiendo estas dos ecuaciones como :

$$\sum_{i=1}^n Y_i = a n + b \sum_{i=1}^n X_i$$

$$\sum_{i=1}^n X_i Y_i = a \sum_{i=1}^n X_i + b \sum_{i=1}^n X_i^2$$

A este par de ecuaciones se les denomina ecuaciones normales y con ellas se pueden obtener los valores de a y b para el mejor ajuste.

3.2.2 TEOREMA GAUSS - MARKOV

Este teorema establece que entre todos los estimadores insesgados de α y β (coeficientes reales de regresión) que son lineales en Y_i , los estimadores de mínimos cuadrados son los más confiables por hallarse sujetos a variaciones aleatorias pequeñas.

La variancia σ^2 suele estimarse en términos de las variaciones verticales de los puntos muestrales a partir de la línea de mínimos cuadrados.

La estimación de tales desviaciones es:

$$Y_i - \hat{Y}_i = Y_i - (a + b X_i)$$

$$S_e^2 = \frac{1}{n-2} \sum_{i=1}^n (Y_i - (a + b X_i))^2$$

A la raíz cuadrada de S_e^2 se denomina error estándar de estimación y la suma de cuadrados dada por $(n-2) S_e^2$ recibe el nombre de suma de cuadrados residual, o suma de cuadrados error.

Otra forma de estimar σ^2 es :

$$S_e^2 = \frac{S_{xx} S_{yy} - (S_{xy})^2}{n(n-2) S_{xx}}$$

En donde :

$$S_{xx} = \sum_{i=1}^n X_i^2 - \left[\sum_{i=1}^n X_i \right]^2$$

$$S_{yy} = \sum_{i=1}^n Y_i^2 - \left[\sum_{i=1}^n Y_i \right]^2$$

$$S_{xy} = \sum_{i=1}^n X_i Y_i - \left[\sum_{i=1}^n X_i \right] \left[\sum_{i=1}^n Y_i \right]$$

3.3 REGRESION CURVILINEA

Cuando las transformaciones a la forma lineal no resultan adecuadas, deberá emplearse las regresiones polinomiales en donde para cada X la media de las Y esta dada por :

$$\beta_0 + \beta_1 X + \beta_2 X^2 + \dots + \beta_n X^n$$

El ajuste de las curvas polinomiales tambien se utiliza para obtener aproximaciones cuando no se conoce la forma exacta, por lo que una ecuación predictorora será de la forma :

$$\hat{Y} = \beta_0 + \beta_1 X + \beta_2 X^2 + \dots + \beta_n X^n$$

Dado el conjunto de datos se estiman los coeficientes minimizando:

$$\sum_{i=1}^n (Y_i - (\beta_0 + \beta_1 X + \beta_2 X^2 + \dots + \beta_n X^n))^2$$

Derivando parcialmente respecto a cada coeficiente (β_0, β_1, \dots , etc) e igualando las derivadas parciales a cero se obtienen n+1 ecuaciones normales se tiene :

$$\begin{array}{r}
 \sum y = nb_0 + b_1 \sum x + \dots + b_n \sum x^n \\
 \sum xy = b_0 \sum x + b_1 \sum x^2 + \dots + b_n \sum x^{n+1} \\
 \vdots \\
 \sum x^n y = b_0 \sum x^n + b_1 \sum x^{n+1} + \dots + b_n \sum x^{2n}
 \end{array}$$

Con estos sistemas de ecuaciones se encuentra una solución única .

Los riesgos inherentes a una extrapolación aumentan en forma considerable cuando se emplean polinomios para aproximar funciones desconocidas. Ya que como siempre es posible hallar un polinomio de grado a lo sumo $n-1$ que pase a través de cada uno de los n puntos correspondientes a n valores distintos de x , por lo que el objetivo debe ser encontrar un polinomio de grado mínimo y que adecuadamente describa los datos (fig 3.5).

Existe también un método más estricto para determinar el grado del polinomio que se ajusta al conjunto de datos que consiste en ajustar inicialmente una recta, así como un polinomio de segundo grado y probar la hipótesis nula $\beta_x = 0$ en el caso de que la hipótesis nula sea rechazada entonces se prueba con uno de tercer grado y así se continúa hasta que la hipótesis nula no pueda rechazarse en dos etapas sucesivas .

Para aplicar estas pruebas se requiere de suposiciones de normalidad ,independencia y variancias iguales , ya que nunca deben ser empleadas sin antes examinar el patrón global de los datos.

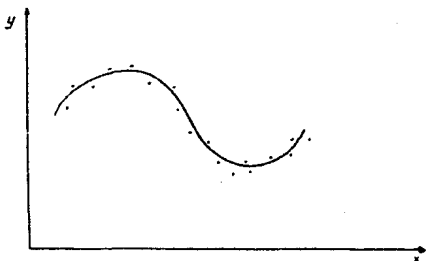


FIG. 3.5 REGRESION POLINOMIAL

3.4 REGRESION MULTIPLE

Las curvas obtenidas no sólo se utilizan para hacer predicciones, a menudo se emplean para fines de optimización, es decir, para determinar los valores de la variable independiente de tal manera que esta represente un máximo o un mínimo.

Los métodos estadísticos de predicción y optimización se consideran incluidos bajo el título general de análisis de superficies de respuesta. Existen dos métodos de análisis de superficies de respuesta el de regresión múltiple y los problemas conexos de experimentación factorial.

En el primero de ellos se manejan datos de $n(r+1)$ coordenadas (X_1, X_2, \dots, X_n) donde nuevamente se supone que las x se conocen sin error, mientras que las y son valores de variables aleatorias.

Como primer punto de la regresión múltiple se abordara el problema en que la ecuación representa una regresión lineal es decir cuando para cualquier conjunto determinado de valores X_1, X_2, \dots, X_n la media de la distribución de las Y esta dada por la

expresión :

$$\hat{Y}_i = \beta_0 + \beta_1 x_1 + \beta_2 x_2 + \dots + \beta_n x_n$$

En el caso de dos variables independientes deberá ajustarse un plano a un conjunto de n puntos con coordenadas (X_1, X_2, Y_i) como se ilustra en la fig. 3.6 ($i = 1, 2, 3, \dots, n$)

Aplicando el método de mínimos cuadrados para obtener estimaciones de los coeficientes $\beta_0, \beta_1, \beta_2$ se minimizará la suma de cuadrados de las distancias verticales de los puntos al plano. Simbólicamente se minimizará :

$$Y_i - Y_i = \sum_{i=1}^n (Y_i - (\beta_0 + \beta_1 x_{1i} + \beta_2 x_{2i}))^2$$

Y las ecuaciones normales para una regresión múltiple con $r=2$ serán :

$$\begin{aligned} \sum y &= n b_0 + \sum b_1 x_1 + \sum b_2 x_2 \\ \sum x_1 y &= b_0 \sum x_1 + b_1 \sum x_1^2 + b_2 \sum x_1 x_2 \\ \sum x_2 y &= b_0 \sum x_2 + b_1 \sum x_1 x_2 + b_2 \sum x_2^2 \end{aligned}$$

la notación abreviada denota :

$$\begin{aligned} \sum x_1 &= \sum_{i=1}^n x_{1i} \\ \sum x_1 y &= \sum_{i=1}^n x_{1i} y_i, \quad \text{etc.} \end{aligned}$$

Si se hubiera considerado una ecuación de la forma :

$$Y = \beta_0 + \beta_1 x_1 + \beta_2 x_2 + \beta_3 x_1 x_2 + \beta_4 x_1^2 + \beta_5 x_2^2$$

El método de mínimos cuadrados habría originado un sistema de ecuaciones normales formado por seis ecuaciones simultáneas

lineales y seis incógnitas.

En este método lo más importante es la cuidadosa elección de valores de la variable independiente, ya que esto permitirá mejorar las predicciones. Mediante el análisis de variancia se deben efectuar pruebas relativas a lo significativo de los efectos de ciertas combinaciones de niveles de las variables independientes.

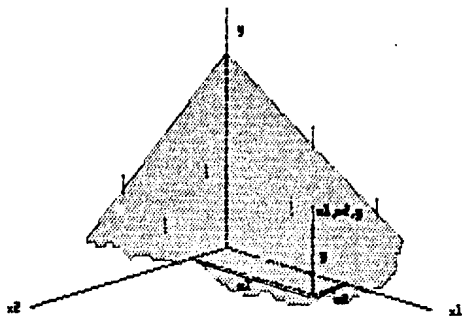


FIG 3.6 PLANO DE REGRESION.

3.5 SELECCION DEL MODELO DE AJUSTE PARA LAS ECUACIONES DIRECTRICES DE LA ECUACION DE ESTADO

Ahora se aplicarán los conceptos anteriores para encontrar el modelo de las directrices.

Mediante la fig. 3.1 se puede apreciar que la tendencia que sigue la geometría de las isoterma en la región evaluada es la misma. Por lo que una vez determinado el modelo de ajuste para cualquiera de ellas, este servirá como base para obtener los coeficientes de regresión de cualquier otra isoterma.

En la fig. 3.7 se muestra el tipo de curva que presentan las isoterma en las coordenadas P vs. V.

Para una estimación previa del modelo a partir de la tabla 3.2 se tabulan los datos (tabla 3.3).

MODELO	VALOR CONSTANTE
$n = \alpha + \beta x$	$\Delta Y / \Delta X$
$n = \alpha \beta^x$	$\Delta \text{Log } Y / \Delta X$
$n = \alpha x^\beta$	$\Delta \text{Log } Y / \Delta \text{Log } X$
$n = \alpha + \beta x + \gamma x^2$	$\Delta^2 Y / \Delta X^2$
$n = x / (\alpha + \beta x)$	$\Delta (X / Y)$

TABLA 3.1 MODELOS DE AJUSTE

ISOTERMA DEL METANO 255 K (0°F)

PRESION	VOLUMEN	PRESION	VOLUMEN
15	20.45221	1000	0.2418
25	12.2457	1200	0.1917
50	6.0905	1400	0.1572
75	4.0385	1600	0.1329
100	3.0126	1800	0.1156
150	1.9865	2000	0.1030
200	1.4734	3000	0.0737
300	0.9601	4000	0.0632
400	0.7034	5000	0.0576
500	0.5493	6000	0.0542
600	0.4465	7000	0.0517
700	0.3732	8000	0.0498
800	0.3182		
900	0.2756		

* P = Lb/in

TABLA 3.3 DATOS EXPERIMENTALES DE LA ISOTERMA
255.5 K DEL METANO

Para seleccionar el modelo de ajuste de las isotermas que servirán como guías para la superficie generada, se puede elegir cualquiera de ellas, siempre y cuando presente misma tendencia que las otras.

Para el presente desarrollo se analizará la isoterma a 255 K, la cual se encuentra en una región central de la superficie.

En la tabla 3.4 se presentan los valores de las coordenadas de transformación lineal, lo que permite evaluar con que transformación se obtiene un mejor ajuste.

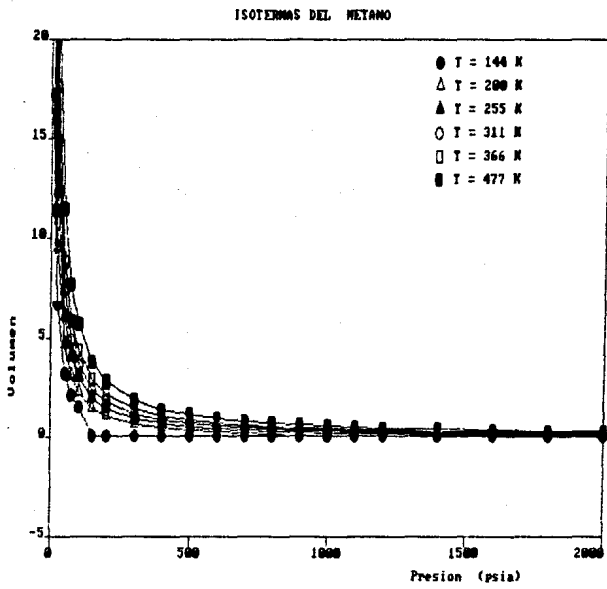


FIGURA 3.7 ISOTERMAS DEL METANO

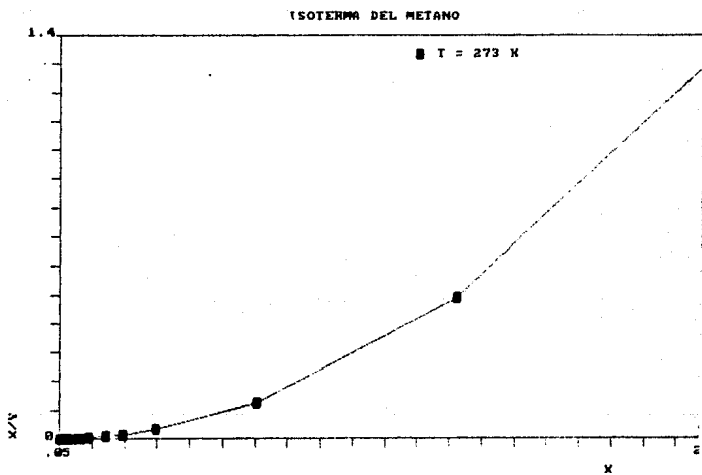
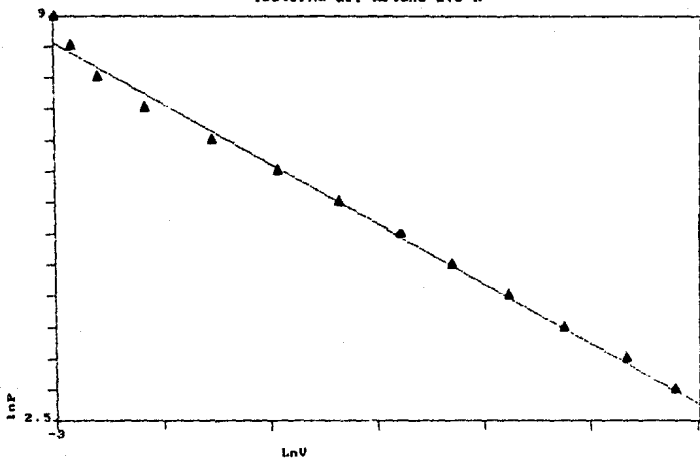


FIG. 3.8 COORDENADAS P/V VS. V

isoterma del metano 273 K



GRAFICA 3.9 ISOTERMA EN COORDENADAS LN V vs. LN P

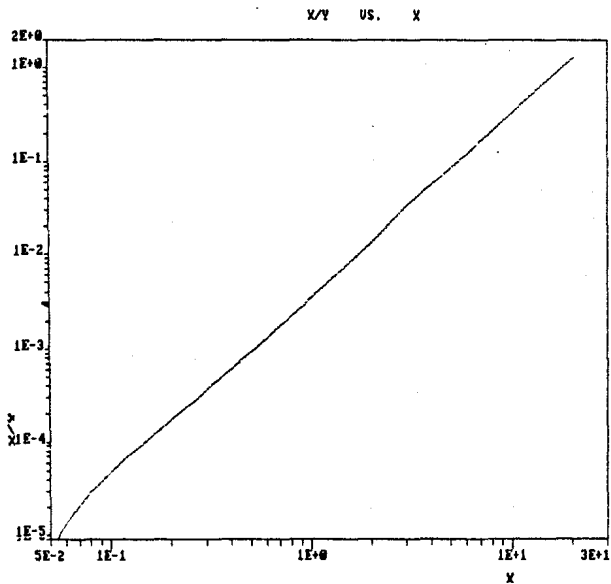
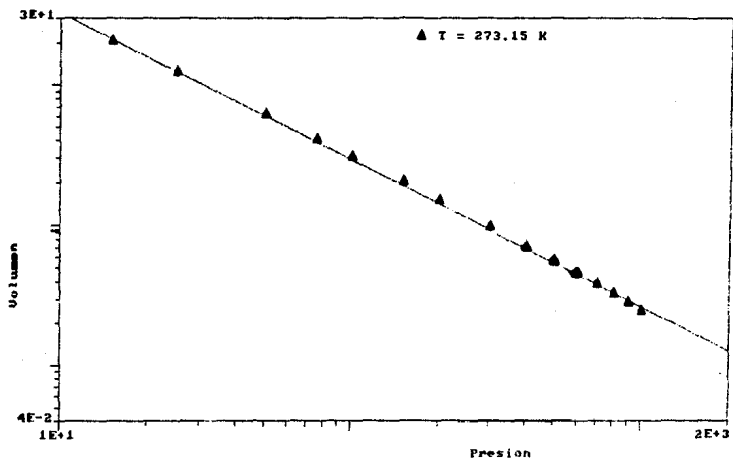


FIG. 9.10 ISOTERMA EN COORDENADAS LN P/V - LN P



GRAFICA 3.11. LOG P vs. LOG V

En la siguiente tabla se muestran los resultados obtenidos para las transformaciones lineales en base a las variancias que presentan.

grafica #	TIPO DE AJUSTE	ABSCISA	ORDENADA	VARIANCIA
3.10	P/V VS P	P	P/V	-----
3.11	LN P - LN V	LN P	LN V	2.2E-2
3.12	LN P/V - LN P	LN P	LN P/V	2.30E-3
3.13	LOG P - LOG V	LOG P	LOG V	4.76E-4

TABLA 3.4

Ahora se grafica la misma isoterma con regresión curvilinea para distintos ordenes (2, 3, 4).

En la tabla 3.5 ,se puede apreciar el resumen del comportamiento de las regresiones curvilineas, lo siguiente ; A medida que el orden aumenta la variancia disminuye pero , ya que el objetivo es encontrar la expresi3n mas simple y representativa, no es conveniente que se seleccione una ecuaci3n de orden superior porque aumenta el n3mero de par3metros que deber3n encontrarse y adem3s se incrementa en forma considerable la dificultad para que sea usada como gui3a.

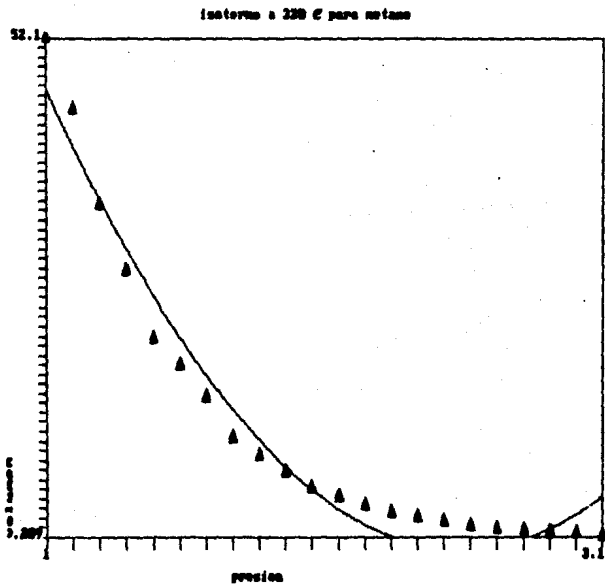


FIG. 9.42 REGRESION CURVILINEA DE 2 ORDEN

isoterma a 320 C para metano

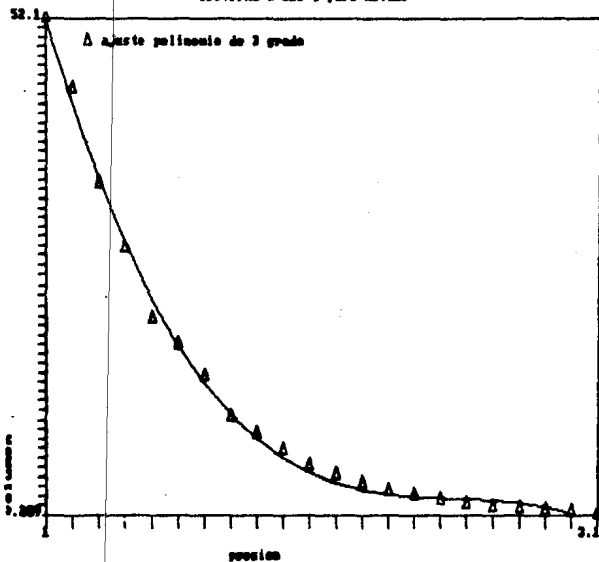


FIG. 9.18 REGRESION CURVILINEA DE 3 ORDEN

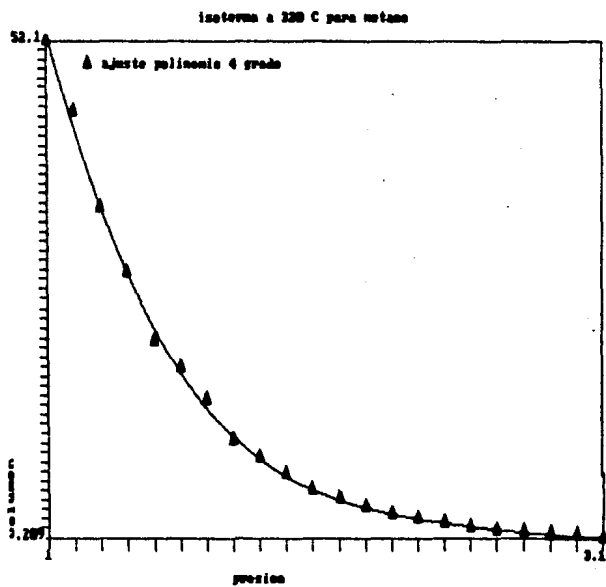


FIG. 3.14 REGRESION CURVILINEA DE 4 ORDEN

Gráfico #	TIPO DE AJUSTE	ECUACION	VARIANCIA
3.12	SEGUNDO ORDEN	$4.47E1 - 1.28E2 - 86X^2$	-7.07
3.13	TERCER ORDEN	$51.9 - 108X - 264.6X^2 - 110X^3$	-0.575
3.14	CUARTO ORDEN	$52.9 - 229.0X - 986.0X^2 - 312X^3 + 66.5X^4$	-0.28

TABLA 3.5 COMPARACION ENTRE REORECCIONES DE DISTINTO ORDEN

En base a las tablas 3.4 y 3.5, el modelo resultante para la ecuación directriz es de la forma:

$$\text{Log } Y = \text{Log } \alpha + \beta \text{ Log } X$$

o bien :

$$Y = \alpha X^\beta$$

Una vez seleccionado el modelo, se determinan los coeficientes α y β para cada una de las isoterms que se tomen como guías. En este caso son las correspondientes a 255 y 433 K.

Los coeficientes para cada una de las directrices son :

TEMPERATURA	α	β
255.5 K	-0.9394517915	2.415102549
433.3 K	-0.9969967181	2.712311968

En el siguiente capítulo se analizará la forma en que los coeficientes pueden contribuir a mejorar la precisión en la reproducción de la superficie P V T.

3.6 ALGORITMO DE LA ECUACION DE ESTADO GENERADA

Las ecuaciones de las guías o directrices son :

$$D_1 \begin{cases} \text{Log } P = -0.9969967181 \text{ Log } V + 2.712311938 \dots (3.10) \\ T = 433.33 \dots (3.11) \end{cases}$$

$$D_2 \begin{cases} \text{Log } P = -0.9394517915 \text{ Log } V + 2.415102549 \dots (3.12) \\ T = 255.55 \dots (3.13) \end{cases}$$

Asignando estos valores a las letras a , a₁, b, b₁, r₁, r₁ se tiene:

$$\begin{aligned} a &= -0.9969967181 & b &= 2.712311938 & r_1 &= 433.33 \\ a_1 &= -0.9394517915 & b_1 &= 2.415102549 & r_2 &= 255.55 \end{aligned}$$

Despejando en las ecuaciones 3.10 y 3.12 el volumen V e introduciendo las constantes se obtienen las ecuaciones siguientes:

$$V_1 = (P / 10^b)^{1/a} \dots (3.13)$$

$$V_2 = (P / 10^{b_1})^{1/a_1} \dots (3.14)$$

Como la generatriz es una recta , su ecuacion será :

$$V = \alpha + \beta T \dots (3.15)$$

Sustituyendo 3.13 y 3.14 en (3.15) se obtienen las siguientes expresiones :

$$(P / 10^b)^{1/a} = \alpha + \beta (r_1) \dots (3.16)$$

$$(P / 10^{b_1})^{1/a_1} = \alpha + \beta (r_2) \dots (3.17)$$

siendo r₁ y r₂ los valores de T de las directrices

Restando 3.16 a 3.17 se tiene :

$$\begin{aligned} (P / 10^{b_1})^{1/a_1} - (P / 10^b)^{1/a} &= \beta (r_2) - \beta (r_1) \\ (P / 10^{b_1})^{1/a_1} - (P / 10^b)^{1/a} &= \beta (r_2 - r_1) \end{aligned}$$

Si $r = r_2 - r_1$ y despejando β

$$\beta = \frac{(P / 10^{b_1})^{1/a_1} - (P / 10^b)^{1/a}}{r} \dots \dots \dots (3.18)$$

de 3.17 se tiene :

$$a = (P / 10^{b_1})^{1/a_1} - \beta (r_1)$$

Sustituyendo en 3.15 :

$$V = (P / 10^{b_1})^{1/a_1} + \beta (T - r_1)$$

Transformando $n_1 = 10^{b_1/a_1}$

$$V = (P^{1/a_1} / n_1) + \frac{(P^{1/a_1} / n_1) - (P^{1/a} / n)}{r} [T - r_1] \dots \dots \dots (3.20)$$

Por medio de la ecuación 3.20 se podra determinar el volumen conociendo las constantes para la substancia requerida.

CAPITULO IV

RESULTADOS GENERALIZACION Y CONCLUSIONES

En el capítulo anterior se mostro la aplicación del método de generación de superficies y el modelo que presenta la ecuación de estado generada a partir de los datos del metano (ap.A) . El presente capítulo esta enfocado al análisis de los resultados de esta ecuación , con el fin de establecer una comparación entre los datos experimentales y los que se han reproducido.

A partir del modelo desarrollado para el metano y con datos para el nitrógeno, etileno y CO_2 (ap.B-C-D), en las regiones estudiadas, se tratará de generalizar el modelo , y establecer las ventajas y desventajas del método de generar las ecuaciones de estado.

4.1 ESTIMACION DE LAS CONDICIONES EXTREMO

Si se grafican distintas isoterma en coordenadas P vs. V (fig. 4.1) y posteriormente en coordenadas logarítmicas para lograr su transformación lineal como se muestra en la fig. 4.2; se puede observar que algunas de ellas no presentan la misma tendencia de la geometría establecida , y se alejan de la linealización lograda usando la transformación de coordenadas.

Capítulo IV

Este tipo de líneas no serán de utilidad para poder ser consideradas como guías o condiciones extremo, ya que no se ajustan al tipo de geometría de la superficie que se trata de reproducir, por lo que, eliminando este tipo de isoterma, se tomarán como condiciones extremo a aquellas isoterma con temperatura mínima y máxima que presenten menor variancia en su ajuste lineal y que manteniendo la misma tendencia geométrica que las que quedan comprendidas entre ellas. (grafica 4.2).



FIG. 4.1 ISOTERMAS PARA EL METANO P VS. V

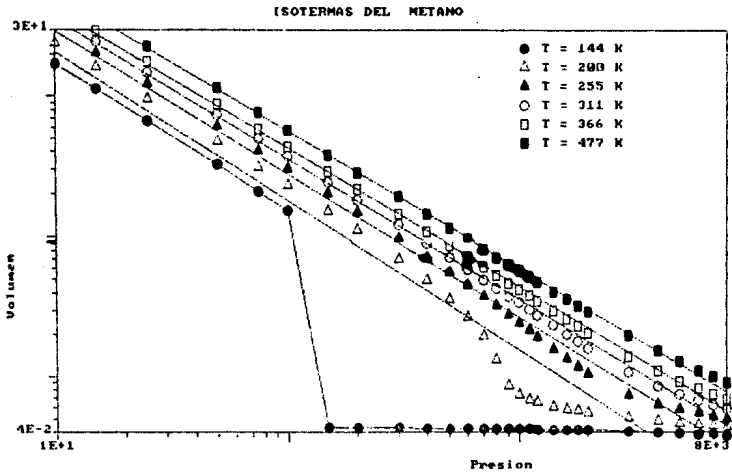


FIG. 4.2 ISOTERMAS PARA EL METANO LOG P VS. LOG V

4.1.1 ANALISIS DE LOS INTERVALOS DE PRESION

Es de suma importancia el no pretender reducir los intervalos estudiados a un valor mínimo, tratando con ello de lograr un mejor ajuste de la transformación lineal, ya que esto podría dar lugar al análisis de una parte de la superficie que probablemente no sea completamente representativa de la geometría ; y una extrapolación de estos intervalos podría resultar completamente absurda, mientras que si las ecuaciones directrices deben ser lo más representativas posible, para que permitan extrapolaciones con resultados confiables.

En las gráficas siguientes se puede apreciar como se obtienen mejores valores en los ajustes para intervalos cada vez menores pero al mismo se puede apreciar la forma en que se limita la región en estudio y el cambio de geometría que puede generar el basarse en una área limitada fig. 4.3, 4.4, 4.5, 4.6

Observando los intervalos de presiones que se manejan en estas gráficas en la fig. 4.3 de 10 a 8000 psia se presenta una desviación del ajuste lineal, por lo que graficando nuevamente la misma línea con un intervalo de presión hasta 4000 psia en lugar de 8000 se logra disminuir considerablemente las variancias como se muestra en la tabla (4.1) ; si a su vez se decrementa el intervalo de presiones hasta 2000 psia el ajuste sigue mejorando, y así se podrá seguir, pero cada vez la representatividad disminuirá ; lo cual se puede observar en las superficies generadas

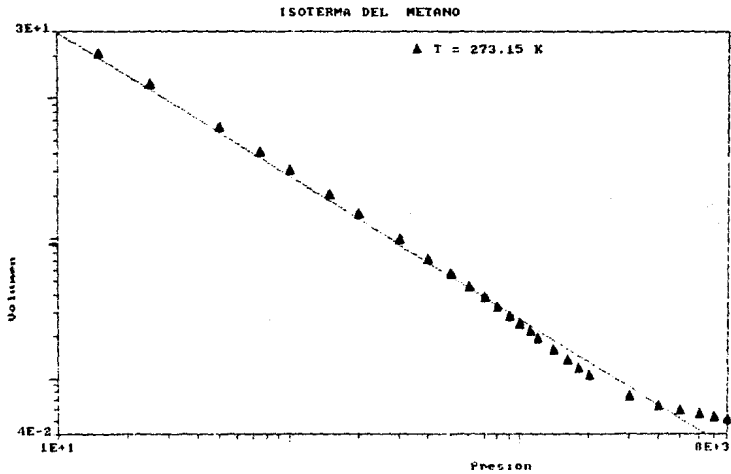


FIG. 4.3 ISOTERMA 273.15 K DEL METANO
INTERVALO DE PRESION 10 A 8000 PSIA.

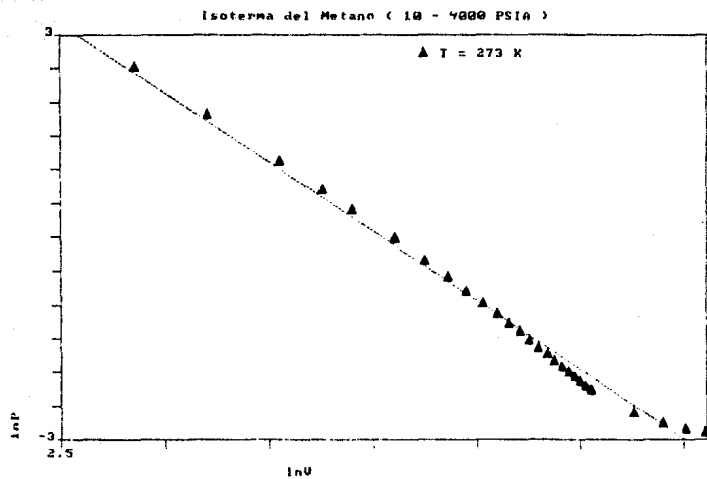


FIG. 4.4 ISOTERMA 273.15 K DEL METANO
INTERVALO DE PRESION 10 A 4000 PSIA.

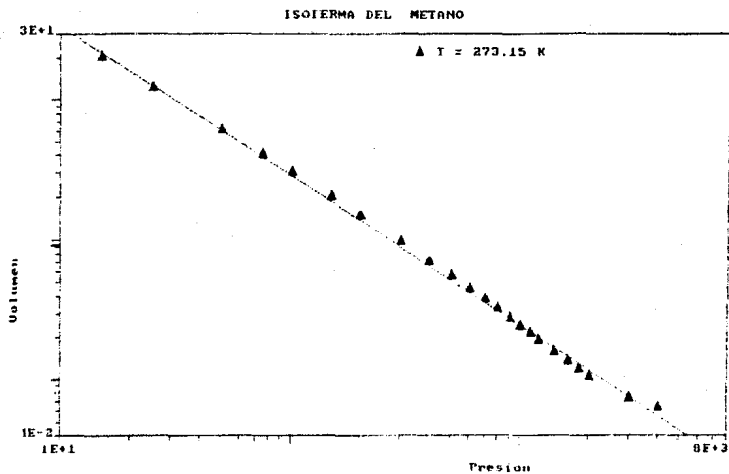


FIG. 4.5 ISOIERMA 273.15 K DEL METANO
INTERVALO DE PRESION 10 A 2000 PSIA.

Este análisis no solo es aplicable a las isotermas sino que resulta extensible a las isobaras, por lo que, tanto en presión como en temperatura, deberán elegirse condiciones extremas óptimas tales que permitan reproducir volúmenes realmente representativos de la región a la que pertenecen.

isoterma	intervalo de presión (PSIA)	coeficiente de variancia
255.5 K	10 - 8000	4.712E-03
255.5 K	10 - 4000	9.285E-04
255.5 K	10 - 2000	6.436E-04
255.5 K	10 - 1000	2.834E-04

TABLA 4.1

El estimar los coeficientes del modelo de las líneas directrices en la forma más precisa posible, tiene una gran repercusión en la superficie generada ya que, como se ha podido observar en el capítulo anterior, estos coeficientes se convierten en exponentes en las ecuaciones de estado, confiriendo sensibilidad a la ecuación, lo que puede representar un mayor acercamiento a los datos experimentales o por lo contrario se pueden generar datos muy distintos a los esperados, en ciertas regiones.

En los ejemplos posteriores se dará una explicación más amplia en lo que respecta a las condiciones extremo en base a los resultados obtenidos de las ecuaciones.

4.2 GENERALIZACION DE LA ECUACION DESARROLLADA

A partir de los datos experimentales para el metano se desarrollo un algoritmo para la región gaseosa, el cual puede se extrapolado al cálculo de otras sustancias puras como se demuestra a continuación . Si se trabaja con datos experimentales para el nitrógeno, etileno y CO₂ , observando la superficie P V T reproducida para el Nitrógeno a partir de sus datos experimentales (fig.4.7), se puede apreciar la gran similitud que presenta la geometría de esta superficie con la que ha sido previamente desarrollada para el metano (fig.3.1), por lo que , se puede decir que el mismo algoritmo (ecs.3.30) servirá para reproducir los volúmenes del nitrógeno , variando unicamente los parámetros que han sido determinados para el metano , por lo que de acuerdo a la tendencia general de las isothermas y usando la transformación lineal encontrada, se determinan las condiciones extremo.

A continuación se desarrolla el mismo tipo de análisis efectuado a los datos del metano y a su superficie , para cada una de las sustancias seleccionadas , presentandolas por separado.

4.2.1 SUPERFICIE Y ALGORITMO PARA EL NITROGENO

En la gráfica 4.8 se muestra la tendencia de las isothermas del N₂ que como ya se indicó presenta el mismo tipo de geometría que el metano, en la fig. 4.9 se muestra la transformación lineal.

Capítulo IV

La tabla 4.2 resume los resultados de la transformación para cada una de las isotermas, a fin de seleccionar las directrices adecuadas, de acuerdo al modelo de ecuación 3.30 (desarrollado para el metano).

TEMPERATURA		ORDENADA AL ORIGEN	PENDIENTE	VARIANCIA
F	K			
-160	166.6	1.985	-9.839E-1	1.082E-2
-80	211.1	2.087	-9.698E-1	3.562E-3
0	255.5	2.167	-9.632E-1	2.048E-3
80	300.0	2.235	-9.604E-1	1.506E-3
160	344.4	2.296	-9.598E-1	1.226E-3
320	433.3	2.401	-9.611E-1	9.132E-4
400	477.7	2.446	-9.622E-1	8.130E-4
480	522.2	2.487	-9.635E-1	7.241E-4

TABLA 4.2

Como ya se ha mencionado, la selección de las directrices debe ser función simultánea de que la línea presente la tendencia geométrica general y que sus coeficientes de variancia sean adecuados. En base a estos criterios, si consideramos como directrices las isotermas -80 F y 480 F, los parámetros para la ecuación 3.30 serían los siguientes.

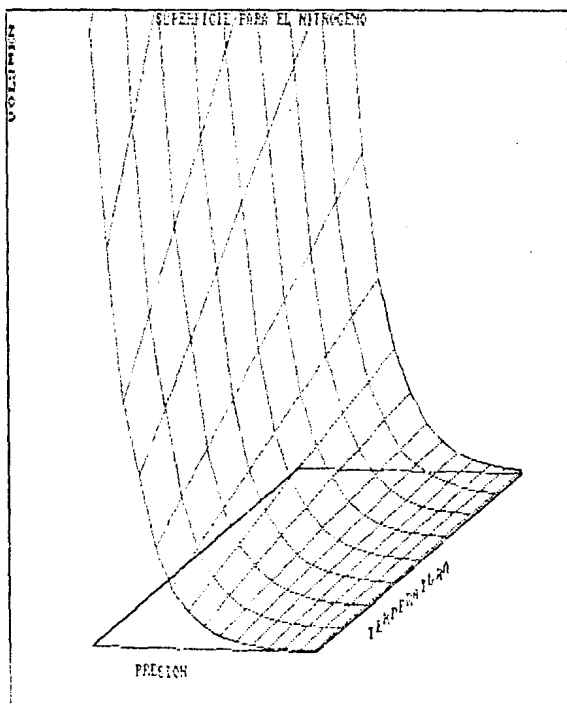


FIG. 4.7 SUPERFICIE PVT DEL NITROGENO
A PARTIR DE DATOS EXPERIMENTALES

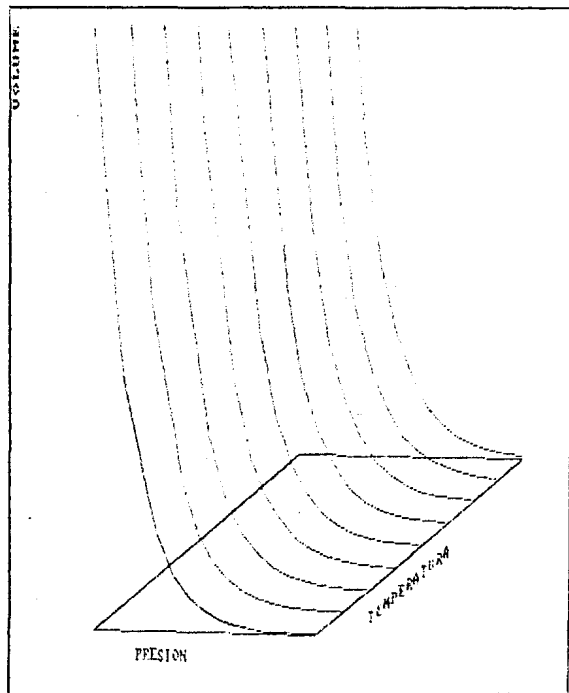


FIG. 4.8 TENDENCIA DE LAS ISOTERMAS DEL NITROGENO

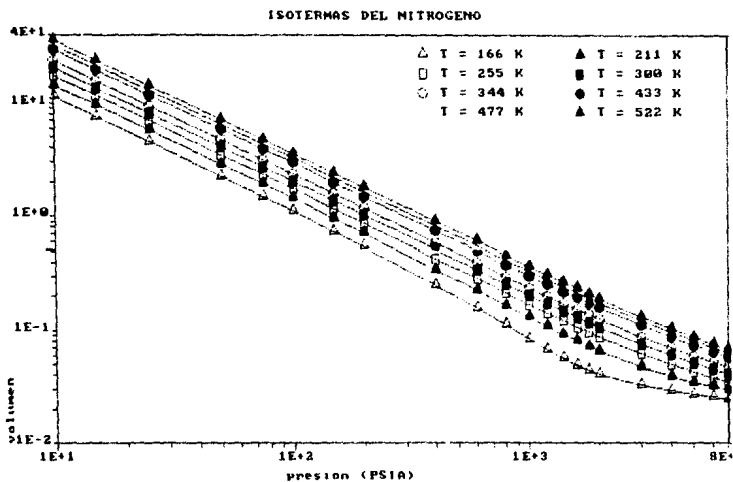


FIG. 4.9 LOG P VS. LOG V NITROGENO

T1 = 211.11	A1 = -0.9698	B1 = 2.087
T2 = 522.2	A2 = -0.9635	B2 = 2.487

TABLA 4.3 CONSTANTES ESTIMADAS PARA EL NITROGENO

Estos valores no son los parámetros definitivos de la ecuación, sólo se está tomando en principio como un estimado de los posibles parámetros, con el objeto de ejemplificar como se introducen los coeficientes de las ecuaciones directrices en el algoritmo de la ecuación de estado.

Con el fin de seleccionar las directrices óptimas que reproduzcan los volúmenes lo más cercano posible a los datos reales, en la tabla 4.5 se evalúan los volúmenes estimados según los distintos pares de isothermas consideradas como directrices y condiciones extremo que se presentan a continuación (tabla 4.4).

MODELO	V1	V2	V3
T1	211.11	255.55	166.60
T2	522.20	477.77	522.20
A1	-0.9698	-0.9632	-0.9839
A2	-0.9635	-0.9622	-1.9850
B1	2.0870	2.1670	2.4870
B2	2.4870	2.4460	2.4670

TABLA 4.4

PRESIÓN	TEMPERATURA F	NITRÓGENO							
		Vol. Exp.	V ₁	WES ₁	V ₂	WES ₂	V ₃	WES ₃	
10 Lb/in ²	-90 °F	211.11	14.51517	15.26766	0.05	13.17618	0.05	13.14368	0.05
	0 °F	235.56	17.59954	16.36666	0.07	16.27466	0.07	16.25498	0.06
	90 °F	306.66	26.65646	19.41666	0.06	19.39176	0.06	19.37226	0.06
	160 °F	344.66	33.71396	21.51666	0.05	22.44676	0.05	22.46226	0.05
	240 °F	362.66	36.77146	25.61666	0.04	25.50176	0.04	25.59416	0.04
	320 °F	432.66	29.62296	26.72666	0.04	26.72666	0.04	26.71196	0.04
	400 °F	477.76	34.56946	31.83196	0.03	31.52776	0.03	31.62266	0.03
	490 °F	522.26	35.56132	34.54676	0.02	34.54396	0.02	34.54666	0.03
25 Lb/in ²	-90 °F	211.11	5.78625	5.13446	0.11	5.06826	0.12	5.16556	0.11
	0 °F	235.56	7.83663	6.32666	0.10	6.26666	0.11	6.32796	0.10
	90 °F	306.66	9.26169	7.52666	0.09	7.46366	0.09	7.5276	0.09
	160 °F	344.66	5.43953	6.71666	0.06	6.66516	0.06	6.75666	0.06
	240 °F	362.66	10.71526	9.51566	0.06	9.56256	0.06	9.51766	0.07
	320 °F	432.66	11.54936	11.16666	0.07	11.06516	0.07	11.11226	0.07
	400 °F	477.76	13.17646	12.36266	0.07	12.26666	0.07	12.36456	0.07
	490 °F	522.26	14.29612	13.49666	0.06	13.46126	0.06	13.49666	0.06
100 Lb/in ²	-90 °F	211.11	1.43596	1.22666	0.14	1.29756	0.16	1.24566	0.15
	0 °F	235.56	1.75926	1.61666	0.14	1.49666	0.15	1.54666	0.13
	90 °F	306.66	2.06266	1.76166	0.13	1.77666	0.14	1.94566	0.12
	160 °F	344.66	2.37616	2.07666	0.13	2.05666	0.13	2.06396	0.12
	240 °F	362.66	2.66266	2.36266	0.12	2.34666	0.13	2.36316	0.12
	320 °F	432.66	2.95166	2.63666	0.12	2.64366	0.12	2.64366	0.12
	400 °F	477.76	3.29514	2.92666	0.11	2.96766	0.12	2.92216	0.11
	490 °F	522.26	3.69786	3.28226	0.11	3.35126	0.12	3.28226	0.11
400 Lb/in ²	-90 °F	211.11	0.36656	0.29435	0.16	0.26666	0.19	0.36166	0.15
	0 °F	235.56	0.43214	0.36975	0.17	0.35666	0.16	0.36666	0.15
	90 °F	306.66	0.61636	0.42736	0.17	0.42965	0.16	0.43225	0.16
	160 °F	344.66	0.59475	0.48176	0.17	0.47366	0.16	0.49776	0.16
	240 °F	362.66	0.67416	0.56916	0.17	0.56436	0.16	0.56516	0.16
	320 °F	432.66	0.75254	0.62666	0.17	0.62166	0.17	0.63666	0.17
	400 °F	477.76	0.83135	0.69846	0.17	0.69626	0.17	0.69666	0.17
	490 °F	522.26	0.96745	0.75955	0.16	0.75546	0.17	0.75956	0.16

TABLE 4.5

NITRÓGENO									
PRESIÓN	TEMPERATURA	VL. EFL.	V1	SGESV	V2	SGESV	V3	SGESV	
	F	F							
1000	LB/IN								
	-50 °C	211.11	0.13100	0.11442	0.13	0.11970	0.16	0.11600	0.18
	0 °C	255.50	0.17605	0.13996	0.15	0.12550	0.20	0.12110	0.18
	50 °C	300.00	0.20660	0.16559	0.20	0.14200	0.21	0.16415	0.19
	100 °C	344.40	0.24061	0.19114	0.21	0.16100	0.22	0.19170	0.20
	200 °C	388.80	0.27403	0.21669	0.21	0.21300	0.22	0.21635	0.20
	300 °C	433.20	0.30660	0.24230	0.21	0.23000	0.22	0.24300	0.21
	400 °C	477.70	0.33660	0.27300	0.21	0.26500	0.22	0.26330	0.21
450 °C	522.20	0.37075	0.29307	0.21	0.29105	0.21	0.29307	0.21	
1600	LB/IN2								
	-50 °C	211.11	0.05130	0.07042	0.13	0.07390	0.16	0.07290	0.18
	0 °C	255.50	0.07770	0.06613	0.20	0.06300	0.22	0.06100	0.18
	50 °C	300.00	0.13130	0.10162	0.22	0.09365	0.24	0.10062	0.21
	100 °C	344.40	0.15365	0.11740	0.24	0.11070	0.25	0.11990	0.22
	200 °C	388.80	0.17510	0.13214	0.24	0.12720	0.25	0.13470	0.23
	300 °C	433.20	0.19602	0.14662	0.24	0.14100	0.25	0.14950	0.24
	400 °C	477.70	0.21650	0.16445	0.24	0.16200	0.25	0.16465	0.24
450 °C	522.20	0.23600	0.18015	0.24	0.17622	0.24	0.18010	0.24	
3000	LB/IN2								
	-50 °C	211.11	0.04700	0.03600	0.22	0.03500	0.25	0.03037	0.19
	0 °C	255.50	0.06107	0.04470	0.27	0.04302	0.29	0.04626	0.25
	50 °C	300.00	0.07523	0.05214	0.29	0.05107	0.31	0.05422	0.26
	100 °C	344.40	0.09274	0.06127	0.30	0.06100	0.31	0.06214	0.29
	200 °C	388.80	0.09972	0.06300	0.30	0.06202	0.32	0.07000	0.30
	300 °C	433.20	0.11107	0.07390	0.30	0.07007	0.31	0.07790	0.30
	400 °C	477.70	0.12271	0.08560	0.30	0.08015	0.31	0.08390	0.30
450 °C	522.20	0.13000	0.09300	0.30	0.09300	0.31	0.09300	0.30	
6000	LB/IN2								
	-50 °C	211.11	0.01900	0.01000	0.42	0.01720	0.42	0.01850	0.41
	0 °C	255.50	0.02700	0.01300	0.42	0.01220	0.45	0.01270	0.41
	50 °C	300.00	0.04500	0.02300	0.42	0.02220	0.45	0.02350	0.42
	100 °C	344.40	0.05300	0.02600	0.42	0.02520	0.44	0.02610	0.42
	200 °C	388.80	0.05635	0.03000	0.42	0.02225	0.42	0.03420	0.41
	300 °C	433.20	0.06445	0.03700	0.42	0.03725	0.42	0.03600	0.41
	400 °C	477.70	0.06800	0.04100	0.41	0.04125	0.41	0.04100	0.41
450 °C	522.20	0.07511	0.04570	0.40	0.04527	0.41	0.04570	0.40	
TOTAL				0.19227		0.20336		0.18636	

TABLA 4. 5 CONTINUACION

Analizando la tabla 4.3 de acuerdo a los porcentajes de desviación de los volúmenes estimados respecto a los experimentales, se puede apreciar que los valores más cercanos se tienen para las directrices seleccionadas de 166.6 K (-160 F) y 522.2 K (480 F) resultando como coeficientes para la ecuación del nitrógeno los siguientes valores :

T1 = 166.6	A1 = -0.9839	B1 = 1.985
T2 = 522.2	A2 = -0.9635	B2 = 2.487

TABLA 4.6 CONSTANTES PARA LA ECUACION DEL NITROGENO

Tomando de la tabla 4.5 los volúmenes estimados para el nitrógeno con estas constantes se genera la superficie PVT que se muestra en la fig. 4.10.

Mediante este tipo de análisis se puede apreciar la importancia de la selección de las directrices, ya que con ello los volúmenes estimados en general, pueden mejorar o empeorar notablemente.

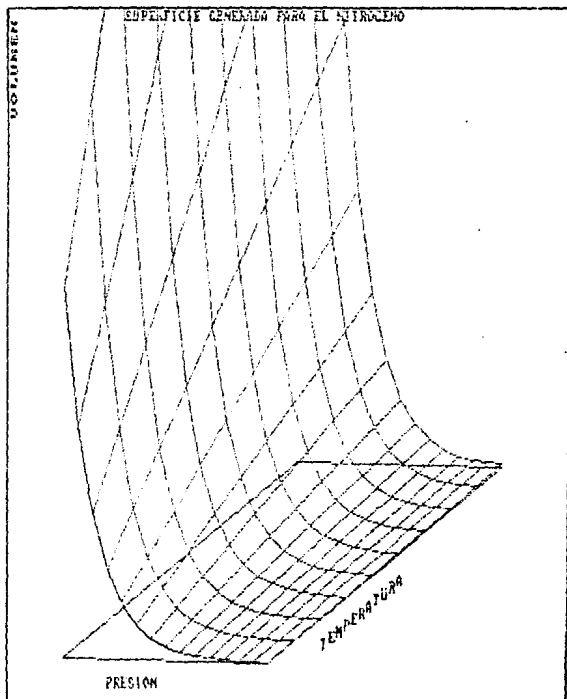


FIG. 4.10 SUPERFICIE GENERALA PARA EL NITROGENO

4.2.2 SUPERFICIE Y ALGORITMO PARA EL ETILENO

Ahora se aplica el mismo procedimiento para los datos del etileno. En la gráfica 4.11 se muestra la superficie PVT generada a partir de los datos experimentales del etileno (AP.C)

Dicha superficie es estudiada usando el mismo algoritmo que en las sustancias anteriores . En la grafica 4.12 se muestran los ajustes de las isothermas de acuerdo a la transformación logarítmica.

Los coeficientes encontrados para dicha linealización son los siguientes :

TEMPERATURA K	ORDENADA AL ORIGEN	PENDIENTE	VARIANCIA
373	2.367	-1.059E-0	2.218E-2
473	2.419	-1.027E-0	5.116E-3
573	2.461	-1.009E-0	1.976E-3
673	2.500	-9.977E-1	1.122E-3
773	2.534	-9.895E-1	8.393E-4

TABLA 4.7

De acuerdo a estos valores y seleccionando aquellos pares de directrices que presentan los menores porcentajes totales de desviación en volumen se presenta la tabla (4.9) de acuerdo a las siguientes combinaciones(tabla 4.8)

MODELO	V1	V2	V3
T 1	366.6	422.2	477.7
T 2	533.3	533.3	533.3
A 1	-1.071	-1.038	-1.026
A 2	-1.010	-1.010	-1.010
B 1	2.319	2.324	2.351
B 2	2.381	2.381	2.381

TABLA 4.8

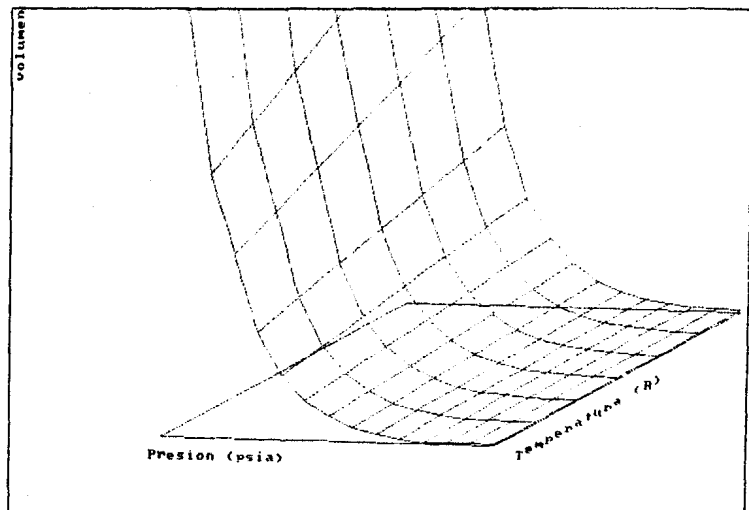


FIG. 4.11 SUPERFICIE EXPERIMENTAL PARA EL ETILENO

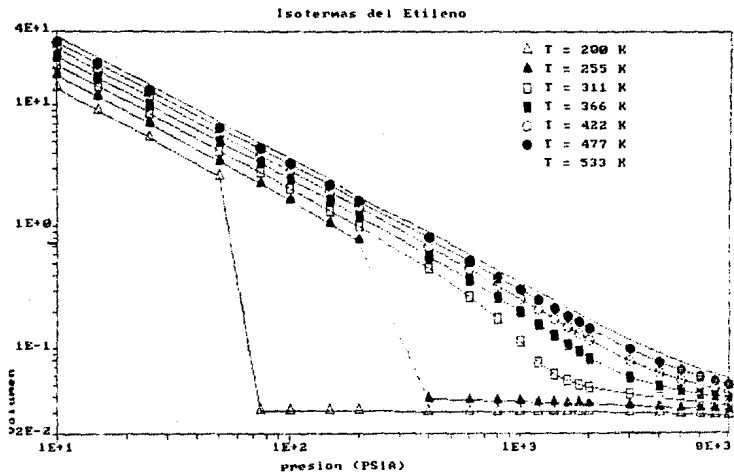


FIG. 4.12 ISOTERMAS DEL ETILENO

PRESIA	TEMPERATURA		ETILENU						
	F	K	VALEF	VI	WESV	VZ	XESV	V3	XESV
10 LB/IN ²	100 °F	311.11	21.3344	15.51636	0.05	20.27146	0.05	20.27146	0.37
	200 °F	366.67	25.17525	23.51590	0.07	24.06100	0.04	24.06100	0.34
	300 °F	422.22	29.07949	27.51376	0.05	27.05160	0.04	27.05160	0.52
	400 °F	477.78	32.05540	31.50630	0.04	31.05400	0.04	31.05400	0.52
	500 °F	533.33	36.07511	36.50405	0.05	36.50405	0.02	36.50405	0.13
25 LB/IN ²	100 °F	311.11	6.46976	6.21571	0.05	6.46976	0.00	6.46976	0.00
	200 °F	366.67	10.04474	9.67850	0.04	9.90770	0.02	9.90770	0.01
	300 °F	422.22	11.56937	11.14140	0.04	11.26737	0.05	11.26737	0.01
	400 °F	477.78	13.12624	12.64140	0.04	12.92453	0.04	12.92450	0.04
	500 °F	533.33	14.66335	14.06410	0.04	14.06410	0.04	14.06410	0.04
100 LB/IN ²	100 °F	311.11	2.06536	2.21291	(0.07)	2.25620	(0.09)	2.25620	(0.09)
	200 °F	366.67	2.47120	2.53920	(0.01)	2.55210	(0.04)	2.55000	(0.03)
	300 °F	422.22	2.86961	2.84114	0.01	2.86470	0.00	2.85700	0.00
	400 °F	477.78	3.26120	3.15114	0.02	3.16245	0.03	3.17000	0.03
	500 °F	533.33	3.65099	3.46470	0.05	3.46470	0.05	3.50000	0.02
150 LB/IN ²	100 °F	311.11	1.35977	1.51517	(0.12)	1.55154	(0.13)	1.43100	(0.06)
	200 °F	366.67	1.63965	1.70920	(0.05)	1.71214	(0.06)	1.72000	(0.06)
	300 °F	422.22	1.95972	1.90270	(0.00)	1.91065	(0.01)	1.91000	(0.01)
	400 °F	477.78	2.16450	2.10111	0.02	2.10770	0.01	2.10770	0.01
	500 °F	533.33	2.41700	2.29600	0.05	2.29600	0.05	2.35000	0.03
500 LB/IN ²	100 °F	311.11	0.34225	0.40547	(0.41)	0.40000	(0.41)	0.40000	0.73
	200 °F	366.67	0.43959	0.53444	(0.19)	0.53360	(0.18)	0.54000	0.01
	300 °F	422.22	0.54290	0.59330	(0.07)	0.59257	(0.07)	0.59300	0.01
	400 °F	477.78	0.61185	0.62025	(0.00)	0.61000	(0.00)	0.60500	0.00
	500 °F	533.33	0.71515	0.66120	0.05	0.66120	0.05	0.62000	0.12

TABLE 4. P

ESTRUCO									
PRESION	F	x	VA. EF.	VI	MGSV	Vz	MGSV	V3	MGSV
1000 LB/IN2	100 wt	3.1 11	0 11119	0 29229	11 23	0 24970	11 21	0 14200	(0 25)
	200 wt	366 67	0 13799	0 27376	(0 26)	0 27112	(0 27)	0 21154	(0 07)
	300 wt	422 22	0 22543	0 29620	(0 16)	0 29295	(0 15)	0 26590	(0 04)
	400 wt	477 76	0 30447	0 31964	(0 04)	0 31690	(0 04)	0 31599	(0 04)
	500 wt	533 33	0 38311	0 34011	0 03	0 33811	0 03	0 34120	0 03
1500 LB/IN2	100 wt	3.1 11	0 05728	0 17304	(2 01)	0 16938	(1 56)	0 03555	0 55
	200 wt	366 67	0 11860	0 18514	(0 50)	0 18115	(0 57)	0 04630	0 60
	300 wt	422 22	0 16110	0 19625	(0 23)	0 19352	(0 22)	0 13115	0 17
	400 wt	477 76	0 19765	0 21135	(0 07)	0 21062	0 07	0 21062	(0 07)
	500 wt	533 33	0 23954	0 22443	0 03	0 22443	0 03	0 22443	0 03
2000 LB/IN2	100 wt	3.1 11	0 04773	0 13112	(1 75)	0 12959	(1 69)	0 04106	0 12
	200 wt	366 67	0 06214	0 14476	(0 71)	0 12834	(0 66)	0 05600	0 29
	300 wt	422 22	0 11686	0 14967	(0 26)	0 14651	(0 27)	0 12840	(0 16)
	400 wt	477 76	0 14912	0 15863	(0 05)	0 15600	(0 06)	0 14600	(0 01)
	500 wt	533 33	0 17214	0 16761	0 03	0 16761	0 03	0 15600	0 09
4000 LB/IN2	100 wt	3.1 11	0 03957	0 06214	(1 75)	0 06220	(0 70)	0 04650	(0 19)
	200 wt	366 67	0 04521	0 07155	(0 46)	0 07047	(0 45)	0 06620	(0 36)
	300 wt	422 22	0 05084	0 07572	(0 26)	0 07475	(0 25)	0 07007	(0 17)
	400 wt	477 76	0 07715	0 07569	(0 03)	0 07901	(0 02)	0 07475	0 03
	500 wt	533 33	0 09068	0 06329	0 00	0 06329	0 00	0 06329	0 00
6000 LB/IN2	100 wt	3.1 11	0 03600	0 04646	(0 29)	0 04406	(0 24)	0 04226	(0 17)
	200 wt	366 67	0 04211	0 04987	(0 16)	0 04746	(0 13)	0 04311	(0 02)
	300 wt	422 22	0 04527	0 05000	(0 05)	0 05000	(0 04)	0 04746	0 01
	400 wt	477 76	0 05000	0 05300	0 10	0 05156	0 10	0 05000	0 10
	500 wt	533 33	0 05755	0 05729	0 15	0 05529	0 10	0 06091	(0 02)
					-0 16666			-0 16297	0 45105

TABLA 4.9 CONTINUACION

Como se puede observar, la combinación de directrices que permite mayor acercamiento a los datos experimentales es la siguiente:

$T1 = 422.2$	$A1 = -1.038$	$B1 = 2.324$
$T2 = 533.3$	$A2 = -1.010$	$B2 = 2.381$

TABLA 4.10

Empleando los valores obtenidos para el volumen de acuerdo a estas constantes se genera la curva PVT (fig. 4.13), la cual se puede comparar con la experimental (fig.4.11) con lo que se puede apreciar en forma gráfica la gran similitud entre ambas.

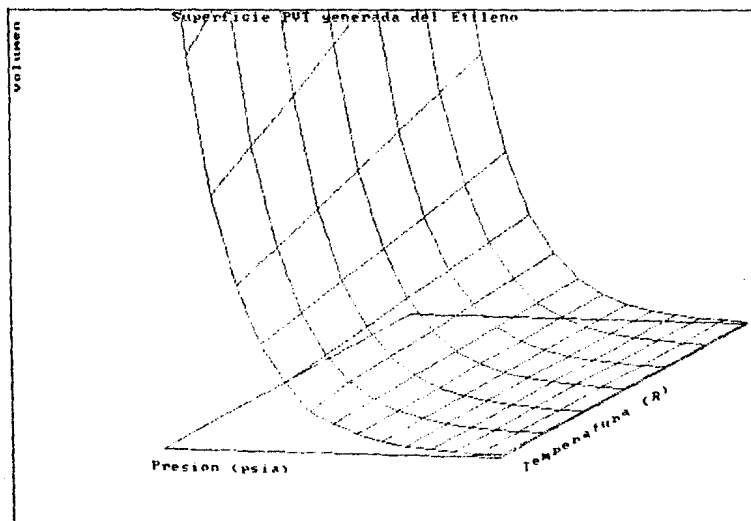


FIG. 4.13 SUPERFICIE GENERADA PARA EL ETILENO

4.2.3 SUPERFICIE Y ALGORITMO PARA EL CO₂

En base a la misma secuencia de cálculo y estimación de resultados que ha sido utilizada para el Metano, Nitrógeno y Etileno se estudia el CO₂.

En la fig. 4.14 se muestra la superficie PVT de datos experimentales y en la figura 4.15 la transformación de las isothermas a la forma lineal empleando las coordenadas LOG-LOG, la tabla 4.9 se indican los coeficientes obtenidos para cada una de ellas.

TEMPERATURA K	ORDENADA AL ORIGEN	PENDIENTE	VARIANCIA
273	2.057	-1.139E-0	1.445E-1
373	2.292	-1.126E-0	2.882E-2
473	2.313	-1.071E-0	2.591E-3
573	2.324	-1.038E-0	6.037E-4
673	2.351	-1.021E-0	2.692E-3
773	2.381	-1.010E-0	8.393E-4

TABLA 4.11

En la tabla 4.13 se presentan los valores de volúmenes estimados según las distintas combinaciones de isothermas (tabla 4.12) como directrices comparando dichos volúmenes respecto a los experimentales, para evaluar el caso con menores desviaciones.

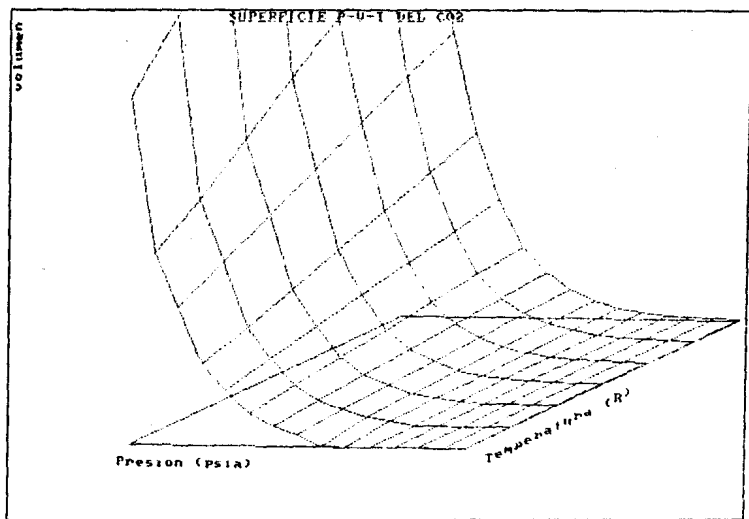


FIG. 4.14 SUPERFICIE EXPERIMENTAL DEL CO2

MODELO	V1	V2	V3
T1	311.1	422.2	366.6
T2	533.3	533.3	533.3
A1	-1.393	-1.037	-1.067
A2	-1.010	-1.010	-1.010
B1	2.724	2.326	2.309
B2	2.382	2.382	2.382

TABLA 4.12

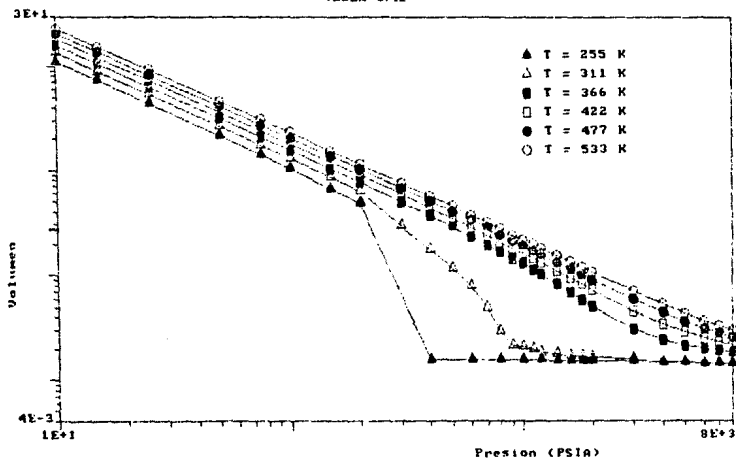


FIG 4.15 ISOTERMAS DEL CO2

CO2									
Presión	TEMPERATURA	VA. EF.	VI	KG-1	VC	KG-1	VS	KG-1	
	° F								
10 LB/IN ²	0 in	211.11	11.4470	11.3270	10.921	11.9220	10.961	7.9550	0.17
	50 in	235.50	11.1140	11.3020	0.961	11.5000	0.961	8.2210	0.20
	100 in	260.00	10.8770	11.2800	0.11	11.2570	0.099	10.5030	0.21
	150 in	284.40	10.6420	11.2600	0.15	11.7710	0.11	11.0000	0.20
	200 in	308.90	10.4070	11.2420	0.19	11.7560	0.17	11.2150	0.20
	250 in	333.40	10.1740	11.2260	0.21	11.7400	0.20	11.5010	0.21
300 in	357.90	9.9430	11.2120	0.24	11.7250	0.22	11.6670	0.21	
25 LB/IN ²	0 in	211.11	4.4170	5.2070	10.201	5.2500	10.151	1.5500	0.15
	50 in	235.50	5.2170	5.0470	10.061	5.0100	10.001	4.0500	0.16
	100 in	260.00	6.0170	5.5370	0.00	5.0070	0.01	4.5100	0.24
	150 in	284.40	6.7900	6.2400	0.07	5.2400	0.07	5.0000	0.25
	200 in	308.90	7.5640	6.7070	0.12	6.0000	0.12	5.5000	0.26
	250 in	333.40	8.3390	7.0500	0.16	7.0000	0.16	6.0000	0.27
300 in	357.90	9.1140	7.4070	0.19	7.5000	0.19	6.5000	0.28	
100 LB/IN ²	0 in	211.11	1.0540	1.6500	10.571	1.5500	10.451	1.0700	10.01
	50 in	235.50	1.2000	1.7100	10.351	1.5500	10.251	1.1000	0.06
	100 in	260.00	1.4100	1.7700	10.201	1.5700	10.131	1.3000	0.15
	150 in	284.40	1.6000	1.8500	10.051	1.7000	10.001	1.4100	0.16
	200 in	308.90	1.8070	1.9100	10.011	1.8000	0.05	1.5200	0.19
	250 in	333.40	2.0010	1.9600	0.06	1.8500	0.09	1.6300	0.21
300 in	357.90	2.1700	1.9900	0.11	1.9000	0.14	1.7000	0.23	
150 LB/IN ²	0 in	211.11	0.8700	1.1710	10.731	1.0500	10.571	0.7570	10.11
	50 in	235.50	0.9200	1.2070	10.461	1.1000	10.261	0.8270	10.001
	100 in	260.00	0.9700	1.2440	10.251	1.1100	10.101	0.9000	0.07
	150 in	284.40	1.0100	1.2810	10.151	1.1970	10.051	0.9700	0.12
	200 in	308.90	1.0400	1.3180	10.081	1.2000	0.08	1.0400	0.16
	250 in	333.40	1.0600	1.3550	0.06	1.2000	0.07	1.1100	0.19
300 in	357.90	1.0700	1.3900	0.05	1.2000	0.12	1.1800	0.22	

TABLA 4. 19

PRESION	TEMPERATURA		GAS							
	F	K	VA. ESP.	V.	MOLES	V2	MOLES	V3	MOLES	
400	LD/1AL	0 00	211.14	0.4572	0.5070	11.36	0.4370	126.02	0.3220	119.53
		90 00	255.50	0.4774	0.5160	11.60	0.4410	126.61	0.3240	119.25
		180 00	299.00	0.5020	0.5190	11.82	0.4450	127.00	0.3250	119.00
		270 00	344.00	0.4900	0.5230	12.00	0.4400	127.00	0.3250	119.00
		360 00	389.00	0.4550	0.5410	12.10	0.4300	127.00	0.3190	119.00
		450 00	433.00	0.5050	0.5470	12.00	0.4200	127.00	0.3100	119.00
1000	LD/1AL	0 00	211.14	0.4554	0.2250	113.90	0.1300	111.25	0.1450	118.50
		90 00	255.50	0.4200	0.2340	114.50	0.1350	111.45	0.1500	118.45
		180 00	299.00	0.4120	0.2440	115.00	0.1390	111.70	0.1550	118.40
		270 00	344.00	0.4480	0.2580	115.50	0.1430	111.90	0.1600	118.35
		360 00	389.00	0.4700	0.2640	116.00	0.1450	112.10	0.1700	118.30
		450 00	433.00	0.4950	0.2700	116.20	0.1480	112.00	0.1750	118.25
1600	LD/1AL	0 00	211.14	0.4530	0.1550	119.00	0.1440	117.00	0.1600	118.20
		90 00	255.50	0.4500	0.1510	119.20	0.1450	117.10	0.1610	118.10
		180 00	299.00	0.4590	0.1540	119.80	0.1490	117.30	0.1650	118.00
		270 00	344.00	0.4650	0.1570	120.50	0.1510	117.50	0.1700	117.90
		360 00	389.00	0.4660	0.1580	120.80	0.1540	117.50	0.1750	117.80
		450 00	433.00	0.4740	0.1540	120.80	0.1560	117.60	0.1800	117.80
5000	LD/1AL	0 00	211.14	0.4174	0.0520	121.50	0.0400	111.50	0.0570	114.10
		90 00	255.50	0.4150	0.0570	121.80	0.0440	111.60	0.0600	114.20
		180 00	299.00	0.4140	0.0610	122.10	0.0480	111.70	0.0630	114.30
		270 00	344.00	0.4440	0.0650	122.50	0.0520	111.80	0.0670	114.40
		360 00	389.00	0.4520	0.0670	122.80	0.0540	111.90	0.0700	114.50
		450 00	433.00	0.4600	0.0680	123.00	0.0560	112.00	0.0730	114.60
TOTAL					-1.6307		-1.2511		-0.8036	

TABLA 4.13 CONTINUACION

Capitulo IV

Las mejores estimaciones segun este analisis tienen lugar con los parametros indicados en la tabla 4.14 , mediante los cuales se genero la superficie PVT (fig.4.16).

T1 = 366.6	A1 = -1.067	B1 = 2.309
T2 = 533.3	A2 = -1.010	B2 = 2.382

TABLA 4.14 CONSTANTES PARA EL CO2

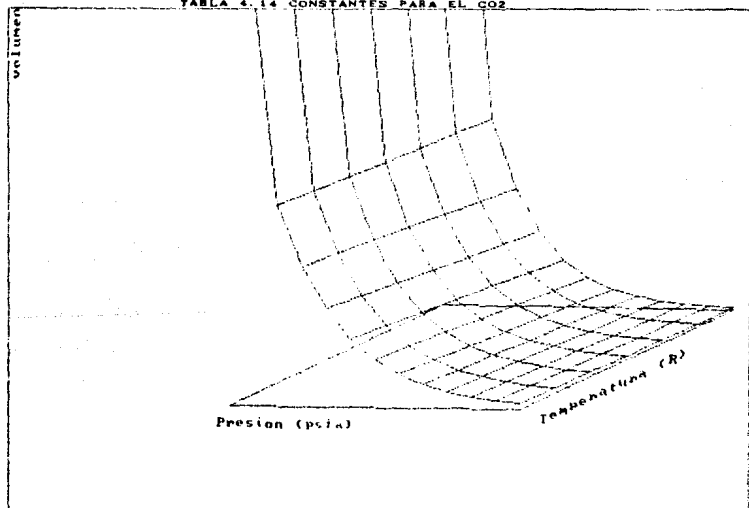


FIG 4.16 SUPERFICIE GENERADA PARA EL CO2

CONCLUSIONES

La ecuación desarrollada por el método de Generación de Superficies , presenta una forma explícita para el volumen , involucrando coeficientes propios para cada sustancia los cuales estan en función de los intervalos de presión y temperatura de la región de la superficie en estudio .

Ya que la mayor parte de los gases presenta el mismo tipo de geometría en su superficie , el algoritmo planteado tiene la ventaja de generalizarse para sustancias con distintos comportamientos termodinámicos , lo cual se pudo apreciar con desarrollo del algoritmo para el CO₂ (sustancia polar) en la cual se obtuvieron predicciones satisfactorias.

Cuando se utiliza como directriz una isoterma cercana a la temperatura crítica , se pueden observar desviaciones en la predicción por lo que no es aconsejable su uso.

Por otra parte , se puede conferir mayor exactitud en la predicción de los volúmenes si se limitan los intervalos de aplicación de las ecuaciones directrices, ya que una vez evaluados pequeños intervalos de la superficie se puede proceder a una integración de los mismos para obtener una representación global de la región.

Para evaluar cualquier otra región de la superficie PVT se debe aplicar la misma secuencia de cálculo que se ha presentado , identificando en ella los nuevos parámetros (directrices , generatriz e intervalos). En general cualquier región puede ser reproducida siempre y cuando se tenga un conocimiento completo de su geometría.

El método que se ha utilizado para generar la superficie no es el único , como se mencionó en el capítulo III ,existen algunos otros tales como la regresión polinomial o los métodos diferenciales los cuales pueden ser aplicados para el mismo efecto ,variando unicamente la secuencia de cálculo del algoritmo.

Ya que el cálculo de propiedades termofísicas resulta esencial para el diseño , operación y optimización de procesos químicos , es muy importante que los paquetes termodinámicos puedan ser accedados en forma sistemática y sencilla , por lo que a continuación se incluye un diagrama de bloques para la incorporación del desarrollo de algoritmos a un sistema de computo fig c.1.

Por último , el presente estudio puede hacerse extensible a mezclas , ya que el método de desarrollo de las ecuaciones de estado parte de la Generación de una superficie , que y en el caso de las mezclas se puede hablar de una superficie Temperatura , Presión , composición como lo muestran los siguientes diagramas , aplicando el mismo criterio de selección de parámetros , lo cual se deja para estudios posteriores (diagrama de bloques c.2).

DIAGRAMA DE BLOQUES PARA EL DESARROLLO DE ECUACIONES DE ESTADO
EMPLEANDO EL METODO DE GENERACION DE SUPERFICIES

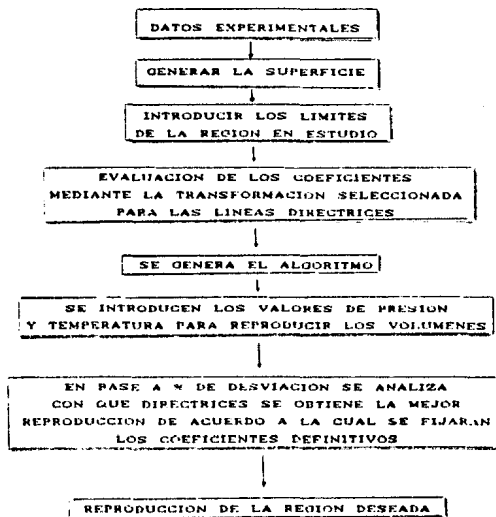
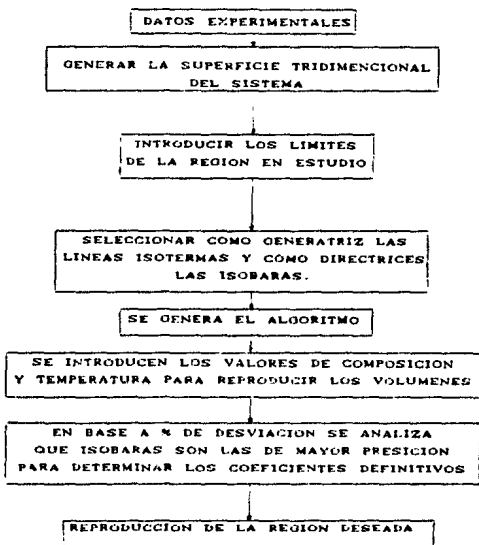
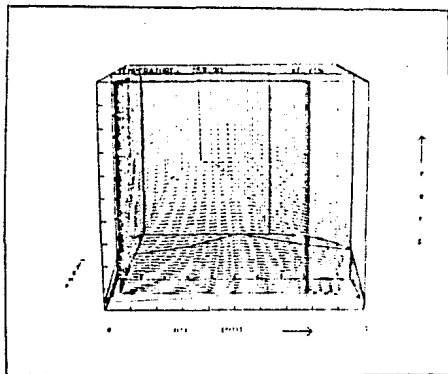


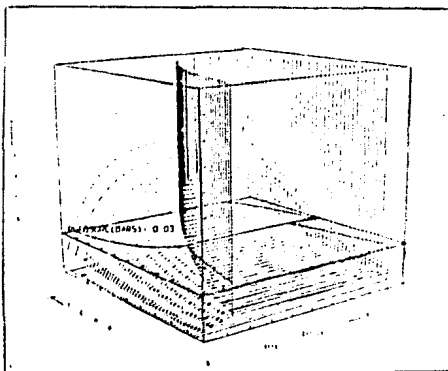
DIAGRAMA DE BLOQUES PARA EL DESARROLLO DE ECUACIONES DE ESTADO
PARA SISTEMAS DE MEZCLAS



SISTEMA CDFI2 (1) FENTANO (2)



SISTEMA METANO (1) CF4 (2)



DIAGRAMAS TRIDIMENSIONALES PARA MEZCLAS

Si analizamos los datos obtenidos mediante la ecuación desarrollada por el método de generación de superficies, respecto a ecuaciones cúbicas de estado se aprecia que a presiones superiores a 150 psia las ecuaciones cúbicas presentan una desviación considerable respecto a los datos experimentales, mientras que la ecuación desarrollada reproduce las regiones a elevadas presiones con considerable exactitud ya que la geometría en esta parte de la superficie presenta inflexiones mínimas.

Los datos fueron analizados mediante la ecuación de Patel Teja ya que la ecuación de Soave, no permite calcular volúmenes en estos intervalos de presiones elevadas. Los resultados se reportan en las tablas c.2 c.3 y c.4 para las sustancias estudiadas en el capítulo IV. En la tabla c.4 se puede apreciar que existe una desviación aun mayor en los volúmenes reproducidos para el CO₂ con la ecuación de Patel Teja ya que se trata de una sustancia polar, lo cual no se observa en la ecuación desarrollada.

NITROGENO							
PRESION	TEMPERATURA		VOL. EXP	V1 ECS. MGN	ZDES V	V2 ECS. PAT	ZDES V
	F	K					
10 Lb/in2	-80.00	211.11	14.51917	13.14360	0.09	14.10200	0.03
	0.00	255.50	17.59052	16.25450	0.09	17.12600	0.03
	80.00	300.00	20.65600	19.37230	0.06	20.19170	0.02
	160.00	344.40	23.71900	22.48320	0.05	22.90000	0.03
	240.00	388.80	26.78194	25.59410	0.04	25.70620	0.03
	320.00	433.30	29.85230	28.71190	0.04	28.50200	0.04
	400.00	477.70	32.90900	31.82280	0.03	32.27750	0.02
	480.00	522.20	35.96132	34.94000	0.03	35.42300	0.01
25 Lb/in2	-80.00	211.11	5.79683	5.14550	0.11	5.38920	0.07
	0.00	255.50	7.03069	6.33780	0.10	6.58490	0.09
	80.00	300.00	8.26160	7.53270	0.09	7.70874	0.07
	160.00	344.40	9.49019	8.72500	0.08	8.98510	0.05
	240.00	388.80	10.71920	9.91730	0.07	10.18280	0.05
	320.00	433.30	11.94690	11.11220	0.07	11.20830	0.06
	400.00	477.70	13.17340	12.30450	0.07	12.25090	0.07
	480.00	522.20	14.39612	13.49440	0.06	14.01814	0.03
100 Lb/in2	-80.00	211.11	1.43590	1.24540	0.12	1.23000	0.14
	0.00	255.50	1.75090	1.52460	0.13	1.59060	0.09
	80.00	300.00	2.06200	1.80450	0.12	1.87440	0.09
	160.00	344.40	2.37318	2.08380	0.12	2.10570	0.11
	240.00	388.80	2.68243	2.36310	0.12	2.34060	0.13
	320.00	433.30	2.99100	2.64300	0.12	2.62430	0.12
	400.00	477.70	3.29914	2.92230	0.11	2.90750	0.12
	480.00	522.20	3.60705	3.20220	0.11	3.19120	0.12
400 Lb/in2	-80.00	211.11	0.34658	0.30140	0.13	0.25569	0.32
	0.00	255.50	0.43214	0.36680	0.15	0.30265	0.30
	80.00	300.00	0.51430	0.43239	0.16	0.32569	0.37
	160.00	344.40	0.59475	0.49770	0.16	0.34513	0.42
	240.00	388.80	0.67418	0.56310	0.16	0.37231	0.45
	320.00	433.30	0.75294	0.62860	0.17	0.38695	0.49
	400.00	477.70	0.83126	0.69400	0.17	0.45621	0.45
	480.00	522.20	0.90925	0.75950	0.16	0.56841	0.37

**TABLA C. 2 COMPARACION DE VOLUMENES OBTENIDOS CON LA ECUACION
 DESARROLLADA POR METODO DE GENERACION DE SUPERFICIES Y LA ECUACION
 DE PATEL - TEJA PARA EL NITROGENO**

N I T R O G E N O

PRESION	TEMPERATURA		VOL. EXP	V1	ZDES	V2	ZDES
	F	K					
1000 Lb/in	-80.00	211.11	0.13180	0.11800	0.10	0.05698	0.57
	0.00	255.50	0.17089	0.14310	0.16	0.07089	0.59
	80.00	300.00	0.20660	0.16819	0.19	0.10660	0.48
	160.00	344.40	0.24083	0.19320	0.20	0.14083	0.42
	240.00	388.80	0.27401	0.21820	0.20	0.17403	0.36
	320.00	433.20	0.30660	0.24334	0.21	0.19875	0.35
	400.00	477.70	0.33886	0.26838	0.21	0.20570	0.39
	480.00	522.20	0.37675	0.29347	0.21	0.22075	0.40
1600 Lb/in ²	-80.00	211.11	0.08130	0.07290	0.10	0.12560	(0.54)
	0.00	255.50	0.10770	0.08620	0.18	0.18975	(0.76)
	80.00	300.00	0.13138	0.10362	0.21	0.25897	(0.97)
	160.00	344.40	0.15365	0.11890	0.23	0.26680	(0.75)
	240.00	388.80	0.17510	0.13420	0.23	0.29874	(0.71)
	320.00	433.20	0.19602	0.14950	0.24	0.31590	(0.61)
	400.00	477.70	0.21650	0.16485	0.24	0.33713	(0.56)
	480.00	522.20	0.23680	0.18018	0.24	0.44590	(0.88)
3000 Lb/in ²	-80.00	211.11	0.04740	0.03837	0.19		1.00
	0.00	255.50	0.06187	0.04628	0.25		1.00
	80.00	300.00	0.07523	0.05422	0.28		1.00
	160.00	344.40	0.08770	0.06214	0.29		1.00
	240.00	388.80	0.09976	0.07000	0.30		1.00
	320.00	433.20	0.11137	0.07798	0.30		1.00
	400.00	477.70	0.12271	0.08590	0.30		1.00
	480.00	522.20	0.13386	0.09383	0.30		1.00
6000 Lb/in ²	-80.00	211.11	0.03188	0.01898	0.41		1.00
	0.00	255.50	0.03871	0.02270	0.41		1.00
	80.00	300.00	0.04550	0.02650	0.42		1.00
	160.00	344.40	0.05205	0.03037	0.42		1.00
	240.00	388.80	0.05835	0.03420	0.41		1.00
	320.00	433.20	0.06446	0.03800	0.41		1.00
	400.00	477.70	0.07040	0.04180	0.41		1.00
	480.00	522.20	0.07621	0.04570	0.40		1.00

TABLA C. 2 CONTINUACION

ETILENO							
PRESION	TEMPERATURA		VOL. EXP	V1	ZDES1	V2	ZDES2
	F	K					
10 Lb/in ²	100.00	311.11	21.33342	20.27240	0.05	19.03650	0.11
	200.00	366.67	25.17525	24.08200	0.04	21.56988	0.14
	300.00	422.22	29.02945	27.89160	0.04	23.68950	0.18
	400.00	477.78	32.85540	31.69400	0.04	27.59370	0.16
	500.00	533.33	36.67511	35.50405	0.03	31.58900	0.14
25 Lb/in ²	100.00	311.11	8.48975	8.46800	0.00	7.57814	0.11
	200.00	366.67	10.04174	9.86700	0.02	8.89745	0.11
	300.00	422.22	11.58537	11.26730	0.03	10.23600	0.12
	400.00	477.78	13.12524	12.66450	0.04	11.08900	0.16
	500.00	533.33	14.66399	14.05420	0.04	13.14760	0.10
100 Lb/in ²	100.00	311.11	2.06536	2.25620	(0.09)	2.00985	0.03
	200.00	366.67	2.47128	2.55000	(0.03)	2.42560	0.02
	300.00	422.22	2.86961	2.86700	0.00	2.68940	0.06
	400.00	477.78	3.26120	3.17000	0.03	3.10258	0.05
	500.00	533.33	3.65099	3.56400	0.02	3.35742	0.08
150 Lb/in ²	100.00	311.11	1.35077	1.43180	(0.06)	1.30459	0.03
	200.00	366.67	1.62965	1.72300	(0.06)	1.72394	(0.06)
	300.00	422.22	1.89972	1.91600	(0.01)	1.91603	(0.01)
	400.00	477.78	2.16496	2.14770	0.01	2.10779	0.03
	500.00	533.33	2.42720	2.35200	0.03	2.29988	0.05
500 Lb/in ²	100.00	311.11	0.34423	0.29430	0.15	0.48460	(0.41)
	200.00	366.67	0.45093	0.44846	0.01	0.53380	(0.18)
	300.00	422.22	0.54398	0.53380	0.02	0.61259	(0.13)
	400.00	477.78	0.63115	0.59829	0.05	0.75821	(0.20)
	500.00	533.33	0.71515	0.68320	0.04	0.82457	(0.15)

TABLA C.3 COMPARACION DE VOLUMENES OBTENIDOS CON LA ECUACION
 DESARROLLADA POR METODO DE GENERACION DE SUPERFICIES Y LA ECUACION
 DE PATEL - TEJA PARA EL ETILENO

PREISION	F	K	VOL. EXP	V1	DESIV	V2	IDESV
1000 Lb/in2	100.00	311.11	0.111715	0.14100	0.025	0.14587	0.0291
	200.00	366.67	0.12799	0.11105	0.037	0.12711	0.0371
	300.00	422.22	0.13532	0.12570	0.048	0.14121	0.044
	400.00	477.78	0.14447	0.13155	0.058	0.15079	0.0541
	500.00	533.33	0.15071	0.13412	0.067	0.15789	0.0639
1500 Lb/in2	100.00	311.11	0.11572	0.12555	0.035	0.13754	0.0384
	200.00	366.67	0.11863	0.11391	0.049	0.12734	0.0411
	300.00	422.22	0.12116	0.11015	0.061	0.12678	0.0526
	400.00	477.78	0.12782	0.12166	0.077	0.14784	0.0761
	500.00	533.33	0.13054	0.12748	0.090	0.14784	0.0884
2000 Lb/in2	100.00	311.11	0.04773	0.04188	0.012	0.11216	0.0128
	200.00	366.67	0.08214	0.05560	0.029	1.09	1.09
	300.00	422.22	0.11688	0.10540	0.046	1.06	1.06
	400.00	477.78	0.14612	0.14820	0.061	1.06	1.06
	500.00	533.33	0.17214	0.15860	0.075	1.06	1.06
4000 Lb/in2	100.00	311.11	0.02697	0.04650	0.019	0.12759	0.0251
	200.00	366.67	0.04921	0.09062	0.023	1.09	1.09
	300.00	422.22	0.06094	0.07047	0.037	1.06	1.06
	400.00	477.78	0.07718	0.07475	0.047	1.06	1.06
	500.00	533.33	0.09086	0.08029	0.056	1.06	1.06
5000 Lb/in2	100.00	311.11	0.03656	0.04228	0.017	1.06	1.06
	200.00	366.67	0.04211	0.04211	0.021	1.06	1.06
	300.00	422.22	0.04927	0.04748	0.032	1.06	1.06
	400.00	477.78	0.05868	0.05289	0.046	1.06	1.06
	500.00	533.33	0.06755	0.04292	0.061	1.06	1.06

TABLE C. 3 CONTINUACION

		CO2				
TEMPERATURA		VOL. EXP	V1	COESV	V2	COESV
F		K				

Lb/in2						
10	0.00	211.11	11.14376	11.32270	(0.02)	11.21284
	50.00	255.50	17.11144	17.25250	0.06	17.06076
	100.00	300.00	25.02760	25.38309	0.11	25.26976
	150.00	344.40	37.02711	37.40743	0.15	37.25111
	200.00	388.80	51.98259	52.47721	0.17	52.30580
	250.00	433.20	70.54208	71.14470	0.21	70.93460
	300.00	477.60	92.99547	93.71450	0.24	93.47040
25	0.00	211.11	4.41220	5.25876	(0.20)	5.25810
	50.00	255.50	5.21752	5.84260	(0.08)	5.81250
	100.00	300.00	6.61150	5.99570	0.00	5.96870
	150.00	344.40	8.79997	6.74820	0.07	6.72460
	200.00	388.80	12.58416	8.72270	0.12	8.68120
	250.00	433.20	17.34916	10.55200	0.16	10.52720
	300.00	477.60	24.55477	13.40970	0.19	13.37850
100	0.00	211.11	1.05146	1.35140	(0.37)	1.35116
	50.00	255.50	1.26861	1.71240	(0.25)	1.59890
	100.00	300.00	1.47690	1.77730	(0.20)	1.57260
	150.00	344.40	1.68760	1.87920	(0.09)	1.87230
	200.00	388.80	1.88175	1.90230	(0.01)	1.87260
	250.00	433.20	2.06217	1.96520	0.06	1.97260
	300.00	477.60	2.22952	2.02820	0.11	2.07260
150	0.00	211.11	0.67530	1.15110	(0.70)	1.35950
	50.00	255.50	0.82923	1.29760	(0.46)	1.25950
	100.00	300.00	0.97077	1.24420	(0.28)	1.30950
	150.00	344.40	1.11010	1.23940	(0.15)	1.26950
	200.00	388.80	1.24790	1.21690	(0.09)	1.26950
	250.00	433.20	1.38220	1.20370	0.02	1.26950
	300.00	477.60	1.51562	1.28930	0.08	1.26950

**TABLA C. 4 COMPARACION DE VOLUMENES OBTENIDOS CON LA ECUACION
 DESARROLLADA POR METODO DE GENERACION DE SUPERFICIES Y LA ECUACION
 DE PATEL - TEJA PARA EL CO2**

		COC					
		TEMPERATURA	VOL. EXP	V1	IDESV	V2	IDESV
		F	K				
PRESION		-----					
Lb/in ²							
400	0.00	211.11	0.02572	0.05087	(2.24)	0.10373	(7.51)
	80.00	255.50	0.27740	0.51490	(6.86)	0.67750	(1.44)
	160.00	300.00	0.34226	0.52510	(6.52)	0.77790	(1.27)
	240.00	344.40	0.41059	0.53350	(6.22)	0.88790	(1.22)
	320.00	388.80	0.45559	0.54150	(6.19)	1.02790	(1.26)
	400.00	433.20	0.50894	0.54970	(6.08)	1.19790	(1.25)
	480.00	477.70	0.58101	0.55790	6.01	1.39790	(1.49)
1000	0.00	211.11	0.10354	0.23250	(13.96)	0.36750	(23.94)
	80.00	255.50	0.02063	0.23740	(10.31)	0.58740	(27.47)
	160.00	300.00	0.11220	0.23440	(1.08)	1.38759	(11.30)
	240.00	344.40	0.14436	0.23540	(6.52)	1.68759	(12.08)
	320.00	388.80	0.17090	0.23640	(6.38)	2.38759	(12.97)
	400.00	433.20	0.19511	0.23730	(6.22)	2.88759	(13.80)
	480.00	477.70	0.21759	0.23830	(6.09)	3.38759	(14.54)
1600	0.00	211.11	0.01538	0.15530	(9.10)	0.62410	(39.58)
	80.00	255.50	0.01867	0.15510	(7.22)	1.05479	(54.90)
	160.00	300.00	0.03495	0.15490	(1.82)	1.00	1.00
	240.00	344.40	0.08088	0.15470	(0.91)	1.00	1.00
	320.00	388.80	0.10045	0.15450	(0.54)	1.00	1.00
	400.00	433.20	0.11740	0.15440	(0.32)	1.00	1.00
	480.00	477.70	0.13294	0.15420	(0.16)	1.00	1.00
5000	0.00	211.11	0.01474	0.05820	(2.95)	1.00	1.00
	80.00	255.50	0.01654	0.05750	(2.48)	1.00	1.00
	160.00	300.00	0.01946	0.05670	(1.91)	1.00	1.00
	240.00	344.40	0.02446	0.05600	(1.29)	1.00	1.00
	320.00	388.80	0.03052	0.05520	(0.81)	1.00	1.00
	400.00	433.20	0.03644	0.05450	(0.50)	1.00	1.00
	480.00	477.70	0.04208	0.05370	(0.28)	1.00	1.00

TABLE C. 4 CONTINUACION

APENDICE A

DATOS P-V-T PARA METANO

Thermodynamic Properties of Methane (Continued)

P	T	-100	-80	-60	-40	-20	0	20	40
1	V	230.9225A	263.5786A	285.5277A	304.7270A	324.2416A	337.2862A	349.8070A	353.5787A
	H	-1815.165	-1805.548	-1795.747	-1785.800	-1775.477	-1765.226	-1755.407	-1746.350
	S	2.9037	2.9694	2.9943	2.9781	2.9303	3.0274	3.0514	3.0673
	PPR	1.0079	1.0918	1.0912	1.0746	1.0227	1.0312	1.0516	1.0629
1P	V	23.97356	25.31224	26.44918	27.21768	27.85827	28.40963	28.88611	29.30325
	H	-18.16.17	-1800.115	-1790.117	-1780.100	-1770.063	-1760.000	-1750.000	-1740.000
	S	2.6171	2.6815	2.6927	2.6758	2.7341	2.7702	2.7898	2.7968
	PPR	0.9957	0.9956	0.9970	0.9976	0.9927	0.9986	0.9983	0.9987
14.7	V	16.27760	17.13858	18.1229A	19.2412A	20.3949A	20.7653	21.7880A	22.7041A
	H	-1816.45	-1810.47	-1804.73	-1800.27	-1796.02	-1792.04	-1788.28	-1784.78
	S	2.5880	2.6558	2.6776	2.6687	2.6978	2.7002	2.7002	2.7002
	PPR	0.9936	0.9947	0.9953	0.9960	0.9976	0.9975	0.9976	0.9976
15	V	15.0456A	16.25011	17.75142	19.44407	21.34661	23.47723	25.84713	27.24651
	H	-1816.47	-1810.42	-1804.34	-1800.22	-1796.70	-1793.70	-1791.20	-1789.03
	S	2.5663	2.6429	2.6711	2.6621	2.6953	2.6976	2.7003	2.7003
	PPR	0.9935	0.9945	0.9953	0.9963	0.9984	0.9984	0.9984	0.9984
25	V	6.9575A	10.07037	15.61802	11.16117	11.70357	12.24576	12.78730	13.32815
	H	-1817.08	-1810.85	-1804.85	-1800.86	-1796.85	-1792.81	-1788.74	-1784.63
	S	2.5019	2.5736	2.6530	2.6771	2.6516	2.6976	2.6955	2.6957
	PPR	0.9890	0.9917	0.9921	0.9931	0.9940	0.9948	0.9956	0.9962
80	V	4.70823	4.98876	5.26689	5.54280	5.81622	6.02054	6.16195	6.30083
	H	-1818.55	-1810.30	-1802.05	-1793.78	-1785.47	-1777.11	-1768.80	-1760.48
	S	2.4133	2.4874	2.5782	2.6347	2.6136	2.6567	2.6586	2.6587
	PPR	0.9782	0.9812	0.9838	0.9862	0.9883	0.9905	0.9923	0.9938
75	V	3.10206	3.29214	3.48781	3.68743	3.89123	4.09944	4.27710	4.43608
	H	-1820.27	-1810.27	-1800.29	-1790.31	-1780.31	-1770.31	-1760.31	-1750.30
	S	2.3402	2.3877	2.4337	2.4384	2.4627	2.4848	2.5048	2.5223
	PPR	0.9671	0.9710	0.9739	0.9769	0.9792	0.9816	0.9831	0.9850
100	V	2.29880	2.44423	2.60014	2.73066	2.87211	3.01457	3.15730	3.29101
	H	-1821.88	-1811.56	-1801.52	-1791.08	-1780.36	-1769.33	-1758.00	-1746.47
	S	2.2317	2.3006	2.3729	2.4000	2.4088	2.4487	2.4600	2.4615
	PPR	0.9561	0.9626	0.9670	0.9724	0.9760	0.9791	0.9818	0.9845
150	V	1.49811	1.59586	1.69532	1.79348	1.89051	1.98554	2.07889	2.17065
	H	-1824.82	-1813.91	-1803.31	-1792.30	-1781.68	-1770.48	-1758.75	-1746.48
	S	2.2054	2.2763	2.3513	2.3869	2.3717	2.3968	2.4121	2.4190
	PPR	0.9366	0.9461	0.9521	0.9587	0.9622	0.9658	0.9688	0.9713
200	V	1.08887	1.17074	1.24888	1.32486	1.39955	1.47367	1.54652	1.61780
	H	-1826.19	-1814.95	-1803.74	-1792.05	-1780.02	-1767.35	-1754.07	-1740.16
	S	2.1736	2.2433	2.3111	2.3577	2.3327	2.3568	2.3708	2.4103
	PPR	0.9129	0.9258	0.9366	0.9451	0.9524	0.9586	0.9638	0.9683
300	V	0.69427	0.74819	0.80077	0.85222	0.90283	0.95190	1.01118	1.06130
	H	-1830.31	-1821.07	-1811.77	-1802.66	-1793.27	-1783.68	-1773.76	-1763.50
	S	2.1392	2.1916	2.2411	2.2887	2.2748	2.2978	2.3122	2.3458
	PPR	0.8772	0.8895	0.9053	0.9183	0.9292	0.9386	0.9467	0.9574
403	V	0.47951	0.52966	0.57922	0.62701	0.67338	0.71833	0.76150	0.78276
	H	-1843.30	-1829.91	-1817.27	-1804.81	-1792.87	-1780.41	-1767.48	-1754.03
	S	2.1107	2.1633	2.2156	2.2687	2.2319	2.2519	2.2676	2.3033
	PPR	0.8576	0.8637	0.8768	0.8881	0.8982	0.9072	0.9147	0.9276
505	V	0.35277	0.38899	0.42401	0.45830	0.49161	0.52400	0.55421	0.58184
	H	-1852.81	-1837.23	-1822.33	-1807.23	-1791.87	-1776.15	-1760.00	-1743.41
	S	2.0807	2.1014	2.1184	2.1377	2.1685	2.2211	2.2485	2.2728
	PPR	0.7959	0.8162	0.8366	0.8569	0.8819	0.8998	0.9118	0.9227
600	V	0.28614	0.31012	0.33681	0.36381	0.41995	0.44590	0.47596	0.50037
	H	-1863.62	-1846.52	-1830.07	-1813.95	-1797.43	-1780.23	-1762.37	-1743.78
	S	2.0181	2.0284	2.0414	2.0551	2.1057	2.1137	2.2207	2.2448
	PPR	0.7747	0.7873	0.8148	0.8444	0.8618	0.8798	0.8991	0.9071
785	V	0.19488	0.22690	0.26285	0.31568	0.34844	0.37323	0.39865	0.42502
	H	-1874.31	-1855.80	-1837.10	-1822.00	-1807.81	-1794.36	-1781.81	-1769.77
	S	1.9615	2.0260	2.0688	2.1050	2.1380	2.1678	2.1948	2.2204
	PPR	0.7808	0.7982	0.8295	0.8615	0.8801	0.8910	0.8787	0.9038

Thermodynamic Properties of Methane (Continued)

P	T	-100	-80	-60	-40	-20	0	20	40
800	V	0.15091	0.18408	0.23278	0.29884	0.38290	0.48826	0.61658	0.76908
	H	-1752.24	-1856.14	-1945.10	-1992.20	-1992.14	-1928.02	-1758.57	-1572.40
	S	1.9485	1.9840	2.0367	2.0774	2.1124	2.1434	2.1719	2.1985
	F ₂₀	0.5581	3.7125	7.5652	0.7306	7.4140	0.8625	3.8027	3.4704
900	V	0.20555	0.25320	0.31945	0.39458	0.47811	0.57057	0.67198	0.78166
	H	-1731.28	-1870.19	-1955.14	-1979.19	-1914.76	-1801.90	-1549.70	-1276.14
	S	1.7081	1.8494	2.0040	2.1507	2.2881	2.4131	2.5158	2.5986
	F ₂₀	0.4090	3.5798	7.7277	0.7484	7.7741	1.0244	3.3475	3.9902
1000	V	0.27139	0.32775	0.39824	0.47821	0.56791	0.66643	0.77176	0.88159
	H	-1744.79	-1848.72	-1931.83	-1987.24	-1924.51	-1804.59	-1513.24	-1177.41
	S	1.47549	1.60137	1.74300	1.8766	2.0051	2.1257	2.2217	2.2897
	F ₂₀	0.5502	3.6488	7.6708	0.7628	7.7778	1.0071	3.4118	3.9520
1100	V	0.34718	0.41362	0.49142	0.57422	0.66426	0.75926	0.85469	0.95124
	H	-1757.99	-1857.17	-1934.97	-1987.97	-1924.97	-1804.97	-1513.97	-1177.97
	S	1.2130	1.3130	1.4312	1.5392	1.6392	1.7292	1.8092	1.8792
	F ₂₀	0.4370	3.6114	0.6724	0.7194	3.7002	0.7350	3.7350	0.8150
1200	V	0.43347	0.50934	0.59474	0.68458	0.77499	0.86499	0.95199	1.03499
	H	-1756.41	-1851.47	-1924.31	-1977.00	-1913.33	-1801.97	-1502.49	-1167.49
	S	1.0180	1.1187	1.2315	1.3386	1.4322	1.5091	1.5765	1.6300
	F ₂₀	0.4134	3.5412	0.6045	0.6374	3.7301	0.7738	3.8025	0.8273
1300	V	0.52983	0.61574	0.70847	0.79991	0.88797	0.96922	1.04125	1.10413
	H	-1751.47	-1842.15	-1913.10	-1965.27	-1901.24	-1801.24	-1513.75	-1171.30
	S	1.0709	1.1753	1.2930	1.3952	1.4727	1.5297	1.5766	1.6133
	F ₂₀	0.4713	3.6750	0.6750	0.7074	3.7077	0.7574	3.7856	0.8151
1400	V	0.62657	0.72250	0.81913	0.90959	0.98974	1.05977	1.11967	1.16933
	H	-1746.13	-1833.17	-1903.93	-1957.11	-1893.51	-1801.90	-1513.90	-1171.90
	S	1.0495	1.1557	1.2757	1.3797	1.4597	1.5197	1.5666	1.6033
	F ₂₀	0.4534	3.6150	0.6150	0.6474	3.6567	0.7072	3.7471	0.7974
1500	V	0.72311	0.81905	0.91384	0.99737	1.06972	1.12997	1.17627	1.21150
	H	-1741.11	-1825.10	-1895.10	-1948.10	-1884.11	-1801.11	-1513.11	-1171.11
	S	1.0274	1.1347	1.2547	1.3587	1.4387	1.4987	1.5456	1.5823
	F ₂₀	0.4314	3.5598	0.5798	0.6122	3.6522	0.6922	3.7322	0.7722
1600	V	0.81913	0.91507	1.00886	1.09051	1.15996	1.21621	1.25851	1.28777
	H	-1736.03	-1818.10	-1888.10	-1941.10	-1877.10	-1801.10	-1513.11	-1171.11
	S	1.0055	1.1138	1.2338	1.3378	1.4178	1.4778	1.5247	1.5614
	F ₂₀	0.4114	3.6033	0.5533	0.5857	3.6257	0.6357	3.7157	0.7450
1700	V	0.91457	1.01050	1.09929	1.17094	1.22539	1.26164	1.28889	1.30714
	H	-1731.00	-1811.10	-1881.10	-1934.10	-1870.10	-1801.10	-1513.11	-1171.11
	S	0.9836	1.0919	1.2119	1.3159	1.3959	1.4559	1.5028	1.5395
	F ₂₀	0.3914	3.5517	0.5337	0.5661	3.6061	0.6161	3.6961	0.7254
1800	V	1.00951	1.10544	1.18823	1.24988	1.29433	1.32058	1.33883	1.34908
	H	-1726.00	-1805.10	-1875.10	-1928.10	-1864.10	-1801.10	-1513.11	-1171.11
	S	0.9617	1.0700	1.1900	1.2940	1.3740	1.4340	1.4809	1.5176
	F ₂₀	0.3714	3.5017	0.5137	0.5461	3.5861	0.5961	3.6761	0.7054
1900	V	1.10405	1.20000	1.27679	1.32734	1.36179	1.37904	1.38729	1.38754
	H	-1721.00	-1800.10	-1870.10	-1923.10	-1859.10	-1801.10	-1513.11	-1171.11
	S	0.9400	1.0483	1.1683	1.2723	1.3523	1.4123	1.4592	1.4959
	F ₂₀	0.3514	3.4517	0.4937	0.5261	3.5661	0.5761	3.6561	0.6854
2000	V	1.20000	1.29600	1.36479	1.40534	1.42979	1.43704	1.43529	1.42454
	H	-1716.00	-1795.10	-1865.10	-1918.10	-1854.10	-1801.10	-1513.11	-1171.11
	S	0.9183	1.0266	1.1466	1.2506	1.3306	1.3906	1.4375	1.4742
	F ₂₀	0.3314	3.4017	0.4737	0.5061	3.5461	0.5561	3.6361	0.6654

Thermodynamic Properties of Methane (Continued)

P	T	-100	-80	-60	-40	-20	0	20	40
0.05	V	0.06630	0.04618	0.05018	0.07284	0.05496	0.05768	0.26064	0.07383
	H	-1767.61	-1741.98	-1736.15	-1725.07	-1716.75	-1697.21	-1676.58	-1653.81
	S	1.5977	1.6278	1.6681	1.7078	1.7484	1.7817	1.8108	1.8508
1	V	1.2701	0.8322	0.3753	0.4284	0.4808	0.5312	0.5788	0.6251
	H	0.04449	0.2663	0.04822	1.05075	0.07203	0.05818	0.05540	0.25885
	S	-1766.57	-1740.62	-1734.22	-1718.85	-1701.31	-1687.98	-1671.71	-1655.72
100	V	1.5728	1.0031	1.6514	1.0883	1.7239	1.7988	1.7643	1.0749
	H	0.2730	0.3234	0.3768	0.4693	0.4402	0.5307	0.5402	0.6284
	S	0.04363	0.04824	0.04678	0.04627	0.04493	0.05171	0.05030	0.05001
1000	V	-1760.91	-1746.19	-1731.62	-1716.25	-1701.98	-1688.98	-1671.98	-1655.87
	H	1.5870	1.4907	1.6165	1.6721	1.7337	1.7727	1.8134	1.8734
	S	0.7304	0.7320	0.7366	0.7373	0.7403	0.7401	0.7402	0.7390
10000	V	0.04305	0.04625	0.04852	0.04987	0.04937	0.34983	0.25188	0.05314
	H	-1755.95	-1742.51	-1728.07	-1713.54	-1698.98	-1684.21	-1669.35	-1654.36
	S	1.6887	1.7081	1.6878	1.6803	1.6818	1.7221	1.7888	1.7888
100000	V	0.04238	0.3368	0.3348	0.4031	0.5058	0.5573	0.6070	0.6488

P	T	60	80	100	120	140	160	180	200	
1	V	366.95127	167.07365	171.42776	167.28484	161.86470	151.31114	627.75688	610.27728	
	H	-184.200	-1721.61	-1517.27	-1571.04	-1571.04	-1571.04	-1571.04	-1571.04	-1571.04
	S	3.2888	1.6773	1.1777	1.1488	1.1457	1.1457	1.1457	1.1457	1.1457
10	V	16.73275	16.72265	17.42776	16.76370	16.11130	14.66870	62.79618	66.11568	
	H	-1516.30	-1523.71	-1527.19	-1507.11	-1491.20	-1473.87	-1454.48	-1437.10	
	S	2.9018	2.6718	2.4818	2.4818	2.4807	2.4808	2.4808	2.4808	
100	V	2.4907	2.4907	2.4907	2.4907	2.4907	2.4907	2.4907	2.4907	
	H	23.41954	74.03363	25.45752	26.38884	27.27650	28.20736	29.18047	30.21891	
	S	-1516.30	-1523.47	-1513.11	-1502.22	-1491.30	-1480.32	-1469.28	-1457.19	
1000	V	2.7537	2.7537	2.7537	2.7537	2.7537	2.7537	2.7537	2.7537	
	H	2.14627	24.08264	24.93177	25.42800	26.72532	27.62599	28.52278	29.41270	
	S	-1516.31	-1523.91	-1513.11	-1502.22	-1491.20	-1480.23	-1469.20	-1457.20	
10000	V	2.7512	2.7512	2.7512	2.7512	2.7512	2.7512	2.7512	2.7512	
	H	0.0074	0.0088	0.0087	0.0088	0.0088	0.0088	0.0088	0.0088	
	S	13.86836	14.40681	14.94482	15.48851	16.12344	16.85085	17.67978	18.61110	
100000	V	-1536.92	-1529.18	-1513.30	-1497.63	-1491.24	-1480.23	-1469.23	-1457.40	
	H	2.6876	2.6876	2.6876	2.6876	2.6876	2.6876	2.6876	2.6876	
	S	1.0005	0.4327	0.6075	0.6075	0.6075	0.6075	0.6075	0.6075	
1000000	V	5.07958	7.1812	7.43276	7.72476	7.99332	8.26887	8.55118	8.82603	
	H	-1535.94	-1528.67	-1514.75	-1497.11	-1492.07	-1480.45	-1469.23	-1457.40	
	S	2.6700	2.6700	2.6700	2.6700	2.6700	2.6700	2.6700	2.6700	
10000000	V	0.0030	0.0030	0.0030	0.0030	0.0030	0.0030	0.0030	0.0030	
	H	5.46078	4.7727	4.99608	5.13768	5.31037	5.50711	5.69771	5.86528	
	S	-1516.16	-1505.88	-1491.72	-1473.87	-1452.82	-1431.11	-1407.84	-1382.00	
100000000	V	2.5491	2.5491	2.6007	2.6007	2.6007	2.6007	2.6007	2.6007	
	H	0.1884	0.0087	0.0014	0.0027	0.0036	0.0043	0.0047	0.0056	
	S	3.61029	3.5681	3.70672	3.8687	3.9687	4.11777	4.27644	4.38175	
1000000000	V	-1537.11	-1526.30	-1515.30	-1504.37	-1493.21	-1481.47	-1469.42	-1456.88	
	H	2.8126	2.8126	2.8126	2.8126	2.8126	2.8126	2.8126	2.8126	
	S	1.2880	0.7878	0.9081	0.9081	0.9081	0.9081	0.9081	0.9081	
10000000000	V	2.27057	2.3611	2.45733	2.54024	2.60874	2.67357	2.72757	2.81003	
	H	-1518.65	-1527.78	-1516.78	-1505.63	-1494.60	-1483.19	-1471.78	-1459.80	
	S	2.6601	2.6611	2.6518	2.6415	2.6311	2.6211	2.6111	2.6000	
100000000000	V	0.0090	0.0018	0.0017	0.0017	0.0017	0.0017	0.0017	0.0017	
	H	1.64572	1.76278	1.83276	1.90158	1.97378	2.04831	2.11394	2.18388	
	S	-1519.11	-1519.11	-1519.00	-1518.90	-1518.80	-1518.74	-1518.70	-1518.60	
1000000000000	V	2.4275	2.4815	2.4861	2.4862	2.4862	2.4862	2.4862	2.4862	
	H	0.0771	0.0758	0.0788	0.0808	0.0828	0.0843	0.0854	0.0866	

12 Fluid Thermodynamic Properties for Light Petroleum Systems

Thermodynamic Properties of Methane (Continued)

P	T	80	90	100	120	140	160	180	200
370	V	1.11152	1.10511	1.20478	1.29709	1.39506	1.38775	1.40021	1.44745
	H	-1541.36	-1532.12	-1526.82	-1520.44	-1497.00	-1488.05	-1476.76	-1462.47
	S	2.3680	2.3494	2.4103	2.4308	2.4508	2.4595	2.4687	2.5088
	F/P	0.4955	0.4935	0.4978	0.4976	0.4976	0.4979	0.4979	0.4929
400	V	0.82131	0.80924	0.89641	0.93110	0.97004	1.00750	1.04381	1.07900
	H	-1565.94	-1549.07	-1523.36	-1512.70	-1503.17	-1488.94	-1476.17	-1464.96
	S	2.1270	2.1008	2.2111	2.2409	2.2612	2.2621	2.2651	2.2707
	F/P	0.7432	0.6918	0.4975	0.4925	0.4969	0.4970	0.4970	0.4971
450	V	0.66764	0.67928	0.77044	0.78051	0.77948	0.80057	0.82019	0.85190
	H	-1549.76	-1538.75	-1526.12	-1514.87	-1502.76	-1490.48	-1478.75	-1466.83
	S	2.2295	2.3181	2.3308	2.3600	2.3818	2.4018	2.4214	2.4407
	F/P	0.7322	0.6902	0.5074	0.4937	0.4981	0.4981	0.4982	0.4982
500	V	0.53201	0.54903	0.58555	0.61165	0.63778	0.66291	0.68797	0.71291
	H	-1532.95	-1521.95	-1508.10	-1497.14	-1485.16	-1473.12	-1461.21	-1449.45
	S	2.2890	2.2814	2.3136	2.3350	2.3560	2.3764	2.3963	2.4168
	F/P	0.8164	0.8241	0.8374	0.8450	0.8515	0.8572	0.8623	0.8675
700	V	0.46397	0.47344	0.49084	0.51978	0.54835	0.56659	0.58557	0.60432
	H	-1545.36	-1544.36	-1531.88	-1518.92	-1507.95	-1498.35	-1489.09	-1479.76
	S	2.2846	2.2982	2.2978	2.3136	2.3159	2.3258	2.3347	2.3434
	F/P	0.7068	0.7181	0.7278	0.7365	0.7448	0.7527	0.7602	0.7678
800	V	0.38791	0.40048	0.41648	0.43508	0.45124	0.46510	0.47894	0.49278
	H	-1547.89	-1547.12	-1534.77	-1522.20	-1510.24	-1497.98	-1486.25	-1475.03
	S	2.2736	2.2767	2.2725	2.2782	2.2813	2.2852	2.2888	2.2924
	F/P	0.7816	0.7874	0.8149	0.8282	0.8368	0.8441	0.8510	0.8578
900	V	0.34012	0.35387	0.37094	0.39077	0.41009	0.42660	0.44141	0.45628
	H	-1548.08	-1548.08	-1535.44	-1522.66	-1510.12	-1498.76	-1487.53	-1476.41
	S	2.2682	2.2787	2.2812	2.2874	2.2907	2.2936	2.2965	2.2994
	F/P	0.8827	0.8944	0.9093	0.9202	0.9288	0.9362	0.9435	0.9503
1000	V	0.30677	0.32154	0.33877	0.35810	0.37713	0.39443	0.41045	0.42641
	H	-1548.61	-1548.77	-1535.74	-1522.41	-1510.44	-1498.36	-1486.27	-1474.31
	S	2.2615	2.2714	2.2754	2.2804	2.2845	2.2881	2.2912	2.2943
	F/P	0.9377	0.9487	0.9674	0.9814	0.9914	0.9994	1.0064	1.0137
1100	V	0.27812	0.29421	0.31267	0.33370	0.35341	0.37191	0.38952	0.40711
	H	-1548.76	-1548.94	-1535.71	-1522.27	-1510.01	-1497.91	-1485.94	-1474.11
	S	2.2528	2.2628	2.2654	2.2712	2.2757	2.2797	2.2834	2.2869
	F/P	0.9853	0.9974	0.9817	0.9877	0.9912	0.9944	0.9974	0.9999
1200	V	0.25553	0.26150	0.27134	0.28370	0.30050	0.31701	0.33345	0.34984
	H	-1548.11	-1548.29	-1535.28	-1522.40	-1510.16	-1498.16	-1486.19	-1474.20
	S	2.2460	2.2560	2.2593	2.2651	2.2697	2.2740	2.2779	2.2816
	F/P	0.9467	0.9472	0.9533	0.9574	0.9618	0.9657	0.9694	0.9731
1300	V	0.22437	0.23124	0.24162	0.25430	0.27046	0.28684	0.30345	0.32008
	H	-1548.67	-1548.77	-1535.51	-1522.18	-1510.46	-1498.43	-1486.27	-1474.13
	S	2.2382	2.2482	2.2517	2.2574	2.2619	2.2661	2.2699	2.2736
	F/P	0.9147	0.9174	0.9250	0.9291	0.9320	0.9348	0.9375	0.9402
1400	V	0.20548	0.21276	0.22434	0.23870	0.25735	0.27597	0.29437	0.31264
	H	-1548.77	-1548.77	-1535.21	-1522.46	-1510.23	-1498.23	-1486.23	-1474.23
	S	2.2322	2.2422	2.2457	2.2514	2.2559	2.2601	2.2640	2.2678
	F/P	0.8757	0.8844	0.8922	0.8971	0.9015	0.9055	0.9092	0.9128
1500	V	0.18031	0.20140	0.21756	0.23297	0.25194	0.27196	0.29194	0.31188
	H	-1548.01	-1548.01	-1535.27	-1522.47	-1510.27	-1498.27	-1486.27	-1474.27
	S	2.2110	2.2217	2.2256	2.2314	2.2359	2.2401	2.2440	2.2478
	F/P	0.8177	0.8400	0.8594	0.8766	0.8917	0.9050	0.9184	0.9317
1600	V	0.17480	0.19592	0.21070	0.22626	0.24428	0.26333	0.28237	0.30141
	H	-1548.27	-1548.27	-1535.40	-1522.48	-1510.36	-1498.36	-1486.36	-1474.36
	S	2.2083	2.2190	2.2230	2.2288	2.2334	2.2376	2.2416	2.2455
	F/P	0.8041	0.8316	0.8492	0.8672	0.8852	0.9031	0.9210	0.9389
1700	V	0.16824	0.17747	0.18654	0.20101	0.21808	0.23594	0.25368	0.27141
	H	-1548.30	-1548.30	-1535.43	-1522.48	-1510.41	-1498.41	-1486.41	-1474.41
	S	2.2022	2.2124	2.2164	2.2222	2.2267	2.2309	2.2349	2.2389
	F/P	0.7908	0.8214	0.8391	0.8580	0.8767	0.8954	0.9141	0.9328

APENDICE B

DATOS P-V-T PARA NITROGENO

Thermodynamic Properties of Nitrogen (Continued)

P	T	20	40	60	80	100	120	140	160
1	M	182.76130	100.76764	146.18665	206.20551	273.91414	27.15760C	276.97619	216.22460
	H	118.841	123.87	127.28	132.74	138.76	143.77	148.59	153.00
	S	1.7066	1.8009	1.877	1.9273	1.9733	1.9947	1.9973	1.9804
	F/P	1.0530	1.0074	1.0040	1.0021	1.0017	1.0017	1.0017	1.0014
10	M	18.30500	16.11768	19.06695	20.85034	21.42557	22.16500	22.95549	23.71912
	H	118.87	123.87	127.27	132.73	138.76	143.77	148.59	153.00
	S	1.6934	1.6438	1.6747	1.6937	1.7123	1.7200	1.7200	1.7074
	F/P	1.0001	1.0001	1.0001	1.0000	1.0000	1.0000	1.0000	1.0000
10 ²	M	12.44630	13.71025	13.53727	14.55374	14.57660	15.14674	15.61897	16.14180
	H	118.74	123.76	127.23	132.77	138.67	143.65	148.67	153.00
	S	1.6004	1.6105	1.6074	1.6074	1.6074	1.6074	1.6074	1.6074
	F/P	0.9987	0.9987	0.9987	0.9987	0.9987	0.9987	0.9987	0.9987
15	M	12.23374	12.76517	13.25663	13.70677	14.20086	14.70063	15.20348	15.61876
	H	118.76	123.76	127.23	132.77	138.67	143.65	148.67	153.00
	S	1.6046	1.6150	1.6264	1.6384	1.6505	1.6625	1.6727	1.6800
	F/P	0.9986	0.9986	0.9986	0.9986	0.9986	0.9986	0.9986	0.9986
25	M	7.33878	7.66549	7.95473	7.90195	8.56225	8.87628	9.16219	9.44019
	H	118.70	123.76	127.26	132.64	137.61	142.59	147.57	152.55
	S	1.5082	1.5767	1.6006	1.5981	1.6072	1.6160	1.6243	1.6324
	F/P	0.9980	0.9983	0.9984	0.9984	0.9987	0.9989	0.9990	0.9992
50	M	3.66761	3.82027	3.97479	4.12890	4.28307	4.43758	4.60184	4.74574
	H	118.50	123.48	127.49	132.47	137.46	142.45	147.44	152.42
	S	1.5108	1.5823	1.6202	1.5898	1.6079	1.6260	1.6439	1.6617
	F/P	0.9976	0.9980	0.9980	0.9980	0.9981	0.9982	0.9983	0.9983
75	M	2.44122	2.58666	2.66638	2.75154	2.83861	2.92801	3.01910	3.11306
	H	118.50	123.30	127.30	132.31	137.31	142.31	147.31	152.31
	S	1.4887	1.5602	1.6102	1.6149	1.6269	1.6377	1.6461	1.6542
	F/P	0.9969	0.9976	0.9975	0.9977	0.9979	0.9980	0.9981	0.9982
100	M	1.62013	1.67317	1.68118	2.06679	2.14063	2.21613	2.29575	2.37318
	H	118.50	123.11	126.23	133.24	138.18	142.17	146.16	150.18
	S	1.4690	1.5498	1.5898	1.6091	1.6283	1.6470	1.6655	1.6838
	F/P	0.9956	0.9968	0.9975	0.9975	0.9978	0.9980	0.9981	0.9982
150	M	1.21715	1.26686	1.32208	1.37433	1.42406	1.47087	1.52039	1.56944
	H	117.87	122.73	127.78	132.82	137.86	142.89	147.92	152.94
	S	1.4378	1.5001	1.5602	1.6098	1.6590	1.7078	1.7563	1.8045
	F/P	0.9938	0.9952	0.9964	0.9974	0.9983	0.9989	0.9993	0.9997
200	M	0.91123	0.95090	0.97673	1.02613	1.06956	1.10884	1.14820	1.18726
	H	117.26	122.30	127.43	132.50	137.59	142.68	147.67	152.71
	S	1.4188	1.4791	1.5302	1.6099	1.6882	1.7657	1.8425	1.9187
	F/P	0.9919	0.9937	0.9953	0.9967	0.9978	0.9988	0.9997	1.0004
300	M	0.60954	0.63253	0.66939	0.68617	0.71279	0.73929	0.76574	0.79213
	H	116.46	121.80	127.74	131.87	136.08	140.28	144.17	147.75
	S	1.3883	1.3981	1.4093	1.4197	1.4288	1.4374	1.4455	1.4532
	F/P	0.9981	0.9908	0.9932	0.9952	0.9970	0.9985	0.9998	1.0004
450	M	0.45280	0.47351	0.49306	0.51421	0.53686	0.55890	0.57876	0.59776
	H	115.66	120.81	126.07	131.25	136.41	141.55	146.59	151.60
	S	1.3686	1.3774	1.3877	1.3977	1.4071	1.4161	1.4247	1.4330
	F/P	0.9966	0.9983	0.9991	0.9999	1.0003	1.0003	1.0003	1.0019
600	M	0.36180	0.37426	0.39688	0.41127	0.42777	0.44467	0.46077	0.47686
	H	114.85	120.14	125.41	130.68	135.89	141.08	146.21	151.33
	S	1.3492	1.3603	1.3708	1.3808	1.3904	1.3994	1.4081	1.4165
	F/P	0.9941	0.9959	0.9987	0.9990	0.9998	0.9998	1.0004	1.0022
800	M	0.30072	0.31441	0.32866	0.34289	0.35871	0.37505	0.39111	0.40707
	H	114.07	119.44	124.76	130.05	135.21	140.24	145.16	150.00
	S	1.3348	1.3461	1.3567	1.3667	1.3764	1.3858	1.3948	1.4038
	F/P	0.9984	0.9987	0.9993	0.9992	0.9995	0.9996	1.0000	1.0031
1000	M	0.25743	0.26878	0.28199	0.29609	0.30906	0.32196	0.33476	0.34819
	H	113.31	118.75	124.13	129.47	134.78	140.06	145.31	150.59
	S	1.3278	1.3380	1.3487	1.3589	1.3688	1.3783	1.3872	1.3952
	F/P	0.9976	0.9980	0.9987	0.9984	0.9988	0.9989	1.0000	1.0041
800	M	0.22507	0.23804	0.25080	0.26536	0.280817	0.29706	0.31413	0.33050
	H	112.67	118.07	123.41	128.67	133.87	139.04	144.18	149.27
	S	1.3118	1.3233	1.3351	1.3464	1.3574	1.3679	1.3778	1.3871
	F/P	0.9971	0.9981	0.9986	0.9981	0.9985	0.9987	1.0004	1.0052

Thermodynamic Properties of Nitrogen (Continued)

P	T	20	40	60	80	100	120	140	160
900	V	0.26031	0.20989	0.21963	0.22925	0.23879	0.24821	0.25757	0.26687
	M	111.88	117.41	122.92	128.47	133.97	139.43	144.85	149.76
	S	1.7022	1.7337	1.7647	1.7951	1.8250	1.8544	1.8833	1.9117
1000	V	0.18005	0.18005	0.18732	0.19467	0.20201	0.20934	0.21666	0.22403
	M	111.14	116.77	122.34	127.84	133.29	138.69	144.04	149.34
	S	1.2933	1.3051	1.3161	1.3264	1.3361	1.3451	1.3534	1.3611
1100	V	0.14186	0.14204	0.14223	0.14242	0.14261	0.14281	0.14300	0.14319
	M	110.98	116.15	121.27	126.34	131.36	136.33	141.25	146.12
	S	1.2452	1.2571	1.2681	1.2784	1.2881	1.2974	1.3061	1.3144
1200	V	0.10311	0.10321	0.10335	0.10349	0.10363	0.10377	0.10391	0.10405
	M	109.78	115.55	121.23	126.83	132.37	137.86	143.30	148.70
	S	1.2776	1.2896	1.3011	1.3121	1.3226	1.3326	1.3421	1.3511
1300	V	0.07920	0.07926	0.07931	0.07936	0.07941	0.07946	0.07951	0.07956
	M	109.16	114.87	120.50	126.05	131.54	136.98	142.38	147.74
	S	1.2709	1.2820	1.2924	1.3021	1.3114	1.3201	1.3284	1.3361
1400	V	0.06235	0.06235	0.06235	0.06235	0.06235	0.06235	0.06235	0.06235
	M	108.51	114.00	119.40	124.70	130.00	135.20	140.40	145.60
	S	1.2584	1.2687	1.2784	1.2874	1.2959	1.3039	1.3114	1.3184
1500	V	0.05103	0.05103	0.05103	0.05103	0.05103	0.05103	0.05103	0.05103
	M	107.81	113.00	118.10	123.10	128.10	133.10	138.10	143.10
	S	1.2462	1.2557	1.2644	1.2724	1.2799	1.2869	1.2934	1.3004
1600	V	0.04181	0.04181	0.04181	0.04181	0.04181	0.04181	0.04181	0.04181
	M	107.12	112.10	117.00	121.80	126.60	131.40	136.10	140.80
	S	1.2348	1.2434	1.2511	1.2579	1.2641	1.2698	1.2751	1.2804
1700	V	0.03477	0.03477	0.03477	0.03477	0.03477	0.03477	0.03477	0.03477
	M	106.47	111.20	115.80	120.30	124.80	129.30	133.80	138.30
	S	1.2241	1.2317	1.2384	1.2442	1.2491	1.2531	1.2571	1.2611
1800	V	0.02919	0.02919	0.02919	0.02919	0.02919	0.02919	0.02919	0.02919
	M	105.82	110.30	114.70	119.00	123.30	127.60	131.90	136.20
	S	1.2140	1.2207	1.2264	1.2312	1.2351	1.2381	1.2411	1.2441
1900	V	0.02462	0.02462	0.02462	0.02462	0.02462	0.02462	0.02462	0.02462
	M	105.17	109.40	113.50	117.50	121.50	125.50	129.50	133.50
	S	1.2044	1.2101	1.2149	1.2188	1.2221	1.2249	1.2271	1.2294
2000	V	0.02084	0.02084	0.02084	0.02084	0.02084	0.02084	0.02084	0.02084
	M	104.52	108.50	112.40	116.20	119.90	123.60	127.30	131.00
	S	1.1953	1.2000	1.2039	1.2069	1.2091	1.2107	1.2119	1.2127
3000	V	0.01432	0.01432	0.01432	0.01432	0.01432	0.01432	0.01432	0.01432
	M	103.87	107.60	111.20	114.70	118.10	121.40	124.70	128.00
	S	1.1867	1.1907	1.1939	1.1964	1.1981	1.1991	1.1997	1.1999
4000	V	0.01052	0.01052	0.01052	0.01052	0.01052	0.01052	0.01052	0.01052
	M	103.22	106.80	110.30	113.70	116.90	120.00	123.00	126.00
	S	1.1786	1.1817	1.1840	1.1856	1.1867	1.1874	1.1878	1.1880
5000	V	0.00811	0.00811	0.00811	0.00811	0.00811	0.00811	0.00811	0.00811
	M	102.57	106.00	109.40	112.70	115.90	119.00	122.00	125.00
	S	1.1711	1.1733	1.1749	1.1760	1.1767	1.1771	1.1773	1.1774

Thermodynamic Properties of Nitrogen (Continued)

P	T	180	200	220	240	260	280	300	320
600	V	0.611400	0.53457	0.46534	0.40718	0.35932	0.31363	0.27330	0.23796
	M	194.91	182.32	167.11	152.21	137.22	122.38	107.67	93.25
	S	1.4410	1.4487	1.4561	1.4633	1.4701	1.4771	1.4837	1.4901
	F/P	1.0327	1.0030	1.0265	1.0575	1.0964	1.1431	1.1971	1.0082
800	V	0.43256	0.36050	0.29728	0.24252	0.19663	0.15730	0.12311	0.09394
	M	156.51	141.25	124.77	111.37	97.60	84.22	71.22	58.33
	S	1.3245	1.3322	1.3397	1.3469	1.3539	1.3606	1.3671	1.3735
	F/P	1.0038	1.0052	1.0083	1.0134	1.0203	1.0291	1.0398	1.0524
400	V	0.61123	0.42470	0.28113	0.16511	0.08884	0.04761	0.02186	0.00664
	M	159.12	161.29	165.45	171.54	176.73	181.94	187.16	192.12
	S	1.4120	1.4187	1.4262	1.4335	1.4405	1.4472	1.4538	1.4605
	F/P	1.0049	1.0056	1.0080	1.0092	1.0123	1.0152	1.0184	1.0218
700	V	0.29323	0.26847	0.24664	0.22801	0.21252	0.20007	0.18924	0.18066
	M	156.75	160.95	165.13	171.30	176.46	181.62	186.77	191.82
	S	1.3403	1.3477	1.3547	1.3612	1.3671	1.3724	1.3771	1.3816
	F/P	1.0082	1.0081	1.0097	1.0124	1.0161	1.0208	1.0264	1.0329
600	V	0.30381	0.22007	0.13324	0.04666	0.00059	0.00000	0.00000	0.00000
	M	155.38	160.82	165.83	171.22	176.81	181.39	186.26	191.71
	S	1.3662	1.3730	1.3796	1.3857	1.3911	1.3958	1.4000	1.4037
	F/P	1.0077	1.0099	1.0116	1.0132	1.0148	1.0164	1.0180	1.0198
900	V	0.27011	0.22674	0.12335	0.01299	0.00000	0.00000	0.00000	0.00000
	M	155.04	160.30	165.33	171.20	176.87	181.17	186.10	191.15
	S	1.3602	1.3681	1.3757	1.3831	1.3901	1.3967	1.4029	1.4085
	F/P	1.0092	1.0116	1.0132	1.0148	1.0164	1.0180	1.0198	1.0209
1000	V	0.24462	0.18762	0.09500	0.02761	0.00000	0.00000	0.00000	0.00000
	M	154.71	159.94	165.26	170.20	175.74	180.97	186.17	191.17
	S	1.3721	1.3800	1.3877	1.3951	1.4021	1.4087	1.4150	1.4210
	F/P	1.0139	1.0135	1.0157	1.0176	1.0193	1.0208	1.0221	1.0234
1100	V	0.22271	0.12863	0.00000	0.00000	0.00000	0.00000	0.00000	0.00000
	M	154.34	159.23	164.20	168.22	172.52	176.39	180.26	184.21
	S	1.3887	1.3972	1.4050	1.4124	1.4194	1.4261	1.4325	1.4386
	F/P	1.0177	1.0153	1.0174	1.0194	1.0214	1.0234	1.0254	1.0270
1200	V	0.20448	0.09100	0.00000	0.00000	0.00000	0.00000	0.00000	0.00000
	M	154.07	158.62	163.33	167.22	171.31	175.17	178.82	182.76
	S	1.4057	1.4140	1.4217	1.4291	1.4361	1.4428	1.4492	1.4554
	F/P	1.0217	1.0217	1.0237	1.0257	1.0276	1.0295	1.0312	1.0329
1300	V	0.18957	0.05000	0.00000	0.00000	0.00000	0.00000	0.00000	0.00000
	M	153.75	157.93	162.24	165.64	169.11	172.74	176.22	179.84
	S	1.4216	1.4300	1.4377	1.4451	1.4521	1.4587	1.4650	1.4711
	F/P	1.0266	1.0250	1.0270	1.0289	1.0307	1.0324	1.0341	1.0357
1400	V	0.17331	0.00000	0.00000	0.00000	0.00000	0.00000	0.00000	0.00000
	M	153.42	157.28	161.20	164.20	167.20	170.20	173.20	176.20
	S	1.4388	1.4470	1.4547	1.4621	1.4691	1.4758	1.4822	1.4883
	F/P	1.0310	1.0310	1.0329	1.0347	1.0364	1.0381	1.0398	1.0415
1500	V	0.15590	0.00000	0.00000	0.00000	0.00000	0.00000	0.00000	0.00000
	M	153.12	156.50	160.00	163.50	167.00	170.50	174.00	177.50
	S	1.4561	1.4640	1.4715	1.4787	1.4856	1.4922	1.4985	1.5046
	F/P	1.0341	1.0341	1.0359	1.0376	1.0392	1.0408	1.0424	1.0439
1600	V	0.13753	0.00000	0.00000	0.00000	0.00000	0.00000	0.00000	0.00000
	M	152.84	155.81	158.81	161.81	164.81	167.81	170.81	173.81
	S	1.4734	1.4810	1.4883	1.4953	1.5021	1.5087	1.5150	1.5211
	F/P	1.0373	1.0373	1.0389	1.0404	1.0419	1.0434	1.0448	1.0462
1700	V	0.11923	0.00000	0.00000	0.00000	0.00000	0.00000	0.00000	0.00000
	M	152.57	155.19	157.39	159.59	161.79	163.99	166.19	168.39
	S	1.4907	1.4980	1.5049	1.5115	1.5179	1.5241	1.5301	1.5359
	F/P	1.0403	1.0403	1.0418	1.0432	1.0446	1.0459	1.0472	1.0485
1800	V	0.10100	0.00000	0.00000	0.00000	0.00000	0.00000	0.00000	0.00000
	M	152.30	154.50	156.20	157.90	159.60	161.30	163.00	164.70
	S	1.5080	1.5149	1.5214	1.5276	1.5336	1.5393	1.5448	1.5501
	F/P	1.0430	1.0430	1.0444	1.0457	1.0470	1.0482	1.0494	1.0506

Thermodynamic Properties of Nitrogen (Continued)

P	T	180	200	220	240	260	280	300	320
1000	V	0.13667	0.14070	0.14487	0.14920	0.15369	0.15835	0.16318	0.16818
	H	172.404	157.728	143.271	129.171	115.464	102.180	89.354	76.927
	S	1.3713	1.2370	1.1337	1.0520	0.9829	0.9251	0.8776	0.8398
1020	V	0.12949	0.13352	0.13773	0.14212	0.14669	0.15144	0.15636	0.16146
	H	159.004	144.328	129.871	115.771	102.064	88.780	75.954	63.527
	S	1.3171	1.1828	1.0795	1.0078	0.9487	0.9012	0.8587	0.8212
1040	V	0.12201	0.12604	0.13025	0.13474	0.13941	0.14426	0.14928	0.15446
	H	145.708	131.032	116.575	102.475	88.768	75.484	62.658	50.231
	S	1.2629	1.1286	1.0253	0.9536	0.8945	0.8470	0.8045	0.7670
1060	V	0.11529	0.11932	0.12353	0.12802	0.13277	0.13778	0.14296	0.14831
	H	142.412	127.736	113.273	99.173	85.466	72.182	59.356	46.929
	S	1.2087	1.0744	0.9711	0.9094	0.8503	0.8028	0.7603	0.7228
1080	V	0.10923	0.11326	0.11747	0.12196	0.12671	0.13172	0.13699	0.14242
	H	139.116	124.440	110.077	95.977	82.270	68.986	56.160	43.733
	S	1.1545	1.0202	0.9169	0.8552	0.7961	0.7486	0.7061	0.6686
1100	V	0.10375	0.10778	0.11200	0.11649	0.12124	0.12625	0.13152	0.13705
	H	135.820	121.144	107.005	92.905	79.198	65.914	53.088	40.661
	S	1.1003	0.9660	0.8627	0.8010	0.7419	0.6944	0.6519	0.6144
1120	V	0.09883	0.10286	0.10707	0.11156	0.11631	0.12132	0.12659	0.13212
	H	132.524	117.848	103.809	89.709	76.002	62.718	50.092	37.665
	S	1.0461	0.9118	0.8085	0.7468	0.6877	0.6402	0.5977	0.5602
1140	V	0.09445	0.09848	0.10269	0.10718	0.11193	0.11694	0.12221	0.12774
	H	129.228	114.552	100.513	86.413	72.706	59.422	46.796	34.369
	S	0.9919	0.8576	0.7543	0.6926	0.6335	0.5860	0.5435	0.5060
1160	V	0.09059	0.09462	0.09883	0.10332	0.10807	0.11308	0.11835	0.12388
	H	125.932	111.256	97.217	83.117	69.410	56.126	43.500	31.073
	S	0.9377	0.8034	0.7001	0.6384	0.5793	0.5318	0.4893	0.4518
1180	V	0.08721	0.09124	0.09545	0.10004	0.10479	0.10970	0.11487	0.12030
	H	122.636	107.960	93.921	79.821	66.114	52.830	40.204	27.777
	S	0.8835	0.7492	0.6459	0.5842	0.5251	0.4776	0.4351	0.3976
1200	V	0.08423	0.08826	0.09247	0.09706	0.10181	0.10672	0.11189	0.11732
	H	119.340	104.664	90.625	76.525	62.818	49.534	36.908	24.481
	S	0.8293	0.6950	0.5917	0.5300	0.4709	0.4234	0.3809	0.3434
1220	V	0.08165	0.08568	0.08989	0.09448	0.09923	0.10414	0.10921	0.11454
	H	116.044	101.368	87.329	73.229	59.522	46.238	33.612	21.185
	S	0.7751	0.6408	0.5375	0.4758	0.4167	0.3692	0.3267	0.2892
1240	V	0.07937	0.08340	0.08761	0.09220	0.09695	0.10186	0.10693	0.11226
	H	112.748	98.072	84.133	70.033	56.326	43.042	30.416	17.989
	S	0.7209	0.5866	0.4833	0.4216	0.3625	0.3150	0.2725	0.2350
1260	V	0.07729	0.08132	0.08553	0.09012	0.09487	0.09978	0.10485	0.11018
	H	109.452	94.776	80.831	66.731	53.024	39.740	27.114	14.663
	S	0.6667	0.5324	0.4291	0.3674	0.3083	0.2608	0.2183	0.1808
1280	V	0.07539	0.07942	0.08363	0.08822	0.09297	0.09788	0.10295	0.10828
	H	106.156	91.480	77.535	63.435	49.728	36.444	23.818	11.337
	S	0.6125	0.4782	0.3749	0.3132	0.2541	0.2066	0.1641	0.1266
1300	V	0.07357	0.07760	0.08181	0.08640	0.09115	0.09606	0.10113	0.10646
	H	102.860	88.184	74.233	60.133	46.426	33.142	20.516	8.001
	S	0.5583	0.4240	0.3207	0.2590	0.2099	0.1624	0.1200	0.0825

P	T	340	360	380	400	420	440	460	480
1	V	104.03210	111.10594	118.18379	125.26662	132.35446	139.44731	146.54516	153.64801
	H	1866.35	1720.76	1575.17	1430.58	1286.99	1144.40	1002.81	862.22
	S	1.5224	1.3881	1.2848	1.2031	1.1340	1.0765	1.0290	0.9915
12	V	20.60711	21.39565	22.18419	22.97273	23.76127	24.54981	25.33835	26.12689
	H	144.503	129.827	115.151	100.475	85.800	71.124	56.448	41.772
	S	1.1504	1.0161	0.9128	0.8311	0.7720	0.7245	0.6870	0.6545
14.7	V	26.10736	27.00590	27.90444	28.80298	29.70152	30.60006	31.49860	32.39714
	H	146.502	131.826	117.150	102.474	87.798	73.122	58.446	43.770
	S	1.1321	0.9978	0.8945	0.8128	0.7537	0.7062	0.6687	0.6362
19	V	29.67992	30.67846	31.67700	32.67554	33.67408	34.67262	35.67116	36.66970
	H	148.500	133.824	119.148	104.472	89.796	75.120	60.444	45.768
	S	1.1139	0.9796	0.8763	0.7946	0.7355	0.6880	0.6505	0.6180
26	V	12.29253	12.70050	13.10847	13.51644	13.92441	14.33238	14.74035	15.14832
	H	144.449	129.773	115.097	100.421	85.745	71.069	56.393	41.717
	S	1.0004	0.8661	0.7628	0.6811	0.6220	0.5745	0.5370	0.5045
50	V	6.12192	6.28207	6.44222	6.60237	6.76252	6.92267	7.08282	7.24297
	H	144.443	129.767	115.091	100.415	85.739	71.063	56.387	41.711
	S	1.0002	0.8659	0.7626	0.6809	0.6218	0.5743	0.5368	0.5043

APENDICE C

DATOS P-V-T PARA ETILENO

Thermodynamic Properties of Ethylene (Continued)

P	T	-80	-60	-40	-20	0	20	40	60
1	V	186.91129	192.32784	199.49703	197.39215	179.80651	182.17106	192.63176	194.04523
	H	1265.008	1246.16	1232.75	1229.29	1212.98	1212.98	1214.91	1216.47
	S	1.0433	1.0598	1.0757	1.0911	1.1054	1.1203	1.1356	1.1488
	F/P	1.0002	1.0019	1.0028	1.0037	1.0044	1.0049	1.0052	1.0052
10	V	14.35112	15.13722	15.91417	16.68723	17.44858	17.78367	18.22246	18.79252
	H	1016.117	1041.95	1072.73	1098.54	1125.38	1132.27	1139.31	1146.52
	S	1.7787	1.7906	1.8118	1.8324	1.8524	1.8672	1.8815	1.8954
	F/P	0.8865	0.9102	0.94018	0.9671	0.9931	0.998	0.9992	0.9998
16.7	V	9.71075	10.24002	10.76613	11.22227	11.65112	12.02914	12.31122	12.61199
	H	1021.88	1045.12	1071.65	1098.10	1126.07	1131.94	1137.94	1144.26
	S	1.7526	1.7676	1.7839	1.7996	1.8148	1.8268	1.8378	1.8478
	F/P	0.9030	0.9058	0.9077	0.9084	0.9089	0.9092	0.9093	0.9093
19	V	9.51125	11.07861	12.96855	11.08828	11.61178	12.12938	12.64519	13.16888
	H	1039.66	1045.09	1051.83	1058.24	1064.35	1070.31	1076.14	1081.86
	S	1.7411	1.7661	1.7874	1.7991	1.8133	1.8262	1.8384	1.8498
	F/P	0.9926	0.9883	0.9874	0.9872	0.9874	0.9878	0.9881	0.9884
25	V	9.53509	9.96126	9.28366	8.60278	8.42065	7.23676	7.55107	7.86892
	H	1037.62	1048.17	1056.81	1057.34	1064.38	1071.76	1079.48	1087.25
	S	1.7110	1.7283	1.7486	1.7598	1.7751	1.7845	1.7938	1.8030
	F/P	0.4708	0.4753	0.4787	0.4817	0.4841	0.4861	0.4878	0.4894
50	V	8.72882	2.81868	3.28408	3.13627	3.40188	3.78214	3.72724	3.82734
	H	1234.91	1241.90	1248.75	1255.66	1262.63	1269.62	1276.73	1284.47
	S	1.8870	1.8783	1.8684	1.8582	1.8478	1.8367	1.8251	1.8138
	F/P	0.9419	0.9395	0.9376	0.9353	0.9328	0.9301	0.9272	0.9242
75	V	1.19326	1.67672	1.99654	2.31384	2.72082	2.38061	2.45227	2.59222
	H	1039.04	1039.31	1036.53	1034.29	1030.95	1028.25	1025.28	1022.18
	S	1.6229	1.6020	1.6000	1.6770	1.6732	1.7098	1.7239	1.7385
	F/P	7.3128	6.4559	6.9364	6.3830	6.9582	6.9581	6.9631	6.9673
100	V	1.26287	1.36296	1.45842	1.55509	1.64013	1.72781	1.81388	1.89871
	H	1029.98	1030.27	1030.22	1031.59	1032.63	1033.48	1034.18	1034.82
	S	1.5987	1.6010	1.6035	1.6054	1.6071	1.6087	1.6104	1.6121
	F/P	0.8630	0.8613	0.8614	0.8618	0.8624	0.8629	0.8634	0.8638
150	V	0.71183	0.03267	0.91645	0.49506	1.05085	1.11388	1.17868	1.23884
	H	854.07	866.39	874.77	1047.40	1055.27	1063.27	1071.15	1079.00
	S	1.1347	1.1668	1.1996	1.6178	1.6396	1.6524	1.6668	1.6818
	F/P	0.6087	0.8888	0.8734	0.8908	0.9088	0.9184	0.9286	0.9385
200	V	0.03139	0.03267	0.08032	0.16987	0.25933	0.40472	0.55399	0.90190
	H	896.16	897.45	1031.68	1042.89	1051.30	1058.25	1064.82	1071.21
	S	1.1342	1.1682	1.1986	1.3896	1.6089	1.6217	1.6336	1.6456
	F/P	0.6055	0.8824	0.8315	0.8545	0.8735	0.8892	0.9024	0.9136
300	V	0.03133	0.03071	0.07397	0.23504	0.48883	0.49183	3.35328	3.96677
	H	864.24	866.56	876.27	892.75	1041.91	1051.71	1061.23	1070.57
	S	1.1333	1.1650	1.1964	1.2298	1.2630	1.2859	1.3086	1.3314
	F/P	0.3103	0.4361	0.5873	0.7821	0.9104	0.9388	0.9658	0.9713
400	V	0.03126	0.03244	0.03395	0.03503	0.03615	0.03707	0.03875	0.03961
	H	854.53	868.68	874.29	892.75	907.82	1047.02	1053.01	1061.00
	S	1.1571	1.1618	1.1689	1.1765	1.1843	1.1921	1.1975	1.2023
	F/P	0.2378	0.2888	0.3488	0.3838	0.4138	0.4378	0.4618	0.4792
500	V	0.03120	0.03216	0.03372	0.03543	0.03778	0.03926	0.04035	0.21181
	H	854.73	866.82	876.32	892.34	907.84	1027.82	1034.23	1040.51
	S	1.1311	1.1626	1.1935	1.2248	1.2575	1.3115	1.3155	1.3650
	F/P	0.1943	0.2730	0.3676	0.4770	0.5900	0.7237	0.7987	0.7973
800	V	0.03118	0.03249	0.03381	0.03525	0.03785	0.04009	0.18181	0.21835
	H	854.93	867.06	876.36	892.47	908.86	928.15	1029.58	1036.75
	S	1.1301	1.1619	1.1921	1.2230	1.2548	1.2876	1.3296	1.3316
	F/P	0.1655	0.2374	0.3128	0.4380	0.5105	0.6371	0.7023	0.7952
1000	V	0.03116	0.03240	0.03364	0.03508	0.03710	0.04024	0.04024	0.18024
	H	855.14	867.11	876.43	892.58	908.87	928.23	948.57	1030.41
	S	1.1292	1.1604	1.1907	1.2214	1.2526	1.2848	1.3359	1.3362
	F/P	0.1488	0.2034	0.2718	0.3550	0.4488	0.5688	0.6888	0.7023

Thermodynamic Properties of Ethylene (Continued)

P	T	-80	-60	-40	-20	0	20	40	60
800	V	0.01033	0.02012	0.03330	0.05062	0.07688	0.11073	0.16511	0.10199
	H	879.136	887.27	876.50	842.32	785.15	621.67	462.36	1.00148
	S	1.1273	1.1592	1.1893	1.2136	1.2404	1.2690	1.2996	1.3322
900	V	0.01077	0.01970	0.03298	0.05037	0.07664	0.11049	0.16487	0.10180
	H	955.57	972.85	976.59	942.29	885.09	721.61	562.30	1.00148
	S	1.1273	1.1592	1.1893	1.2136	1.2404	1.2690	1.2996	1.3322
1000	V	0.01070	0.01963	0.03291	0.05030	0.07657	0.11042	0.16480	0.10174
	H	955.70	972.61	976.50	942.29	885.09	721.61	562.30	1.00148
	S	1.1283	1.1592	1.1893	1.2136	1.2404	1.2690	1.2996	1.3322
1100	V	0.01066	0.01959	0.03284	0.05027	0.07654	0.11037	0.16475	0.10171
	H	956.01	972.90	976.80	942.47	885.08	721.60	562.30	1.00148
	S	1.1254	1.1561	1.1858	1.2101	1.2368	1.2653	1.2951	1.3277
1200	V	0.01061	0.01954	0.03279	0.05024	0.07651	0.11034	0.16472	0.10168
	H	956.24	973.07	976.97	942.59	885.08	721.59	562.30	1.00148
	S	1.1243	1.1551	1.1847	1.2090	1.2357	1.2642	1.2940	1.3267
1300	V	0.01057	0.01950	0.03274	0.05021	0.07648	0.11031	0.16469	0.10165
	H	956.47	973.17	977.07	942.70	885.07	721.58	562.30	1.00148
	S	1.1233	1.1541	1.1837	1.2080	1.2347	1.2632	1.2930	1.3257
1400	V	0.01053	0.01946	0.03269	0.05018	0.07645	0.11028	0.16466	0.10162
	H	956.71	973.28	977.18	942.80	885.07	721.57	562.30	1.00148
	S	1.1223	1.1531	1.1827	1.2070	1.2337	1.2622	1.2920	1.3247
1500	V	0.01049	0.01942	0.03264	0.05015	0.07642	0.11025	0.16463	0.10159
	H	956.95	973.39	977.29	942.90	885.06	721.56	562.30	1.00148
	S	1.1213	1.1521	1.1817	1.2060	1.2327	1.2612	1.2910	1.3237
1600	V	0.01045	0.01938	0.03259	0.05012	0.07639	0.11022	0.16460	0.10156
	H	957.19	973.50	977.40	943.00	885.06	721.55	562.30	1.00148
	S	1.1203	1.1511	1.1807	1.2050	1.2317	1.2602	1.2900	1.3227
1700	V	0.01041	0.01934	0.03254	0.05009	0.07636	0.11019	0.16457	0.10153
	H	957.43	973.61	977.51	943.10	885.05	721.54	562.30	1.00148
	S	1.1193	1.1501	1.1797	1.2040	1.2307	1.2592	1.2890	1.3217
1800	V	0.01037	0.01930	0.03249	0.05006	0.07633	0.11016	0.16454	0.10150
	H	957.67	973.72	977.62	943.20	885.05	721.53	562.30	1.00148
	S	1.1183	1.1491	1.1787	1.2030	1.2297	1.2582	1.2880	1.3207
1900	V	0.01033	0.01926	0.03244	0.05003	0.07630	0.11013	0.16451	0.10147
	H	957.91	973.83	977.73	943.30	885.04	721.52	562.30	1.00148
	S	1.1173	1.1481	1.1777	1.2020	1.2287	1.2572	1.2870	1.3197
2000	V	0.01029	0.01922	0.03239	0.05000	0.07627	0.11010	0.16448	0.10144
	H	958.15	973.94	977.83	943.40	885.04	721.51	562.30	1.00148
	S	1.1163	1.1471	1.1767	1.2010	1.2277	1.2562	1.2860	1.3187
2050	V	0.01025	0.01918	0.03234	0.04997	0.07624	0.11007	0.16445	0.10141
	H	958.39	974.05	977.95	943.50	885.03	721.50	562.30	1.00148
	S	1.1153	1.1461	1.1757	1.2000	1.2267	1.2552	1.2850	1.3177
4000	V	0.02765	0.03030	0.03117	0.03201	0.03281	0.03360	0.03439	0.03518
	H	162.74	162.80	162.80	162.80	162.80	162.80	162.80	162.80
	S	1.3105	1.3120	1.3152	1.3181	1.3210	1.3239	1.3268	1.3297

Thermodynamic Properties of Ethylene (Continued)

P	T	-80	-60	-40	-20	0	20	40	60
6000	V	0.02936	0.03002	0.03073	0.03147	0.03227	0.03312	0.03404	0.03503
	H	866.78	877.72	887.56	896.34	904.20	911.32	917.74	923.50
	S	1.00667	1.01373	1.02121	1.02904	1.03724	1.04574	1.05447	1.06335
8000	V	0.04095	0.04160	0.04230	0.04304	0.04382	0.04464	0.04550	0.04641
	H	869.44	880.38	890.20	898.98	906.84	913.96	920.38	926.14
	S	1.00958	1.01663	1.02411	1.03194	1.04014	1.04864	1.05737	1.06625
10000	V	0.05270	0.05334	0.05403	0.05476	0.05552	0.05632	0.05716	0.05804
	H	873.16	884.10	893.92	902.70	910.56	917.68	924.10	929.86
	S	1.01252	1.01957	1.02705	1.03488	1.04308	1.05158	1.06031	1.06919
12000	V	0.06456	0.06519	0.06587	0.06659	0.06734	0.06812	0.06894	0.06979
	H	877.16	888.10	897.92	906.70	914.56	921.68	928.10	933.86
	S	1.01542	1.02247	1.03000	1.03783	1.04603	1.05453	1.06326	1.07214
14000	V	0.07654	0.07716	0.07783	0.07854	0.07928	0.08004	0.08082	0.08162
	H	881.36	892.30	902.12	910.90	918.76	925.88	932.30	938.06
	S	1.01836	1.02541	1.03294	1.04077	1.04900	1.05750	1.06623	1.07511
16000	V	0.08864	0.08925	0.08991	0.09061	0.09134	0.09209	0.09286	0.09364
	H	885.76	896.70	906.52	915.30	923.16	930.28	936.70	942.46
	S	1.02134	1.02839	1.03592	1.04375	1.05198	1.06048	1.06921	1.07809
18000	V	0.10084	0.10144	0.10209	0.10278	0.10349	0.10421	0.10494	0.10568
	H	890.36	901.30	911.12	919.90	927.76	934.88	941.30	947.06
	S	1.02436	1.03141	1.03894	1.04677	1.05498	1.06348	1.07221	1.08109
20000	V	0.11314	0.11373	0.11437	0.11505	0.11574	0.11644	0.11715	0.11787
	H	895.16	906.10	915.92	924.70	932.56	939.68	946.10	951.86
	S	1.02742	1.03447	1.04200	1.04983	1.05804	1.06654	1.07527	1.08415

P	T	80	100	120	140	160	180	200	220
1	V	206.25961	213.46193	221.01690	228.91366	237.06040	245.46511	254.23317	263.36194
	H	1096.331	1101.823	1106.63	1111.42	1115.93	1120.39	1124.76	1129.03
	S	7.02626	7.02749	7.02874	7.03001	7.03129	7.03258	7.03388	7.03519
10	V	20.59832	21.33362	22.10051	22.89836	23.72636	24.58455	25.47295	26.39141
	H	1033.09	1038.58	1043.37	1047.56	1051.14	1054.19	1056.74	1058.87
	S	1.42021	1.42025	1.42029	1.42032	1.42035	1.42038	1.42041	1.42043
14.7	V	13.96761	14.48702	15.02243	15.58352	16.17082	16.78505	17.42700	18.09844
	H	1003.67	1011.23	1018.96	1026.86	1034.92	1043.13	1051.49	1059.99
	S	1.87316	1.8851	1.8974	1.9101	1.9231	1.9364	1.9500	1.9639
15	V	13.66651	14.19679	14.74740	15.31875	15.92108	16.55482	17.22148	17.92142
	H	1001.66	1009.22	1016.99	1024.96	1033.13	1041.50	1050.07	1058.84
	S	1.8701	1.8836	1.8974	1.9115	1.9259	1.9406	1.9556	1.9709
26	V	8.19812	8.68975	9.20208	9.73574	10.29129	10.86936	11.47051	12.09530
	H	1029.19	1036.76	1044.51	1052.42	1060.48	1068.69	1077.04	1085.53
	S	1.6333	1.6467	1.6604	1.6744	1.6886	1.7030	1.7176	1.7324
50	V	4.80818	4.82736	4.84780	4.86849	4.88934	4.91034	4.93158	4.95306
	H	1002.30	1005.89	1009.54	1013.24	1016.99	1020.78	1024.61	1028.48
	S	1.7828	1.7905	1.7980	1.8053	1.8124	1.8193	1.8260	1.8326
75	V	2.67178	2.77570	2.88120	2.98830	3.09692	3.20694	3.31822	3.43061
	H	1000.80	1008.36	1016.11	1024.04	1032.14	1040.40	1048.81	1057.36
	S	1.7025	1.7164	1.7305	1.7447	1.7590	1.7734	1.7879	1.8025
100	V	1.96264	2.05936	2.14761	2.22732	2.30832	2.39035	2.47418	2.55957
	H	1001.37	1007.65	1014.11	1020.74	1027.52	1034.44	1041.50	1048.70
	S	1.7374	1.7477	1.7584	1.7694	1.7806	1.7919	1.8033	1.8148
150	V	1.23110	1.30271	1.40776	1.49376	1.59172	1.70149	1.82295	1.94608
	H	1001.07	1009.15	1017.51	1026.14	1035.02	1044.14	1053.50	1063.09
	S	1.6987	1.7131	1.7277	1.7424	1.7572	1.7720	1.7868	1.8016
200	V	0.9632	0.9686	0.9737	0.9786	0.9833	0.9878	0.9921	0.9962
	H	996.776	0.99201	1.03740	1.08110	1.12419	1.16658	1.20827	1.24926
	S	1.6749	1.6898	1.7042	1.7181	1.7321	1.7458	1.7594	1.7728
200	V	0.9232	0.9310	0.9385	0.9457	0.9521	0.9579	0.9632	0.9680

Thermodynamic Properties of Ethylene (Continued)

P	T	80	100	120	140	160	180	200	220
300	V	0.00135	0.01421	0.04056	0.08767	0.17232	0.25841	0.37603	0.51724
	H	1076.136	1087.50	1096.43	1099.50	1114.44	1123.49	1132.63	1141.90
	S	1.28350	1.45249	1.67070	1.84887	2.08892	2.27321	2.42722	2.57627
400	V	0.00208	0.03366	0.10022	0.25592	0.52051	0.85309	1.25733	1.74348
	H	1072.25	1092.45	1091.41	1121.12	1135.43	1144.70	1154.00	1164.32
	S	1.51905	1.66775	1.8436	2.0501	2.28761	2.54887	2.82422	3.11270
500	V	0.01926	0.36673	0.76792	1.38959	2.41072	3.91132	5.84243	8.14024
	H	1086.27	1076.13	1066.56	1049.00	1155.04	1155.26	1155.29	1155.14
	S	1.95855	1.60424	1.2213	0.8377	0.5636	0.3556	0.2083	0.1097
600	V	0.1114	0.8316	2.0484	4.0647	7.4793	12.517	19.034	26.102
	H	1086.27	1076.13	1066.56	1049.00	1155.04	1155.26	1155.29	1155.14
	S	1.95855	1.60424	1.2213	0.8377	0.5636	0.3556	0.2083	0.1097
700	V	0.32603	0.27316	0.29194	0.31196	0.37045	0.42800	0.48564	0.54328
	H	1086.27	1076.13	1066.56	1049.00	1155.04	1155.26	1155.29	1155.14
	S	1.95855	1.60424	1.2213	0.8377	0.5636	0.3556	0.2083	0.1097
800	V	0.7746	0.7993	0.8204	0.8387	0.8547	0.8688	0.8810	0.8917
	H	1086.27	1076.13	1066.56	1049.00	1155.04	1155.26	1155.29	1155.14
	S	1.95855	1.60424	1.2213	0.8377	0.5636	0.3556	0.2083	0.1097
900	V	2.16172	0.21611	0.23714	0.25615	0.27376	0.29043	0.30627	0.32133
	H	1086.27	1076.13	1066.56	1049.00	1155.04	1155.26	1155.29	1155.14
	S	1.95855	1.60424	1.2213	0.8377	0.5636	0.3556	0.2083	0.1097
1000	V	6.3176	0.21611	0.19588	0.22140	0.24076	0.25435	0.26138	0.27111
	H	1086.27	1076.13	1066.56	1049.00	1155.04	1155.26	1155.29	1155.14
	S	1.95855	1.60424	1.2213	0.8377	0.5636	0.3556	0.2083	0.1097
1100	V	17.007	0.21611	0.16844	0.19749	0.21601	0.22819	0.23426	0.24111
	H	1086.27	1076.13	1066.56	1049.00	1155.04	1155.26	1155.29	1155.14
	S	1.95855	1.60424	1.2213	0.8377	0.5636	0.3556	0.2083	0.1097
1200	V	47.007	0.21611	0.12680	0.15762	0.17662	0.18781	0.19322	0.19872
	H	1086.27	1076.13	1066.56	1049.00	1155.04	1155.26	1155.29	1155.14
	S	1.95855	1.60424	1.2213	0.8377	0.5636	0.3556	0.2083	0.1097
1300	V	122.136	0.21611	0.08162	0.10868	0.12133	0.12865	0.13272	0.13707
	H	1086.27	1076.13	1066.56	1049.00	1155.04	1155.26	1155.29	1155.14
	S	1.95855	1.60424	1.2213	0.8377	0.5636	0.3556	0.2083	0.1097
1400	V	326.024	0.21611	0.04910	0.06488	0.07383	0.07806	0.08062	0.08267
	H	1086.27	1076.13	1066.56	1049.00	1155.04	1155.26	1155.29	1155.14
	S	1.95855	1.60424	1.2213	0.8377	0.5636	0.3556	0.2083	0.1097
1500	V	882.116	0.21611	0.02767	0.03673	0.04153	0.04376	0.04504	0.04597
	H	1086.27	1076.13	1066.56	1049.00	1155.04	1155.26	1155.29	1155.14
	S	1.95855	1.60424	1.2213	0.8377	0.5636	0.3556	0.2083	0.1097
1600	V	2382.116	0.21611	0.01593	0.02093	0.02353	0.02469	0.02540	0.02587
	H	1086.27	1076.13	1066.56	1049.00	1155.04	1155.26	1155.29	1155.14
	S	1.95855	1.60424	1.2213	0.8377	0.5636	0.3556	0.2083	0.1097
1700	V	6240.24	0.21611	0.00873	0.01161	0.01297	0.01368	0.01406	0.01432
	H	1086.27	1076.13	1066.56	1049.00	1155.04	1155.26	1155.29	1155.14
	S	1.95855	1.60424	1.2213	0.8377	0.5636	0.3556	0.2083	0.1097

APENDICE D

DATOS P-V-T PARA CO₂

Thermodynamic Properties of Carbon Dioxide (Continued)

P	T	100	120	140	160	180	200	220	240
1	V	136.00067	141.13123	145.65489	150.47756	155.63306	161.15559	167.08220	169.55818
	H	-3746.882	-3719.280	-3692.883	-3667.643	-3643.518	-3620.451	-3608.386	-3606.205
	S	1.24071	1.22805	1.22045	1.21517	1.21101	1.20740	1.20421	1.20236
10	V	13.02610	14.15467	14.77419	15.27716	15.71714	16.11763	16.49226	16.74310
	H	-3747.410	-3713.327	-3678.443	-3643.750	-3610.291	-3578.000	-3546.821	-3526.780
	S	1.12666	1.11228	1.10074	1.09120	1.08310	1.07600	1.07040	1.06580
100	V	0.26418	0.27325	0.28136	0.28825	0.29410	0.29897	0.30290	0.30600
	H	-3747.420	-3713.111	-3678.443	-3643.750	-3610.291	-3578.000	-3546.821	-3526.780
	S	1.10611	1.11761	1.12734	1.13580	1.14240	1.14740	1.15110	1.15380
15	V	0.25026	0.25835	0.26552	0.27187	0.27750	0.28240	0.28660	0.29020
	H	-3747.420	-3713.111	-3678.443	-3643.750	-3610.291	-3578.000	-3546.821	-3526.780
	S	0.99550	1.00600	1.01450	1.02120	1.02640	1.03030	1.03320	1.03540
25	V	0.21626	0.22335	0.22952	0.23487	0.23950	0.24340	0.24660	0.24920
	H	-3747.420	-3713.111	-3678.443	-3643.750	-3610.291	-3578.000	-3546.821	-3526.780
	S	0.94922	0.96070	0.96920	0.97590	0.98110	0.98500	0.98790	0.99010
50	V	0.14668	0.15276	0.15803	0.16250	0.16620	0.16920	0.17160	0.17350
	H	-3747.421	-3713.109	-3678.443	-3643.750	-3610.291	-3578.000	-3546.821	-3526.780
	S	0.81247	0.82500	0.83570	0.84480	0.85240	0.85860	0.86360	0.86760
75	V	0.11662	0.12173	0.12607	0.12960	0.13230	0.13430	0.13570	0.13660
	H	-3747.421	-3713.109	-3678.443	-3643.750	-3610.291	-3578.000	-3546.821	-3526.780
	S	0.73660	0.75000	0.76170	0.77180	0.78040	0.78760	0.79360	0.79860
100	V	0.09129	0.09542	0.09910	0.10230	0.10500	0.10730	0.10920	0.11080
	H	-3747.421	-3713.109	-3678.443	-3643.750	-3610.291	-3578.000	-3546.821	-3526.780
	S	0.67977	0.69420	0.70690	0.71800	0.72760	0.73580	0.74280	0.74880
150	V	0.06888	0.07203	0.07480	0.07720	0.07920	0.08080	0.08210	0.08310
	H	-3747.422	-3713.107	-3678.443	-3643.750	-3610.291	-3578.000	-3546.821	-3526.780
	S	0.61507	0.63050	0.64320	0.65340	0.66120	0.66760	0.67280	0.67700
200	V	0.05390	0.05617	0.05760	0.05890	0.06000	0.06090	0.06160	0.06220
	H	-3747.423	-3713.105	-3678.443	-3643.750	-3610.291	-3578.000	-3546.821	-3526.780
	S	0.57400	0.58950	0.60220	0.61240	0.62020	0.62660	0.63180	0.63600
300	V	0.04367	0.04501	0.04590	0.04650	0.04690	0.04720	0.04740	0.04750
	H	-3747.423	-3713.105	-3678.443	-3643.750	-3610.291	-3578.000	-3546.821	-3526.780
	S	0.49775	0.51320	0.52590	0.53510	0.54150	0.54630	0.54980	0.55230
400	V	0.03457	0.03501	0.03520	0.03530	0.03530	0.03530	0.03530	0.03530
	H	-3747.423	-3713.105	-3678.443	-3643.750	-3610.291	-3578.000	-3546.821	-3526.780
	S	0.42526	0.44070	0.45340	0.46260	0.46800	0.47150	0.47400	0.47560
500	V	0.02810	0.02860	0.02880	0.02890	0.02890	0.02890	0.02890	0.02890
	H	-3747.423	-3713.105	-3678.443	-3643.750	-3610.291	-3578.000	-3546.821	-3526.780
	S	0.37113	0.38660	0.39930	0.40850	0.41490	0.41970	0.42320	0.42570
600	V	0.02372	0.02420	0.02440	0.02450	0.02450	0.02450	0.02450	0.02450
	H	-3747.423	-3713.105	-3678.443	-3643.750	-3610.291	-3578.000	-3546.821	-3526.780
	S	0.31878	0.33420	0.34690	0.35610	0.36250	0.36730	0.37080	0.37330
750	V	0.01941	0.01980	0.01990	0.01990	0.01990	0.01990	0.01990	0.01990
	H	-3747.423	-3713.105	-3678.443	-3643.750	-3610.291	-3578.000	-3546.821	-3526.780
	S	0.26588	0.28130	0.29400	0.30320	0.30960	0.31440	0.31790	0.32040

Thermodynamic Properties of Carbon Dioxide (Continued)

P	T	100	120	140	160	180	200	220	240
800	V	0.11783	0.13885	0.16180	0.18655	0.21306	0.24008	0.26732	0.29456
	M	-3773.44	-3768.44	-3758.82	-3753.97	-3747.62	-3741.66	-3736.28	-3731.47
	PPP	0.7453	0.7868	0.8276	0.8678	0.9074	0.9458	0.9828	1.0188
900	V	0.13641	0.15943	0.18434	0.21100	0.23926	0.26800	0.29702	0.32622
	M	-3778.43	-3768.43	-3758.82	-3753.97	-3747.62	-3741.66	-3736.28	-3731.47
	PPP	0.7453	0.7868	0.8276	0.8678	0.9074	0.9458	0.9828	1.0188
1000	V	0.15500	0.18000	0.20694	0.23560	0.26586	0.29762	0.33000	0.36300
	M	-3778.43	-3768.43	-3758.82	-3753.97	-3747.62	-3741.66	-3736.28	-3731.47
	PPP	0.7453	0.7868	0.8276	0.8678	0.9074	0.9458	0.9828	1.0188
1050	V	0.17357	0.20000	0.22834	0.25840	0.29006	0.32332	0.35720	0.39180
	M	-3778.43	-3768.43	-3758.82	-3753.97	-3747.62	-3741.66	-3736.28	-3731.47
	PPP	0.7453	0.7868	0.8276	0.8678	0.9074	0.9458	0.9828	1.0188
1100	V	0.19214	0.22000	0.25000	0.28166	0.31492	0.34980	0.38540	0.42180
	M	-3778.43	-3768.43	-3758.82	-3753.97	-3747.62	-3741.66	-3736.28	-3731.47
	PPP	0.7453	0.7868	0.8276	0.8678	0.9074	0.9458	0.9828	1.0188
1200	V	0.21071	0.24000	0.27166	0.30532	0.34060	0.37750	0.41510	0.45340
	M	-3778.43	-3768.43	-3758.82	-3753.97	-3747.62	-3741.66	-3736.28	-3731.47
	PPP	0.7453	0.7868	0.8276	0.8678	0.9074	0.9458	0.9828	1.0188
1300	V	0.22928	0.26000	0.29334	0.32900	0.36606	0.40442	0.44310	0.48220
	M	-3778.43	-3768.43	-3758.82	-3753.97	-3747.62	-3741.66	-3736.28	-3731.47
	PPP	0.7453	0.7868	0.8276	0.8678	0.9074	0.9458	0.9828	1.0188
1400	V	0.24785	0.28000	0.31534	0.35300	0.39286	0.43402	0.47650	0.51940
	M	-3778.43	-3768.43	-3758.82	-3753.97	-3747.62	-3741.66	-3736.28	-3731.47
	PPP	0.7453	0.7868	0.8276	0.8678	0.9074	0.9458	0.9828	1.0188
1500	V	0.26642	0.30000	0.33734	0.37700	0.41826	0.46102	0.50530	0.55010
	M	-3778.43	-3768.43	-3758.82	-3753.97	-3747.62	-3741.66	-3736.28	-3731.47
	PPP	0.7453	0.7868	0.8276	0.8678	0.9074	0.9458	0.9828	1.0188
1600	V	0.28499	0.32000	0.35934	0.40100	0.44426	0.48902	0.53530	0.58210
	M	-3778.43	-3768.43	-3758.82	-3753.97	-3747.62	-3741.66	-3736.28	-3731.47
	PPP	0.7453	0.7868	0.8276	0.8678	0.9074	0.9458	0.9828	1.0188
1700	V	0.30356	0.34000	0.38034	0.42300	0.46726	0.51302	0.56030	0.60810
	M	-3778.43	-3768.43	-3758.82	-3753.97	-3747.62	-3741.66	-3736.28	-3731.47
	PPP	0.7453	0.7868	0.8276	0.8678	0.9074	0.9458	0.9828	1.0188
1800	V	0.32213	0.36000	0.40166	0.44600	0.49226	0.53952	0.58880	0.63910
	M	-3778.43	-3768.43	-3758.82	-3753.97	-3747.62	-3741.66	-3736.28	-3731.47
	PPP	0.7453	0.7868	0.8276	0.8678	0.9074	0.9458	0.9828	1.0188
1900	V	0.34070	0.38000	0.42334	0.46900	0.51626	0.56502	0.61530	0.66710
	M	-3778.43	-3768.43	-3758.82	-3753.97	-3747.62	-3741.66	-3736.28	-3731.47
	PPP	0.7453	0.7868	0.8276	0.8678	0.9074	0.9458	0.9828	1.0188
2000	V	0.35927	0.40000	0.44434	0.49200	0.54126	0.59202	0.64430	0.69810
	M	-3778.43	-3768.43	-3758.82	-3753.97	-3747.62	-3741.66	-3736.28	-3731.47
	PPP	0.7453	0.7868	0.8276	0.8678	0.9074	0.9458	0.9828	1.0188
2100	V	0.37784	0.42000	0.46566	0.51500	0.56586	0.61822	0.67210	0.72750
	M	-3778.43	-3768.43	-3758.82	-3753.97	-3747.62	-3741.66	-3736.28	-3731.47
	PPP	0.7453	0.7868	0.8276	0.8678	0.9074	0.9458	0.9828	1.0188
2200	V	0.39641	0.44000	0.48634	0.53700	0.58926	0.64302	0.69830	0.75510
	M	-3778.43	-3768.43	-3758.82	-3753.97	-3747.62	-3741.66	-3736.28	-3731.47
	PPP	0.7453	0.7868	0.8276	0.8678	0.9074	0.9458	0.9828	1.0188
2300	V	0.41498	0.46000	0.50734	0.55900	0.61226	0.66702	0.72330	0.78110
	M	-3778.43	-3768.43	-3758.82	-3753.97	-3747.62	-3741.66	-3736.28	-3731.47
	PPP	0.7453	0.7868	0.8276	0.8678	0.9074	0.9458	0.9828	1.0188
2400	V	0.43355	0.48000	0.52834	0.58100	0.63526	0.69102	0.74830	0.80710
	M	-3778.43	-3768.43	-3758.82	-3753.97	-3747.62	-3741.66	-3736.28	-3731.47
	PPP	0.7453	0.7868	0.8276	0.8678	0.9074	0.9458	0.9828	1.0188

Flux Thermodynamic Properties of Carbon Dioxide 161

Thermodynamic Properties of Carbon Dioxide (Continued)

P	T	100	120	140	160	180	200	220	240
5000	V	0.01311	0.01380	0.01457	0.01546	0.01641	0.01747	0.01863	0.01986
	H	-3984.807	-3984.806	-3984.804	-3984.801	-3984.796	-3984.788	-3984.776	-3984.761
	S	0.27334	0.27806	0.28255	0.28683	0.29093	0.29486	0.29863	0.30225
	F/P	0.17673	0.16986	0.16354	0.15766	0.15226	0.14730	0.14276	0.13854
1000	V	0.01679	0.01729	0.01787	0.01854	0.01936	0.02031	0.02138	0.02254
	H	-3984.807	-3984.807	-3984.807	-3984.807	-3984.807	-3984.807	-3984.807	-3984.807
	S	0.27981	0.28336	0.28697	0.29064	0.29438	0.29817	0.30201	0.30589
	F/P	0.20721	0.19941	0.19204	0.18510	0.17859	0.17250	0.16682	0.16154
1500	V	0.02130	0.02189	0.02256	0.02331	0.02421	0.02524	0.02640	0.02767
	H	-3984.807	-3984.807	-3984.807	-3984.807	-3984.807	-3984.807	-3984.807	-3984.807
	S	0.28736	0.29041	0.29352	0.29669	0.29992	0.30321	0.30655	0.30994
	F/P	0.23440	0.22616	0.21840	0.21112	0.20432	0.19799	0.19212	0.18670
2000	V	0.02617	0.02684	0.02759	0.02842	0.02941	0.03054	0.03181	0.03320
	H	-3984.807	-3984.807	-3984.807	-3984.807	-3984.807	-3984.807	-3984.807	-3984.807
	S	0.29599	0.29854	0.30115	0.30382	0.30655	0.30933	0.31216	0.31503
	F/P	0.26055	0.25181	0.24357	0.23583	0.22858	0.22182	0.21554	0.20974

P	T	260	280	300	320	340	360	380	400
1	V	174.79563	180.33434	184.73282	188.25126	190.20630	191.31002	191.72377	191.46004
	H	-3712.805	-3708.110	-3703.500	-3699.168	-3695.111	-3691.320	-3687.788	-3684.406
	S	1.3430	1.3501	1.3554	1.3618	1.3677	1.3733	1.3785	1.3844
	F/P	1.0039	1.0001	1.0027	1.0041	1.0041	1.0024	1.0003	1.0006
10	V	17.51903	18.06887	18.50239	18.86286	19.14707	19.36674	19.53187	19.64208
	H	-3712.773	-3708.233	-3703.889	-3699.736	-3695.766	-3691.970	-3688.340	-3684.877
	S	1.27000	1.27800	1.28520	1.29170	1.29760	1.30300	1.30790	1.31240
	F/P	0.9492	0.9495	0.9490	0.9487	0.9486	0.9484	0.9482	0.9481
10.7	V	18.01314	18.28915	18.54188	18.71764	18.84974	18.94810	19.01336	19.04588
	H	-3712.800	-3708.270	-3703.770	-3699.415	-3695.182	-3691.060	-3687.048	-3683.146
	S	1.27229	1.27966	1.28689	1.29308	1.29823	1.30234	1.30541	1.30753
	F/P	0.9494	0.9485	0.9487	0.9484	0.9482	0.9480	0.9479	0.9478
15	V	11.07935	12.00320	12.37290	12.67151	12.93667	13.18037	13.40058	13.59511
	H	-3712.801	-3708.110	-3703.175	-3698.015	-3692.642	-3687.066	-3681.288	-3675.318
	S	1.27218	1.2777	1.2833	1.2888	1.2943	1.2997	1.3051	1.3104
	F/P	0.9481	0.9492	0.9494	0.9493	0.9491	0.9489	0.9487	0.9485
25	V	6.44574	7.19223	7.76432	8.19816	8.53150	8.79820	9.01734	9.19111
	H	-3712.796	-3708.444	-3703.888	-3699.128	-3694.068	-3688.710	-3683.054	-3677.101
	S	1.11004	1.12083	1.13105	1.14180	1.15207	1.16279	1.17346	1.18408
	F/P	0.9107	0.9070	0.9073	0.9077	0.9077	0.9074	0.9072	0.9070
50	V	3.49920	3.59518	3.67889	3.75220	3.81614	3.87200	3.92067	3.96266
	H	-3713.133	-3708.774	-3704.271	-3699.600	-3694.664	-3689.474	-3684.030	-3678.341
	S	1.10607	1.11724	1.12784	1.13788	1.14736	1.15628	1.16464	1.17244
	F/P	0.90932	0.90939	0.90950	0.90960	0.90968	0.90974	0.90978	0.90981
75	V	2.31623	2.38278	2.44054	2.51566	2.58178	2.64787	2.71407	2.78042
	H	-3713.711	-3709.115	-3704.355	-3699.431	-3694.248	-3688.804	-3683.100	-3677.136
	S	1.10481	1.11547	1.12573	1.13559	1.14497	1.15387	1.16229	1.17023
	F/P	0.90948	0.90957	0.90966	0.90973	0.90978	0.90982	0.90985	0.90988
100	V	1.71308	1.78142	1.83155	1.88175	1.93167	1.98133	2.03131	2.08117
	H	-3714.209	-3709.501	-3704.600	-3699.508	-3694.226	-3688.764	-3683.132	-3677.240
	S	1.10348	1.11408	1.12430	1.13414	1.14352	1.15244	1.16090	1.16889
	F/P	0.90964	0.90974	0.90982	0.90989	0.90993	0.90996	0.90998	0.90999
150	V	1.14802	1.18033	1.21005	1.23792	1.26448	1.28924	1.31276	1.33450
	H	-3714.857	-3709.977	-3704.956	-3699.704	-3694.232	-3688.560	-3682.698	-3676.656
	S	1.10187	1.11251	1.12283	1.13283	1.14241	1.15158	1.16034	1.16869
	F/P	0.90979	0.90988	0.90993	0.90996	0.90998	0.90999	0.90999	0.90999

Thermodynamic Properties of Carbon Dioxide (Continued)

P	T	260	280	300	320	340	360	380	400
200	V	0.09388	0.07944	0.06530	0.05310	0.04560	0.04021	1.00714	0.0202
	H	-3719.82	-3710.98	-3701.74	-3701.91	-3696.74	-3691.98	-3687.11	-3682.28
	S	1.01919	1.1082	1.1184	1.1208	1.1265	1.1322	1.1381	1.1436
320	V	0.26040	0.25787	0.26051	0.01411	0.43151	0.04402	0.04032	0.04556
	H	-3717.18	-3712.41	-3707.91	-3702.40	-3697.96	-3691.10	-3684.22	-3678.31
	S	1.0521	1.0468	1.0464	1.1210	1.1071	1.1120	1.1149	1.1188
400	V	0.41600	0.42864	0.44213	0.45559	0.46915	0.48280	0.49750	0.50844
	H	-3718.77	-3713.94	-3709.00	-3704.10	-3699.19	-3694.26	-3689.31	-3684.34
	S	1.0475	1.0741	1.0875	1.0888	1.0930	1.0958	1.1009	1.1109
500	V	0.32881	0.33824	0.34952	0.36337	0.37170	0.38262	0.39345	0.40420
	H	-3720.38	-3715.39	-3710.40	-3705.44	-3700.43	-3695.42	-3690.41	-3685.38
	S	1.0358	1.0626	1.0691	1.0725	1.0818	1.0878	1.0918	1.0988
600	V	0.26929	0.27812	0.28790	0.29734	0.30676	0.31607	0.32528	0.33442
	H	-3722.01	-3716.71	-3711.82	-3706.75	-3701.67	-3696.50	-3691.31	-3686.12
	S	1.0260	1.0520	1.0598	1.0661	1.0724	1.0786	1.0847	1.0907
700	V	0.22048	0.23144	0.24373	0.25721	0.26960	0.28266	0.29681	0.30987
	H	-3721.67	-3716.45	-3711.26	-3706.08	-3700.91	-3695.77	-3690.62	-3685.47
	S	1.0373	1.0644	1.0737	1.0774	1.0843	1.0906	1.0970	1.1034
800	V	0.19514	0.20701	0.21971	0.23182	0.24266	0.25286	0.26219	0.27077
	H	-3723.36	-3718.01	-3712.70	-3707.42	-3702.14	-3696.86	-3691.57	-3686.28
	S	1.0296	1.0568	1.0648	1.0686	1.0751	1.0816	1.0880	1.0944
900	V	0.17078	0.18400	0.19804	0.21182	0.22458	0.23531	0.24494	0.25349
	H	-3725.08	-3719.59	-3714.14	-3708.74	-3703.34	-3697.94	-3692.54	-3687.14
	S	1.0225	1.0497	1.0577	1.0614	1.0677	1.0739	1.0800	1.0861
1000	V	0.15131	0.16502	0.17954	0.19294	0.20471	0.21434	0.22211	0.22811
	H	-3726.80	-3721.18	-3715.64	-3710.16	-3704.71	-3699.26	-3693.81	-3688.37
	S	1.0160	1.0434	1.0514	1.0551	1.0614	1.0675	1.0736	1.0796
1100	V	0.13540	0.14910	0.16379	0.17637	0.18656	0.19477	0.20177	0.20768
	H	-3728.58	-3722.81	-3717.10	-3711.42	-3705.74	-3700.06	-3694.38	-3688.70
	S	1.0104	1.0377	1.0457	1.0493	1.0556	1.0617	1.0677	1.0737
1200	V	0.12177	0.13612	0.15089	0.16304	0.17266	0.17986	0.18514	0.18964
	H	-3730.32	-3724.41	-3718.61	-3712.81	-3707.01	-3701.21	-3695.41	-3689.61
	S	1.0048	1.0321	1.0401	1.0437	1.0499	1.0560	1.0620	1.0680
1300	V	0.11011	0.12486	0.13971	0.15086	0.15906	0.16486	0.16964	0.17371
	H	-3732.11	-3726.04	-3720.11	-3714.18	-3708.24	-3702.31	-3696.38	-3690.44
	S	0.9992	1.0265	1.0345	1.0381	1.0443	1.0504	1.0564	1.0624
1400	V	0.10144	0.11669	0.13209	0.14170	0.14804	0.15266	0.15677	0.16044
	H	-3733.91	-3727.68	-3721.51	-3715.38	-3709.24	-3703.11	-3696.98	-3690.84
	S	0.9936	1.0209	1.0289	1.0325	1.0387	1.0448	1.0508	1.0568
1500	V	0.09329	0.10904	0.12509	0.13260	0.13762	0.14144	0.14437	0.14677
	H	-3735.72	-3729.31	-3722.91	-3716.51	-3710.11	-3703.71	-3697.31	-3690.91
	S	0.9880	1.0153	1.0233	1.0269	1.0331	1.0392	1.0452	1.0512
1600	V	0.08614	0.09912	0.11389	0.12045	0.12467	0.12780	0.13012	0.13180
	H	-3737.53	-3730.94	-3724.34	-3717.74	-3711.14	-3704.54	-3697.94	-3691.34
	S	0.9824	1.0097	1.0177	1.0213	1.0275	1.0336	1.0396	1.0456

B I B L I O G R A F I A

- the historical origins of the VDW equation
M.J.Klein
Physica 73 (1974) 28-47 (1)
- Improvement of the VDW equation of state
G.Soave
Chemical Eng. Science Vol.39 No.2 1984 (2)
- A modified VDW type equation of state
G. Schmidt & H. Wenzel
Chemical Engineering Science Vol. 35 (1503-1512) (3)
- Improvement of the VDW equation of state
G. Soave
Chemical Engineering Science Vol. 3 No. 2 (1984) (4)
- Equation of state from VDW theory : The legacy of Otto Redlich
J. M. Prausnitz
Fluid phase equilibria , 24 (1985) 63-76 (5)
- A comparison of Equations of State
K. K. Shah & G. Thodos
Ind. and Engineering Chemistry
Vol. 27 No. 3 Mar. 1965 (6)
- Cubic Equations of State (7)
J. J. Martin
Ind. and Engineering Chemistry
Vol. 59 No. 12 Dic. 1967
- Equation of State for non-attracting rigid spheres
Carnahan N. F. & K.E. Starling
Journl Chem. Phys. 51 (1969) 635 (11)
- Optimal temperature - dependent "a" and "b" parameters
for the Redlich - Kwong equation of State. (10)
R. W. Morris & E. A. Turek
ACS National Meeting , Miami (1985)
- A new cubic equation of State for fluids and fluids mixtures
Patel N. C. & Teja A. S. (8)
Chem. Eng. Sci. No. 37 , 463 (1982)
- Equilibrium constants from a modified Redlich-Kwong
Equation of State (10)
G. Soave
Chem. Eng. Science No. 27 , 1197 (1972)
- A new two constant equation of State
Peng D. Y. & Robinson D. B. (12)
Ind. Eng. Chem. fundamentals No. 15 (1) (1976)

- Rigorous and simplified procedures for determining the pure component parameters in Redlich-Kwong-Saave EOS.
G. Soave (13)
Chem. Eng. Science No. 35 , 1725 (1980)
- Simplest Equation of State for Vapor-Liquid equilibrium calculation a modification of the VDW equation.
Yoshinori Adachi & C. Lu (14)
AIChE Journal Vol. 30 No. 6 (1984)
- Correlation and prediction of VLE and LLE by empirical EOS
Grazyna Kolasinska (16)
Fluid Phase Equilibria , No.27 289-308 (1986)
- Evaluation of Cubic Equation of State
Yoshinori Adachi & Hidezumi Sugie (15)
Journal of Chemical Eng. of Japan Vol.17 No.6 (1984)
- Phase Equilibria in Chemical Engineering
Stanley M. Walas (16)
Butterworth publishers (1985)
- The representation fo highly Non-ideal phase using computer graphics (17)
G.N. Charos , P. Clancy , E. Gubbins
Chemical Engineering Education Spring 1986
- The use of computer graphics to teach thermodynamic phase diagrams (17)
Chandrashekhar , D. Naik, P. Clancy
Chemical Engineering Education Spring 1985
- Recherches experimentales sur quelques proprietes thermiques des gaz (18)
Cardoso A. Bruno
J. Chim. Phys No. 20 (347-351) (1973)
- On The flexibility and limitations of Cubic EOS
Vera J. H. , Huron M. J. & Vidal J. (19)
Chemical Engineering Communication Vol. 26 , 311 (1984)
- An improved Peng-Robinson EOS for pure compounds and mixtures (13)
R. Stryjek & J.H. Vera
Canadian Journal of Chemical Eng. Vol 64 (1986)
- The development of the Peng-Robinson Equation and its application to phase equilibrium in a system containing methanol (12)
D. Robinson , D. Y. Peng & S. Y. Chung
Fluid Phase Equilibria No. 24 (25-41) (1985)

- Evaluacion de las diversas modificaciones a la ecuacion de Redlich - Kwong
F. Barnes y J. Flores (11)
XVI convencion nacional IMIQ (1976) Nov-Dic
- Prediccion de las propiedades termodinamicas de gases ideales
F. Barnes y J. Flores (2)
Rev. IMIQ (Energeticos) Junio 1976
- From Redlich-Kwong to the present
C. Tsanopoulos & J. I. Heidman (15)
Fluid Phase Equilibria No. 24 , 1-23 (1985)
- Computer Aider thermodynamic of gases and theorica of models and programs (18)
Benedik P. & Qiti F.
Ed. Walley (1985)
- ENGINEERING THERMODYAMICS (5)
R. E. Balzhiser & R. Samuels
Prentice - Hall (cap. III) (1983)
- INGENIERIA TERMODINAMICA (5)
W. Reynolds & H. Perkins
Mc. Graw Hill (cap. IV) (1979)
- FUNDAMENTALS OF STATISTICAL THERMODYNAMICS (19)
Schnntag van Wyien
Ed. Wiley
- PROBABILITY AND STATISTICS FOR ENGINEERS (19)
I. Miller & J. Freund
Ed. Prentice Hall
- INTRODUCCION A LA PROBABILIDAD Y A LA ESTADISTICA (20)
Mendenhall f.
Ed. Wadsworth International Iberoamericana
- PROBABILIDAD Y ESTADISTICA (Aplicaciones y metodos) (19)
G. C . Canavos
Ed. Mc Graw Hill
- DIFFERENTIAL GEOMETRY (21)
Guggenheimer H. W.
Ed. Mc. Graw Hill
- SURVEYING PROBLEMS AND SOLUTIONS (22)
D. R. Foote & J. Kelly
Ed.. Mc Graw Hill (cap XI)